

انجمن بتن ایران

ISSN 1735 - 1987

نشریه داخلی انجمن بتن ایران، سال بیست و سوم، شماره ۸۶، تابستان ۱۴۰۱



تازه‌ها

۲	پیام هیات مدیره
۳	خبر انجمن
۶	بانیان خانه انجمن

صاحب امتیاز:
انجمن بتن ایران

مدیر مسؤول:
محمد شکرچیزاده

مسوول کمیته انتشارات:
هرمز فامیلی - محسن تدین

زیر نظر هیات مدیره:
چینی مهدی، رحمتی علیرضا، رئیس فاسمی
امیرمازیار، شکرچیزاده محمد، کلهری موسی،
فامیلی هرمز، یحیوی ارزنق مهران.

همکاران این نشریه:

احمدی بابک، اسماعیلی مرتضی، اصفهانی میلان
حسین، بابک فروتن مهر، باقری علیرضا، ثابتی مطلق
امیرهایون، چینی مهدی، فرخی محسن، فاسمی
دانیال، کفash بازاری علی اکبر، محسن تدین،
محمدی محمدجواد، وثوقی ابوالفضل.

معرفی اعضاء

اعضای حقیقی

اعضای حقوقی

فرم عضویت انجمن علمی بتن

فرم عضویت انجمن بتن ایران

ملاحظات

۱. آرای نویسنده‌گان الزاماً دیدگاه انجمن بتن نیست.
۲. مسئولیت متن آگهی‌ها به عهده ارائه دهنگان آگهی‌ها است.
۳. نشریه در حک و اصلاح و ویرایش مطالب رسیده آزاد است. مقالات و ترجمه‌های خود را خواناً و حتی الامکان حروفچینی شده ارسال نمایید.
۴. مقالات ارسال شده بازگردانده نمی‌شود.
۵. نقل مطلب با ذکر مأخذ آزاد است.
۶. فصلنامه انجمن بتن ایران، نشریه داخلی این انجمن بوده و غیر قابل فروش است.

مدیر امور اداری:
عزیز الله بربیجانی

خدمات گرافیکی و امور اجرایی:
همراهان جاده‌های سبز
تلفکس: ۶۶۹۰۹۱۴۱-۲

نشانی دفتر نشریه:
تهران-میدان صنعت (شهرک غرب)-بلوار فرج‌زاده،
نرسیده به ورودی بزرگراه نایاش- خیابان عباسی
اناری، پلاک ۸۱ کد پستی: ۱۹۹۸۹۵۸۸۸۳
تلفکس: ۸۸۵۶۰۶۲۸-۸۸۵۶۰۵۸۸

نشانی اینترنتی انجمن:

www.ici.ir

به نام خداوند هستی بخش

اعضاء گرامی انجمن

ستاد برگزاری همایش بتن در طول ماههای گذشته جلسات متعددی را به صورت حضوری و یا غیرحضوری برگزار کرد و برنامه ریزی بر اساس برگزاری با شکوه همایش بتن، با حضور حداکثری همه ارکان صنعت بتن شامل صنعت سیمان، صنعت تولیدکنندگان سنگدانه، صنعت افزودنی‌ها، صنعت بتن آماده و تجهیزات بتن می‌باشد. همچنین با هماهنگی‌های بعمل آمده سازمان نظام مهندسی ساختمان کشور نیز حضور موثری در همایش خواهد داشت.

در واقع باید بپذیریم برای ارتقاء کیفیت بتن مورد مصرف در پروژه‌ها باید مسائل و معضلات همه ارکان تشکیل دهنده بتن مورد توجه قرار گیرد و از جایگاه مرجعیت انجمن بتن برای پرداختن به موضوعات آن ارکان استفاده نمائیم. امید داریم این توجه ویژه در همایش سال جاری برای ارتقاء کیفی بتن مصرفی در سطح کشور مفید و موثر باشد. جلسات متعدد طرحهای برتر بتنی سال ۱۴۰۱ در طول تابستان برگزار شد. داوران کمیته چهار طرح را انتخاب نموده اند که در همایش بتن معرفی خواهند شد. همچنین کمیته انتخاب چهره ماندگار انجمن با کمال افتخار دانشمند فرهیخته "جناب آقای دکتر هرمز فامیلی" را به پاس چند دهه اقدامات اثربار برای اعلای صنعت و دانش بتن در کشور، ایشان را به عنوان چهره ماندگار سال ۱۴۰۱ بتن کشور انتخاب نمود. عزتشان مستدام.

هیات مدیره انجمن بتن ایران

مهم ترین تصویبات اخیر هیات مدیره

تعداد پذیرفته شده در سه ماهه دوم سال ۱۴۰۱: ۱۱۰۱
تعداد اعضای حقیقی جدید: ۳۴؛ تعداد کل: ۵۶۶۳
تعداد اعضای حقوقی جدید: ۱۵؛ تعداد کل: ۱۶۲۵
تعداد اعضای دانشجویی جدید: ۰؛ تعداد کل: ۵۱۳۹
تعداد کارداران جدید: ۰؛ تعداد کل: ۱۰۴
تعداد کل اعضا انجمن بن: ۱۲۵۳۱

هیات مدیره انجمن بتن ایران در فصل تابستان، در تاریخ ۱۴۰۱/۰۵/۰۴ یک جلسه رسمی برگزار نمود. در این جلسات ضمن سازمان دهی امور انجمن، تصویبات و تصمیمات مقتضی در راستای اهداف انجمن اتخاذ شد که به شرح ذیل می‌باشد.

- (۱) اتخاذ تصمیم و تصویب موارد جاری انجمن
 - (۲) پذیرش اعضاء: در طی این مدت به پیشنهاد کمیته پذیرش و تصویب هیات مدیره تعدادی به عضویت انجمن درآمده‌اند.
- آخرین آمار اعضاء به شرح ذیل است:

تبیریک

مدیرعامل محترم شرکت شیمی ساختمان

جناب آقای مهندس مسعود هنرمند

بدینوسیله از تلاشها و مساعی ارزشمند آن شرکت محترم در ارتقاء کیفیت محصولات تولیدی و کسب عنوان (واحد نمونه کشوری) و دریافت لوح تقدیر از معاون اول ریاست جمهوری قدردانی می‌نماییم. بدیهی است این موفقیت برای صنعت بتن و مواد شیمیایی ساختمان موجب افتخار است و در انجمن بتن ایران به جنابعالی، مدیران و کارشناسان و کارکنان آن شرکت محترم این موفقیت را تبریک عرض می‌نماییم و سربلندی و توفیقات روز افزون را برای شما آرزومندیم.

انجمن بتن ایران

تسليت

جناب آقایان محمود و امیرعباس نظری

همکاران محترم واحد مالی انجمن بتن ایران

با نهایت تاسف و تاثر درگذشت پدر گرامیتان را به جنابعالی و خانواده محترم صمیمانه تسليت عرض نموده و برای بازماندگان شکیبایی و سعادت و برای آن عزیز سفر کرده علو درجات از درگاه یزدان پاک طلب می‌نماییم
انجمن بتن ایران

تسليت

سازمان نظام مهندسی ساختمان استان خراسان رضوی

بانهایت تاسف و تاثر درگذشت ناگهانی مهندس محمدحسین شرکارا به خانواده محترم ایشان، اعضای نظام مهندسی ساختمان استان، کانون کارشناسان دادگستری خراسان و جامعه مهندسی کشور صمیمانه تسليت عرض نموده و برای بازماندگان شکیبایی و سعادت و برای آن عزیز سفر کرده علو درجات از درگاه یزدان پاک طلب می‌نماییم
انجمن بتن ایران

تسليت

جناب آقای مهندس عباس وفایی

مدیرعامل محترم شرکت کیهان ایندیه، عضو حقوقی انجمن بتن ایران
بانهایت تاسف و تاثر درگذشت پدر گرامیتان را به جنابعالی و خانواده محترم صمیمانه تسليت عرض نموده و برای بازماندگان شکیبایی و سعادت و برای آن عزیز سفر کرده علو درجات از درگاه یزدان پاک طلب می‌نماییم
انجمن بتن ایران

صورتجلسه مجمع عمومی عادی سالیانه نوبت دوم انجمن بنن ایران
ثبت شده به شماره ۱۲۷۲۳ (مورخ ۵/۰۵/۱۴۰۱)

نام تشکل: انجمن بنن ایران (انجمن صنفی فن آوران بنن ایران)
تاریخ برگزاری مجمع: ۱۴۰۱/۰۵/۰۵ محل برگزاری مجمع : سالن اجتماعات مرکز تحقیقات راه، مسکن و شهرسازی
نوع مجمع : عادی نوبت برگزاری: دوم
تاریخ انتشار اگهی / دعوتنامه: نوبت اول ۱۴۰۱/۰۳/۳۱ نوبت دوم : ۱۴۰۱/۰۴/۱۶
نام روز نامه: اطلاعات ساعت: ۱۰ صبح
تعداد افراد حاضر صاحب رای: ۱۷

تعداد آراء مأخوذه: ۱۷

تعداد آراء مأخوذه: ۱۷

- انتخاب اعضای هیات رئیسه به شرح زیر اقدام شد.
۱. دکتر هرمز فامبلی به عنوان رئیس
 ۲. دکتر مهدی چینی به عنوان ناظر
 ۳. مهندس مهران یحیوی ارزنق به عنوان ناظر
 ۴. مهندس سیدآصف سیدین عنوان منشی

آنگاه بر طبق دستور جلسه موارد زیر مورد تصویب و بررسی قرار گرفت

- | | | |
|------------------------------------|---------------------------|---------------------|
| +
ارائه گزارش عملکرد هیات مدیره | +
ارائه گزارش بازرگاری | +
انتخاب بازرگار |
|------------------------------------|---------------------------|---------------------|
- ارائه گزارش عملکرد هیات مدیره
 - ارائه گزارش بازرگاری
 - انتخاب بازرگار

شماره	مصوبات مجمع عمومی
۱	تصویب گزارش هیات مدیره
۲	تصویب گزارش مالی
۳	تصویب گزارش هیات بازرگار
۴	روزنامه اطلاعات بعنوان روزنامه کثیر انتشار برای درج خبرهای انجمن تصویب شد.
۵	تصویب تغییر آدرس به ساختمان جدید انجمن میزان حق عضویت اعضاء به شرح زیر به تصویب رسید
۶	الف - داشجویان: ۳۰۰,۰۰۰ ریال ب - اعضای حقیقی و کاردار: ۱,۰۰۰,۰۰۰ ریال ج - اعضای حقوقی: مهندسین مشاور و مراکز آموزشی: ۶۰۰,۰۰۰ ریال د - اعضای حقوقی پیمانکاران: ۷۰۰,۰۰۰ ریال

پس از معرفی نامزدهای عضویت در هیات بازرگاری انجمن و اخذ و قرائت آرا نتایج به شرح زیر اعلام شد.

ردیف	نام و نام خانوادگی	سمت در تشکل
۱	دکتر محسن تدين	بازرگار اصلی
۲	مهندس جاوید خطیبی	بازرگار اصلی
۳	مهندس مهرداد اشتربی	بازرگار اصلی
۴	مهندس ناصر سلمان موحدی	بازرگار علی البند
۵	مهندس محمد صادق چیت فروش زاده	بازرگار علی البند

در پایان انتخاب شدگان با اعضای این برگ قبول مسئولیت نمودند و مجمع به آقای امیرعباس نظری وکالت تام با حق توکيل به غير داد تا کلیه امور ثبتی انجمن را در اداره ثبت شرکتها و موسسات غیرتجاری انجام داده و دفاتر مربوطه را امضا کند.

صورتجلسه مجمع عمومی عادی سالیانه نوبت دوم انجمن علمی بتن ایران ثبت شده به شماره

۳۰۹۲۷

(مورخ ۱۴۰۰/۰۴/۲۹)

بر اساس دعوتنامه قبلی / اگهی روزنامه مورخ ۱۴۰۱/۰۴/۱۶ جلسه مجمع عمومی عادی نوبت دوم انجمن علمی بتن ایران در ساعت ۱۱/۳۰ روز چهارشنبه مورخ ۱۴۰۱/۰۵/۰۵ در محل سالن اجتماعات مرکز تحقیقات راه، مسکن و شهرسازی تشكیل شد. در این جلسه پس از قرائت آیاتی از قرآن مجید در مورد انتخاب اعضای هیات رئیسه جلسه به شرح زیر اقدام شد.

انتخاب اعضای هیات رئیسه جلسه به شرح زیر اقدام شد.

- | | | | |
|------------------------------------|---------------------------------------|--|---|
| ۱. دکتر محسن تدین
به عنوان رئیس | ۲. مهندس جاوید خطیبی
به عنوان ناظر | ۳. مهندس ناصر سلمان موحدی
به عنوان ناظر | ۴. مهندس مهران یحیوی ارزنق
به عنوان منشی |
|------------------------------------|---------------------------------------|--|---|

آنگاه بر طبق دستور جلسه موارد زیر مورد تصویب و بررسی قرار گرفت

- | | | |
|--------------------------------|---------------------------------|------------------------|
| + ارائه گزارش مالی (تراز مالی) | + ارائه گزارش عملکرد هیات مدیره | + ارائه گزارش بازرگاری |
|--------------------------------|---------------------------------|------------------------|

شماره	تصویبات مجمع عمومی
۱	تصویب گزارش هیات مدیره
۲	تصویب گزارش مالی
۳	تصویب گزارش هیات بازرگاری
۴	روزنامه اطلاعات بعنوان روزنامه کثیرالانتشار برای درج خبرهای انجمن تصویب شد.
۵	تصویب تغییر آدرس به ساختمان جدید انجمن
۶	میزان حق عضویت اعضاء به شرح زیر به تصویب رسید الف - دانشجویان: ۵۰۰,۰۰۰ ریال ب - اعضا پیوسته و وابسته: ۱,۰۰۰,۰۰۰ ریال ج - اعضا حقوقی: ۵,۰۰۰,۰۰۰

در پایان انتخاب شدگان با امضای این برگ قبول مسئولیت نمودند و مجمع به آقای امیر عباس نظری وکالت تام با حق توكیل به غیر داد تا کلیه امور ثبتی انجمن را در اداره ثبت شرکتها و موسسات غیرتجاری انجام داده و دفاتر مربوطه را امضا کند.

انجمن بتن ایران مراتب سپاس خود را از بایان انجمن بتن ایران اعلام می‌دارد

بتن

Leca®
لیکا

تیم بورسی کننده تفسیر بخش اول آینه نامه بتن ایران:
اسماعیل اسماعیل پور، محسن تدین، حمیدرضا خاشعی، علیرضا خالو، علی اکبر رضانیاپور، شاپور طاحونی،
هرمز فامیلی، مهدی قالیبافیان، محمود نیلی، سید اکبر هاشمی



فیروز هادوی

سعید امدادی



BASF
The Chemical Company



انجمن بتن ایران مراتب سپاس خود را از بانیان انجمان بتن ایران اعلام می‌دارد

نفره



نیسانه



توسعه سیلوها



کیسون



پرلیت



البرز شیمی آسیا

مجتمع عمرانی ایرانی

علی امین پور



جهاد نصر حمزه

شرکت ساختمانی
لوزان



آ.اس.ب



پوزolan



ستاره سیرمان آسیا



طرح و ساخت رابین

برنز



شرکت ساختمانی تابلیه



سازه هلی بلندپایه



تفویض صنعتی آرمات



عمران پارس



میکیک سازمان ایران



قائم بتن و رامین



گچ امید سمنان



گچ مازندران



پری پارس Ltd.



شرکت آهاب

تقدیر

ویسا(سهامی خاص) مهدی افشار حسین رحیمی محمد رضا جواهری محمد عالی

ایمان ازیاران

پرسش و پاسخ

همایش کارخانه سیمان غرب- بتن ریزی در هوای گرم و مشکلات بتن آماده در کرمانشاه بخش اول مورخ ۱۴۰۱/۰۴/۰۸

س-۱- چرا در استان کرمانشاه معادن شن و ماسه طبقه بندی نشده اند و این برای کارخانه های بتن آماده مشکل ایجاد کرده است؟

ج-۱- اگر مقصود استاندارد بودن است که سازمان استاندارد موظف به دادن پروانه مواد استاندارد است و بسته به تقاضای معدن، پروانه استاندارد ماسه ملات یا شن و ماسه بتن یا مصالح راهسازی را صادر می کند. به حال کارخانه بتن آماده موظف است از معدن دارای پروانه استاندارد، شن و ماسه منطبق با استاندارد را خریداری کند و در بتن آماده استاندارد مصرف نماید. سازمان استاندارد نیز باید کنترل کند تا کارخانه بتن آماده از چنین مصالحی استفاده نماید. تذکر انجمن بتن به سازمان استاندارد آنست که از کارخانه بتن آماده درخواست ارائه فاکتور خرید شن و ماسه معادل تولید بتن آماده را مطرح کند و کارخانه صرفاً با خرید چند کامیون شن و ماسه استاندارد، خرید اصلی را از معدن غیراستاندارد انجام ندهد. به هر حال در سایر استانها نیز معادن شن و ماسه دارای طبقه بندی نیستند ولی پروانه استاندارد دارند.

س-۲- در استان کرمانشاه، مهندسین مایلند از بتن آماده ای استفاده نمایند که مقاومت ۷ روزه آن مساوی یا بیش از مقاومت مشخصه ۲۸ روزه فشاری آن باشد. این یک مشکل بزرگ را ایجاد کرده است چه باید کرد؟

ج-۲- با هماهنگی با سازمان نظام مهندسی استان باید مهندسین را با این مسئله آشنا نمود و بهر حال مبحث نهم مقررات ملی بصورت واضح دستیابی به مقاومت مشخصه را در سن ۲۸ روز مطرح کرده است و نیازی به این سخت گیری وجود ندارد. شاید مهندسین برای راحتی خیال خود و ادامه کار ساختمان مایل به این هستند که توصیه می شود از این امر دست بردارند و کار را در سطح شهر کرمانشاه مشکل نکنند. رقابت کارخانجات بتن آماده و در نهایت رقابت کارخانه های سیمان استان در تولید بتن آماده ای که مقاومت ۲۸ روزه را در سن ۷ روزه برآورده کند و هم چنین بالاتر بردن مقاومت سیمانهای تولیدی، عاقبت خوبی را ندارد. لازم به ذکر است طبق استاندارد ۶۰۴۴ نیز دستیابی به مقاومت ۲۸ روزه مطرح می باشد.

بنظر می رسد اگر چنین توانایی هایی وجود دارد، رده های مقاومتی را در پروژه های مختلف استان بالاتر برسد و کیفیت بتن را بهبود بخشد و ابعاد قطعات بتنی و مصرف میگرد را در بسیاری از اعضای ساختمنی کاهش دهد که امری مطلوب است و مسابقه در آن فعلای می تواند مفید باشد.

س۳- شن و ماسه های خوبی در استان کرمانشاه وجود ندارد و مشکل بزرگی برای تولید بتن آماده مناسب و پمپی ایجاد کرده است چه باید کرد؟

ج۳- این امر یک مشکل بزرگ در ایران و در تمام دنیاست، برداشت از مصالح رودخانه ای عملاً در بخش اعظم ایران و جهان ممنوع شده است و به مرور بر این ممتوعيت افزوده می شود. بدین ترتیب همه مجبور به استفاده از مخلوط های کوهی و یا کندن و انفجار کوهها شده اند و بدین ترتیب سنگدانه های صدرصد شکسته در دسترس قرار گرفته اند. از اواخر قرن گذشته میلادی با بروز این مشکل در امریکا، پژوهش های وسیعی در برخی دانشگاهها به سفارش انجمن های سنگدانه و بتن آماده شکل گرفته است. موسسه بین المللی پژوهش های سنگدانه (International Center of Aggregate Research) ICAR از این تحقیقات در دانشگاه آستین تکراس با هدایت پروفسور Fowler و دیگران بهره مند شده است و چندین گزارش را در این زمینه بویژه ذرات ریزتر از الک شماره ۲۰۰ در مورد ماسه های شکسته منتشر کرده است. این گزارشها بیش از ۱۰ مورد می باشد. اعتقاد بر این استوار شده است که ذرات ریز موجود در این سنگدانه ها میتواند کمک موثری برای بهبود کارایی بویژه پمپ پذیری بتن ها باشد و حذف آنها ابدأ توصیه نمی شود. این پژوهش ها موجب شد که ASTMC33 در سال ۲۰۱۱ این ذرات گذشته از الک ۷۵ میکرون را به عنوان مواد زیان آور مطرح نکند و راه را برای افزایش آنها در ماسه های شکسته کوهی بازتر نماید.

در این رابطه چند توصیه بویژه را برای استان کرمانشاه و بسیاری از استانهای مشابه داده می شود.

اول اینکه درصد ذرات گذشته از الک ۲۰۰ را در ماسه های شکسته کوهی به نزدیک ۷ درصد برسانید هرچند ICAR معتقد است که می توان این را به حدود ۱۸ تا ۲۰ درصد هم رسانید.

شیوه ماسه های شکسته کوهی کاری غلط و پرهیز نماید.

در صورتی که پودرسنگ موجود خیلی زیاد است همچون کارخانجات آسفالت، به کمک مکش، پودر اضافی را حذف کنید. امروزه کمبود آب یک عامل جدی محسوب می شود و با استفاده از آب برای شستن سنگدانه های کوهی به این امر دامن نزید. استفاده از دستگاههای فیلرگیر به این منظور توصیه می شود.

دوم اینکه برای بهبود عمل پمپ کردن طبق توصیه ACI304.2R درصد گذشته از الک شماره ۳۰۰ (۵۰ میکرون) در ماسه ها را در محدوده ۱۵-۳۰ درصد قرار دهید (برای ماسه شکسته بهتر است این مقدار بیش از ۲۰ درصد باشد) هم چنین درصد گذشته از الک شماره ۱۰۰ (۱۵۰ میکرون) را در محدوده ۱۰-۱۵ درصد قرار دهید و (توصیه می شود برای ماسه شکسته این مقدار بیش از ۷ درصد باشد). حذف این ذرات ابدأ به صلاح نیست و عمل پمپ کردن بتن را با مشکل مواجه می سازد.

سوم اینکه از یک روان کننده لیگنو سولفوناتی برای بهبود عمل پمپ کردن استفاده نماید. حتی زمانی که نسبت آب به سیمان کمتر از ۴۵٪ می باشد و نیاز به فوق روان کننده وجود دارد نیز برای بهتر پمپ شدن بتن از روان کننده معمولی لیگنو سولفوناتی استفاده نماید. لازم به ذکر است که فوق روان کننده پلی کربوکسیلاتی که امروزه مصرف آن بسیار شایع است و قدرت زیادی در روان کردن بتن دارد چنان کمکی به بهبود پمپ کردن نمی کند و بتن را کمی خشن می نماید و افزایش مصرف آن نیز ممکن است به جداسدگی و آب انداختن بتن منجر شود و اثر ناجوری بر پمپ کردن بتن بگذارد.

چهارم اینکه در صورتی که ماسه بتن فاقد ذرات ریز کافی باشد از یک ماسه بادی یا فیلرهای حذف شده از سنگدانه ها استفاده کنید. مسلماً در بتن های خودتراکم به این ذرات نیاز بیشتری وجود دارد اما در بتن های عادی نیز برای بهبود پمپ کردن، از این ذرات بهره ببرید.

پنجم اینکه توجه نمایید در صورت وجود پودر سنگ در ماسه شکسته، روانی بتن کمتر می‌شود اما در پمپ کردن بهبود حاصل می‌گردد. برای مثال ممکن است اسلامپ بتن کم گردد اما مشکل خاصی برای پمپ شدن وجود نخواهد داشت!

ششم اینکه بهتر است ذرات ۴/۷۵ میلی متر برای بهتر پمپ شدن بتن تا حد اینکه منحنی دانه بنده بصورت تقریباً گسسته درآید کاهش یابد به حدی که امکان جداشدن بوجود نیاید.

س-۴- در صورتی که نتیجه مقاومت فشاری ۲۸ روزه بتن آماده حاکی از برآورده شدن مقاومت مشخصه باشد آیا برای دادن پروانه استاندارد کافی است؟

ج- بدیهی است یکی از شروط برخورداری از پروانه استاندارد، انطباق بر رده مورد نظر در طی مدت طولانی در طول سال است اما این شرط لازم است و کافی نمی‌باشد. استفاده از مصالح مصرفی استاندارد در طول ساخت بتن، داشتن شناسنامه و برگ اطلاعات لازم، داشتن روانی منطبق بر سفارش، داشتن دمایی که خارج از محدوده حداقل و حداکثر مجاز نباشد و برخورداری از امکانات آزمایشگاهی و مستندات لازم از جمله مواردی که باید طبق استاندارد ۶۰۴۴ برآورده شود.

بنابراین سازمان استاندارد برای دادن پروانه استاندارد سالانه، مسئولیتی سنگین و همراه با نظارت مداوم را دارد که در استاندارد ۶۰۴۴ بعده این سازمان گذاشته شده است.

یکی از مواردی که غالباً "رعایت نمی‌شود تخطی از دمای حداکثر در روزهای گرم سال است اینجانب ادعای سازمان استاندارد تهران و سایر شهرها را برای کنترل دمای بتن ابدأ قبول ندارم زیرا به وفور این تخطی مشاهده می‌شود و اغلب کارخانه‌های بتن آماده نیز امکانات لازم برای تامین و رعایت این مورد را در اختیار ندارند و بدیهی است از دمای حداکثر در اکثر ساعات روز و حتی شب عبور می‌کنند.

س-۵- دمای زیاد بتن در هنگام ریختن بتن در قطعه یا قالب چه مشکل یا مشکلاتی را بوجود می‌آورد و علت این محدودیت دما چیست؟

ج- لازم به ذکر است که در اروپا محدودیت حداکثر دمای بتن ۳۰ درجه سلسیوس و در امریکا ۳۲ درجه سلسیوس می‌باشد بنابراین یک توافق کامل در این زمینه وجود ندارد. جالب است بدانیم که در آلمان قبل از اینکه آئین نامه‌های اروپایی بوجود آید این محدودیت ۲۸ درجه سلسیوس بوده است.

مطالعاتی که از دهه ۵۰ میلادی در اروپا و امریکا شکل گرفت نشان داد که هر چه دمای بتن در هنگام ریختن آن در قالب بیشتر شود با وجود افزایش شدید مقاومت آن در کوتاه مدت (۱ تا ۷ روز)، مقاومت میان مدت و درازمدت آن (۹۱ تا ۲۸ روز) با رشد مناسبی همراه نخواهد بود. پژوهش‌های مختلف در این زمینه باعث شد تا در دهه‌های بعدی محدودیت‌هایی در آئین نامه‌های اروپایی و امریکا وضع شود.

مشکلات دمای زیاد فقط به مسائل مقاومتی محدود نمی‌شود. مشکلاتی در ارتباط با تغییر شدید کارایی بتن تازه، کاهش زمان گیرش، سختی بیشتر برای پمپ کردن علاقه بیشتر برای افزایش آب به بتنی که دچار کاهش اسلامپ شده است و ایجاد درز سرد در هنگام بتن ریزی از جمله آنها در بتن تازه می‌باشد. در بتن سخت شده نیز عوارضی دیده شد که می‌توان به نمای ضعیف تر، نفوذ پذیری بیشتر در برابر آب و یون کلرید و سایر مواد زیان آور، کاهش چسبندگی بتن به میلگردها، کاهش دوام بتن در برابر چرخه‌های یخ زدن و آبشدن، کاهش دوام در برابر حمله سولفاتها، افزایش شدت خوردگی و کاهش مقاومت الکتریکی درازمدت بتن، کاهش زمان شروع

خوردگی میلگردها و کاهش یون کلرید متناظر با آستانه خوردگی میلگردها علاوه بر کاهش سقف مقاومتی بتن و کاهش رشد مقاومتی میان مدت و دراز مدت بتن اشاره نمود. دانشمندان دلیل بروز چنین مشکلاتی را در ایجاد ساختار اولیه ضعیف و متخلخل خمیر سیمان و تدوام آن در پیشرفت هیدراته شدن سیمان یافتهند و مشاهدات میکروسکوپی در کنار نتایج آزمایش‌های ماکروسکوپی تائید این یافته‌ها به حساب می‌آید. اگر این دمای اولیه بتن همراه با دمای عمل آوری زیاد اولیه نیز باشد مشکلات بیشتری را برای بتن سخت شده به همراه خواهد داشت. کارخانه‌های بتن آماده باید بدانند که وقتی دمای بتن زیاد باشد و دمای هوا نیز بطور معمول گرم باشد، افت اسلامپ بتن آنها به شدت افزایش می‌یابد و کاربتن ریزی را دشوار می‌کند و افزودن آب نیز به کاهش کیفیت بتن کمک می‌نماید.

س-۶- دمای بتن در هنگام ساخت باید چقدر باشد تا دمای بتن در پای کار از ۳۲ درجه تجاوز نکند؟ آیا رابطه خاصی برای آن وجود دارد؟

ج-۶- مسلمًا دمای بتن تولیدی در کارخانه بتن آماده در روزهای گرم سال باید چند درجه کمتر از ۳۲ درجه سلسیوس باشد، زیرا در طی مدت حمل، تابش آفتاب و گرمای هوای مجاور دیگ تراک میکسر یکی از عوامل این افزایش دما محسوب می‌شود. هیدراته شدن سیمان در دقایق ابتدایی تماس سیمان با آب و هم چنین اصطکاک بتن با بدنه و پره‌های دیگ تراک میکسر نیز از جمله دلایل افزایش دمای بتن تازه در طول حمل تا پای کار به حساب می‌آید. حتی باید گفت که عمل پمپ شدن نیز باعث افزایش دما بويژه در حدفاصل بتن و جداره لوله پمپ می‌شود و با افزایش طول پمپاژ ممکن است این افزایش دما به سفتی بیشتر بتن و افزایش اصطکاک و چسبندگی آن منجر گردد و بطور فزاینده باعث افزایش دما و افزایش مشکل پمپاژ شود.

در دنیا هنوز یک رابطه مشخص برای پیش‌بینی فاصله دمای بتن تازه ساخته شده و بتن پای کار ارائه نشده است (برخلاف بتن ریزی در هوای سرد) فاصله زمانی حمل، تابش آفتاب، دمای محیط مجاور، نوع و عیار سیمان از جمله عوامل دخیل هستند و امید است با همکاری یک کارخانه بتن آماده بتوانیم رابطه ساده‌ای را برای آن ارائه دهیم. تا برقراری یک رابطه برای تخمین افزایش دما در طول حمل و کاستن آن از ۳۲ درجه و بدست آوردن حداکثر دما در هنگام ساخت بتن، توصیه می‌شود بین ۲۴ درجه سلسیوس از دمای حداکثر مجاز کاسته شود و دمای حداکثر ساخت بتن بدست آید. بدیهی است مهمترین عامل در این مورد فاصله حمل بتن است. لازم به ذکر است که تحقیق برای برقراری چنین رابطه‌ای از دو سال قبل دریکی از کارخانه‌های بتن آماده شروع شده است اما بنا به دلایلی از جمله عدم اندازه گیری برخی پارامترها و تعداد کم داده‌های لازم قرار شد در تابستانهای پیش رو این داده‌ها تکمیل شود.

س-۷- چگونه می‌توان دمای ساخت بتن در کارخانه بتن آماده را کاهش داد؟ معمولاً اینکار بسیار دشوار یا نشدنی جلوه می‌کند؟ چه راهکارهایی را در این زمینه پیشنهاد می‌کنید که برای این تولیدکنندگان امکان پذیر باشد؟

ج-۷- وقتی دمای سنگدانه، سیمان و آب زیاد باشد دمای بتن هم در نتیجه زیاد خواهد شد. بنابراین چاره‌ای جز پائین نگهداشتن یا پائین آوردن دمای آنها نیست. همواره گفته شده است که پیشگیری بهتر از درمان است. در این رابطه بهتر است نگذاریم دمای اجزای بتن افزایش یابد و کار را مشکل کند. سنگدانه، سیمان و آب در زیر آفتاب و در مجاورت گرما، گرمتر می‌شوند. بويژه تابش آفتاب یک عامل مهم در افزایش دمای اجزای بتن است. بنابراین لازم است جلوی تابش آفتاب به سطح سنگدانه‌ها به کمک سایبان گرفته شود. با ایجاد یک دیواره و قرار دادن

سنگدانه‌ها در پشت آن در سمت شم ال و ایجاد سایبان بر روی آن به نحوی که در طول روز بدور از تابش آفتاب باشد از جمله اقدامات موثر برای جلوگیری از افزایش دمای سنگدانه هاست. ایجاد پوشش روی سنگدانه‌ها نیز موثر است و توصیه می‌شود.

عدم مصرف سیمان داغ و روودی به کارگاه و استفاده از رنگ سفید و روشن برای سیلوهای سیمان راه حل موثر دیگری است که گاه نیاز به نگهداری بیشتر سیمان داغ در سیلوها دارد تا خنک تر شود. چقدر خوبست که کارخانه‌های سیمان از بارگیری سیمانهای داغ و ارسال آنها برای مصرف کننده خودداری نمایند. مصرف سیمانهایی با دمای بیش از ۶۰ درجه سلسیوس، ساخت بتن با دمای مناسب را دشوار می‌کند، هر چند آئین نامه مصرف سیمان با دمای بیش از ۷۵ درجه سلسیوس را ممنوع کرده است. سنگدانه‌های خشک در زیر تابش آفتاب به تدریج دمای زیادی را بسته به جنس و رنگ خود کسب می‌کنند و حتی ممکنست دمای آنها از ۷۰ درجه سلسیوس بیشتر شود و ساخت بتن با دمای مناسب را دشوار یا غیر ممکن نماید. یکی از مهم ترین اجزای بتن برای دستیابی به دمای مطلوب، آب می‌باشد. ایجاد مخازن مدفون در زمین برای آب یک راهکار مهم و اساسی است.

وجود مخازن روی زمین یا مخازن هوایی معضل بزرگی را بوجود می‌آورد بویژه اگر عایق بندی نداشته باشد. در برخی کارگاهها در روزهای گرم، دمای آب مصرفی چنان افزایش می‌یابد که شستن دست و صورت و یا طهارت را در دستشوئی مشکل یا غیر ممکن می‌کند. بنابراین احساس می‌شود که دمای آب از ۵۰ درجه سلسیوس تجاوز می‌کند و امکان ساخت بتن با دمای مناسب را غیر ممکن می‌نماید. مخازن مدفون در خاک نیاز به عایق بندی حرارتی ندارد و دمای آب آن در تابستان و زمستان، نزدیک به یکدیگر است و علاوه بر بتن ریزی در هوای گرم، برای بتن ریزی در هوای سرد نیز کارایی مناسبی را دارد. چنانچه دمای آب در این مخازن از ۲۵ درجه سلسیوس تجاوز نکند برای بتن ریزی در هوای گرم مطلوب بنظر می‌رسد هر چند ممکن است نیاز به خنک سازی آب یا بکارگیری ترفندهای دیگر برای ساخت بتن با دمای مناسب را احساس کنیم.

در صورتی که در روزهای گرم، این اقدامات موجب نشود که بتن با دمای مناسب بسازیم که معمولاً هم منجر به این امر نمی‌گردد باید با اقدامات دیگر اقدامات پیشگیرانه قبلی را دنبال کنیم. مهم ترین کار آنست که از آب خنک شده با دمای حدود ۱۰ درجه سلسیوس برای ساخت بتن استفاده کنیم. بکارگیری وسایل خنک کننده آب و ریختن پودر یخ کافی در آب (مخزن آب) از این اقدامات به حساب می‌آید. بسیاری از اوقات این قبیل اقدامات نیز ناکافی است و در این صورت لازم است پودر یخ را به مخلوط کن بتن اضافه کرد و حتماً از آب مصرفی بتن به میزان یخ مصرفی کاست.

مسلم است برای اینکه پس از اختلاط بتن، یخ در آن باقی نماند و زمان اختلاط نیز تا حد امکان کوتاه باشد باید از یخ خرد شده یا یخ پولکی استفاده نمود. تامین دستگاههای ساخت یخ پولکی برای کارخانه‌های بتن آماده ممکن نیست و بسیار گران است بنابراین خرد کردن یخ با دستگاههای یخ خرد کن ساده ترین و ارزان ترین راهکار می‌باشد.

استفاده مستقیم از یخ در ساخت بتن معمولاً منجر به تامین دمای مطلوب می‌شود زیرا گرمای نهان ذوب یخ به کمک ما می‌آید. کسانی که علاقمندند تا بدانند دمای مناسب مورد نظر را چگونه می‌توان تامین نمود یا اصولاً پس از اختلاط اجزای بتن با دماهای مختلف، دمای بتن چقدر می‌شود می‌توانند به روابطی که در آئین نامه بتن ایران (۱۴۰۰) آمده است مراجعه نمایند.

در ادامه باید گفته شود خنک کردن سیمان کاری مرسوم در ساخت بتن نیست و به ندرت در برخی از سدهای بتنی کاربرد داشته است اما خنک کردن سندگانه ها بویژه شن ها در برخی از کارگاههای بتن سازی بکار گرفته شده است.

تامین امکانات برای خنک سازی سندگانه گاه گران قیمت است و در اکثر کارخانه های بتن سازی در ایران عمدتاً از آب پاشی بر روی سطح شن های گرم یا داغ استفاده می شود. در این حالت باید اجازه داده شود تا آب شن تبخیر گردد و بواسطه جذب گرمای نهان تبخیر آب، موجب کاهش دمای شن شود. اینکار باید با احتیاط و پاشش آب کم بر سطح شن انجام شود به نحوی که آب اضافی در شن باقی نماند.

ماسه های خیس براحتی در زیر آفتاب، داغ نمی شوند زیرا آب آن تبخیر می گردد و دمای ماسه را کم می کند ولی ماسه های خشک همچون شن ها گرم می شوند. بدیهی است شن های خنکتر شده در سطح هستند و پس از برداشتن آنها و ساخت بتن باید دوباره سطح جدید شن آب پاشی گردد. در برخی کارگاه ها نیز اجازه می دهند ماسه های خیس در معرض تبخیر قرار گیرند و خنک تر شوند. همه این کارها هزینه دارد و باید به نحوی عمل نمود که کمترین بار مالی و موثرترین روش را دنبال کرد. پیشگیری همیشه دارای بار مالی کمتر و تاثیر بیشتر است.

س-۸- چرا بکارگیری آب خنک و هم چنین بکارگیری یخ در ساخت بتن راهکار رایج و مرسومی محسوب می شود و موثرتر است؟ آیا اگر از آب صفر درجه بجای یخ صفر درجه استفاده کنیم همان تاثیر را ندارد؟

ج-۸- با اینکه مقدار آب مصرفی در بتن از سایر اجزای بتن کمتر است اما بدلیل ظرفیت گرمایی زیاد (گرمای ویژه زیاد) که تقریباً $4/5$ برابر سندگانه ها و سیمان است، مصرف آب خنک (سرد) می تواند موثر واقع شود ضمن اینکه تولید آب خنک یا سرد نسبت به سایر روشهای خنک سازی اجزای دیگر ساده تر و کم هزینه تر می باشد.

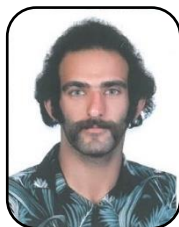
یخ صفر درجه بمراتب موثرتر از آب صفر درجه است زیرا یخ صفر درجه برای تبدیل شدن به آب صفر درجه به ازای هر کیلوگرم، 80 کیلوکالری (335 کیلوژول) گرما را از مصالح مجاور می گیرد و این مسئله باعث می شود که از آب صفر درجه بشدت متفاوت باشد. ظرفیت گرمایی (گرمای ویژه) آب 1 کیلوکالری به ازای یک کیلوگرم ($4/18$ کیلوژول) است هر چند ظرفیت گرمائی یخ $5/0$ کیلوکالری در هر کیلوگرم ($2/09$ کیلوژول) می باشد.

بنابراین چندان اهمیت ندارد که یخ با دمای خیلی پائین استفاده کنیم اما مهم است که یخ حتی با دمای صفر را بکار ببریم. برای مصرف یخ لازم است یک انبار یخ مناسب با عایق بندی کافی در کارگاه داشته باشیم تا بتوانیم در طول چندین ساعت ساخت بتن، از یخ استفاده کنیم و از آبشندن آن تا هنگام مصرف جلوگیری نمائیم. حجم این انبار باید برآورد شود.

دستگاههای خردکن یخ (Ice Crusher) ش بیه وسایلی است که در بازار ماهی فروشان بسیار کاربرد دارد و چندان گرانقیمت نیست و معمولاً یک دستگاه برای هر کارگاه کافی خواهد بود. همواره بهتر است بجای مصرف یخ برای خنک کردن آب، از یخ بصورت مستقیم در بتن استفاده کنیم.

انجمن بتن ایران

بررسی عملکرد روغن سوخته به عنوان ماده رهاساز در مقایسه با روغن مخصوص قالب به لحاظ کیفیت سطح بتن



دانیال قاسمی

کارشناسی ارشد مهندسی و مدیریت ساخت
دانشگاه صنعتی خواجه نصیرالدین طوسی
عضو انجمن بتن ایران



علیرضا باقری

دانشیار دانشکده مهندسی عمران
دانشگاه صنعتی خواجه نصیرالدین طوسی
نایب رئیس هیات مدیره انجمن بتن ایران

چکیده

امروزه به علت مزایای بسیار زیاد بتن نمایان کاربرد آن در صنعت ساختمان افزایش یافته است. بتن نمایان باید به گونه‌ای ساخته شوند که بافت و پوشش قابل قبولی برای مشاهده دائمی ایجاد کنند. از جمله مهم‌ترین شاخص‌هایی که کیفیت سطح بتن نمایان را با آن می‌سنجند، میزان حفرات ناخواسته است. از این‌رو، برای استفاده از بتن نمایان باید حفرات سطحی را به حداقل ممکن کاهش داد. در این تحقیق تأثیر دو نوع ماده رهاساز قالب پایه معدنی شامل؛ روغن سوخته و روغن مخصوص قالب، روی حفرات سطحی و همچنین میزان لکه‌گذاری بر سطح بتن و توزیع ابعادی حفرات مورد بررسی قرار گرفت. بررسی انجام‌شده نشان‌دهنده این است که؛ روغن سوخته حفرات بیشتر با توزیع ابعادی بزرگ‌تر ایجاد می‌کند. در هردو نوع روغن قالب با افزایش میزان مصرف از حداقل تا بیش از حد، درصد حفرات ناخواسته، لکه‌گذاری و توزیع ابعادی حفرات افزایش می‌یابد. نتایج نشان‌گر این است که؛ روغن سوخته در تمام مقادیر مصرف سبب لکه‌گذاری بر روی سطح بتن می‌شود همچنین روغن مخصوص قالب نیز به جز در حداقل مقدار مصرف، در سایر مقادیر باعث لکه‌گذاری روی سطح بتن شده است. با توجه به ویژگی‌های بیان‌شده، روغن سوخته نباید در بتن‌های معماری مورداستفاده قرار گیرد و روغن مخصوص قالب هم اگر امکان کنترل دقیق روی مقدار مصرف آن وجود داشته باشد، می‌توان در مقادیر مصرف کم، از آن در بتن معماری استفاده کرد.

کلمات کلیدی: حفرات سطحی ناخواسته، مواد رهاساز قالب، روغن سوخته، روغن مخصوص قالب، توزیع ابعادی حفرات

نمایان به بتنی گفته می‌شود که؛ سطوح آن که پس از ساخت، پوششی روی آن‌ها نخواهد آمد و در معرض دید خواهند بود. لذا باید به گونه‌ای ساخته شوند که بافت و پوشش قابل قبولی برای مشاهده دائمی ایجاد کنند. از جمله

۱- مقدمه

امروزه با توجه به پیشرفت صنعت ساخت‌وساز و مزایای استفاده از بتن نمایان^۱، کاربرد آن در کارهای عمرانی افزایش یافته است. طبق تعریف انجمن بتن آمریکا^۲ [۱] بتن

¹ exposed concrete

² American Concrete Institute(ACI)

مناسب و به صورت یکنواخت به سطح اعمال شوند. برخی کارگران برای راحتی کار، تمایل به استفاده از بیش از حد مواد رهاساز دارند. این موضوع علاوه بر افزایش هزینه، سبب می‌شود مواد رهاساز اضافه به صورت قطره در جداره قالب جمع شوند و حفرات کوچک سطح را تشکیل دهند [۷]. Djelal^۱ و همکاران [۵] نیز این موضوع را مطرح کردند که؛ مصرف بیش از حد روغن قالب از کیفیت سطوح بتنی می‌کاهد. مواد رهاساز توسط قلم مو یا توسط افشارکهایی مانند شکل ۱ بر روی سطح قالب پاشیده می‌شوند [۸].



شکل ۱- اسپری کردن ماده رهاساز بر سطح قالب [۸]

روغن موتور مصرف شده اتومبیل‌ها که "روغن سوخته" نامیده می‌شود، دارای پایه معدنی است و از دیرباز به عنوان ماده رهاساز قالب به کار می‌رفته است. با توجه به اینکه روغن سوخته باعث لکه‌گذاری روی سطوح بتن قالب‌گیری شده می‌شود استفاده از آن به عنوان ماده رهاساز قالب در ویرایش جدید آیین‌نامه بتن ایران [۱۴] منع شده است.

مهم‌ترین شاخص‌هایی که کیفیت سطح بتن نمایان را با آن می‌سنجند، میزان حفرات ناخواسته است. از این‌رو؛ استفاده از بتن نمایان مستلزم به حداقل رساندن حفرات سطحی در بتن و دستیابی به کیفیت ظاهری مناسب آن می‌باشد. مواد رهاساز قالب از جمله عوامل تأثیرگذار بر حفرات ناخواسته و کیفیت سطوح بتنی هستند.

هوا و آب محبوس در پشت قالب‌ها در صورتی می‌توانند به راحتی آزاد شوند که اصطکاک آن‌ها با جداره قالب کم باشد. بسته به نوع و مقدار مصرف مواد رهاساز قالب، این مواد می‌توانند باعث کاهش چسبندگی بین قالب و بتن تازه شده و خروج هوا و آب محبوس را تسهیل کنند [۲]. قابل ذکر است که؛ دلیل اصلی استفاده از مواد رهاساز، جداسازی راحت قالب از بتن می‌باشد، بهنحوی که در جداسازی علاوه بر سطح بتن، قالب نیز آسیبی نبیند [۳ و ۴]. به‌طور کلی مواد رهاساز قالب به دو گروه مواد جداکننده^۲ بین سطح قالب و بتن و مواد فعال شیمیایی^۳ تقسیم می‌شوند. مواد جداکننده، سطح قالب را پوشانده و از تماس بتن تازه با آن جلوگیری می‌کنند. مواد جداکننده عمدهاً بر پایه روغن‌های معدنی که از مشتقات نفتی هستند می‌باشند. این مواد یک‌لایه‌ی آب‌گریز روی سطح قالب تشکیل می‌دهند و مانع چسبیدن بتن به قالب می‌شوند. مواد رهاساز جداکننده شامل موادی نظیر روغن‌های نفتی و موم پارافین می‌شوند [۵].

میزان مصرف و روش اعمال مواد رهاساز در ظاهر نهایی بتن بسیار تأثیرگذار است [۶]. این مواد باید به میزان

^۱ barrier type

^۲ chemically active

^۳ C. Djelal

استفاده شده است. همچنین سنگدانه‌های مورداستفاده شامل شن و ماسه نیمه شکسته با خواص منطبق بر الزامات استاندارد ملی ایران به شماره ۳۰۲ [۱۱] بوده‌اند. مقدار مواد کوچک‌تر از لک شماره ۲۰۰ برای ماسه و شن به ترتیب برابر ۰/۰۰۰ و ۰/۰۴ درصد می‌باشد. شن به کارفته با حداکثر اندازه ۲۵ میلی‌متر، جذب آب ۰/۸ درصد و جرم حجمی ۲۵۲۰ کیلوگرم در مترمکعب بوده است. مقادیر متناظر برای ماسه ۳/۹ درصد و ۲۴۹۰ کیلوگرم در مترمکعب بوده است.

برای آغشته سازی سطوح قالب‌ها از روغن سوخته و روغن مخصوص قالب که هردو دارای پایه معدنی هستند استفاده شد (شکل ۲). روغن سوخته و روغن مخصوص قالب دارای مکانیزم عملکرد یکسان می‌باشند بهنحوی‌که، هردو با ایجاد یک لایه مانع از چسبیدن قالب به بتن جلوگیری می‌کنند. مشخصات مواد رهاساز در جدول ۱ آمده است.



روغن سوخته



روغن مخصوص
قالب(پایه معدنی)

شکل ۲. مواد رهاساز

علاوه‌گم این موضوع، هزینه پایین این ماده باعث شده تا کماکان در بسیاری پروژه‌ها مورداستفاده قرار گیرد. با توجه به اینکه تاکنون تحقیقی روی عملکرد روغن سوخته به لحاظ حفرات سطحی بتن گزارش نشده است در تحقیق حاضر به این موضوع پرداخته شده است. از آنجایی‌که؛ در حال حاضر روغن‌های پایه معدنی پرکاربردترین نوع روغن رهاساز می‌باشند، در این تحقیق به مقایسه عملکرد روغن سوخته با یک نوع روغن پایه معدنی مخصوص قالب به لحاظ مقدار و توزیع ابعادی حفرات سطحی و همچنین میزان لکه‌گذاری روی سطح بتن پرداخته شده است.

۲. برنامه آزمایشگاهی

هدف از تحقیق حاضر بررسی و مقایسه تأثیر روغن سوخته و روغن مخصوص قالب روی کیفیت سطح بتن بوده است. روغن‌ها در مقادیر حداقل، حداکثر و بیش از حد مورداستفاده قرار گرفتند. در ساخت نمونه‌های آزمایشی از قالب فولادی و بتن با اسلامپ ۷ سانتی‌متر استفاده شد. قالب در نظر گرفته شده دارای مقطع ۲۵ در ۲۵ سانتی‌متر و ارتفاع ۵۰ سانتی‌متر بوده است. انرژی ثابت تراکم به همه نمونه‌ها اعمال گردید و پس از قالب برداری، سطوح بتنی به لحاظ مقدار حفرات و توزیع ابعادی آن‌ها و لکه‌گذاری، موردنبررسی قرار گرفتند. تمام مراحل ساخت و بررسی نمونه‌ها در آزمایشگاه بتن دانشگاه صنعتی خواجه نصیر صورت گرفته است.

۱.۲. مصالح

برای ساخت بتن از سیمان پرتلند نوع دو که ویژگی‌های آن طبق استاندارد ۳۸۹ ایران [۹] و استاندارد C-150 ASTM^۱ [۱۰] بوده

^۱ American Society for Testing and Materials

جدول ۱. مشخصات روغن

روغن سوخته	روغن مخصوص قالب (پایه معدنی)	ماده رهاساز
۴۱/۸۳	۱۳۵۸	ویسکوزیته (میلی پاسکال ثانیه)
غیرفعال - مانع	غیرفعال - مانع	عملکرد
سیاه	کرم	رنگ
۰/۸۹	۰/۹۵	وزن مخصوص

مواد در مقادیر حداقل، حداکثر و بیش از حد مورد آزمایش قرار گرفتند. منظور از حداقل مقدار روغن، کمترین مقدار روغنی است که توانایی پوشش کامل سطح را داشته باشد. مقدار حداکثر نیز با آغشته کردن سطح قالب تا حدی که روغن بر روی سطح شره نکند، مشخص شد. برای مقدار بیش از حد نیز، مقدار حداکثر به دو برابر افزایش یافت. مقادیر مورداستفاده از مواد رهاساز در جدول ۳ آورده شده است.

۲. طرح مخلوط و آماده سازی نمونه ها

در این تحقیق از بتن با اسلامپ هفت سانتی متر استفاده شده است. تعیین مقادیر اجزا با استفاده از روش ملی طرح مخلوط بتن انجام گردید که در جدول ۲ قابل مشاهده می باشد. قابل ذکر است؛ پس از ساخت بتن، مطابق الزامات استاندارد ASTM C143 [۱۲] آزمایش اسلامپ بر روی مخلوط بتن تازه صورت گرفته است.

جدول ۲. طرح مخلوط بتن اسلامپ هفت سانتی متر

مقادیر اجزای بتن (کیلوگرم)				مقدار روانی (اسلامپ) بتن
شن	ماسه	سیمان	آب	
۱۰۲۴	۷۰۰	۳۷۰	۱۸۵	هفت سانتی متر

بتن ریزی در شرایط یکسان در قالب فلزی با سطح مقطع مربع به ابعاد ۲۵ سانتی متر انجام شد. ارتفاع بتن ریخته شده در قالب برابر ۵۰ سانتی متر در نظر گرفته شد. تصویر قالب فولادی در شکل ۳ آرائه شده است. همان طور که مشخص است قالب فولادی مورداستفاده از نوع پانلی به ارتفاع ۱ متر بود. لیکن بتن به ضخامت ۵۰ سانتی متر در آن ریخته و متراکم گردید. قابل ذکر است به منظور جلوگیری از خروج شیره بتن قالب های فولادی توسط نوارهای لاستیکی در زبانه شدن.

جهت بررسی تأثیر مقدار استفاده از مواد رهاساز روی حفرات سطحی بتن و میزان لکه گذاری روی سطوح، این



قالب فولادی
شکل ۳. قالب مورداستفاده

شکل ۵ از شابلون استفاده شده است. حدوداً هجده ساعت بعد ارتعاش، قالب برداری از نمونه‌ها انجام شد.



شکل ۴. ویبراتور درونی بتن

جدول ۴. مشخصات ویبراتور

شعاع عمل (mm)	(Hz) فرکانس	دامنه در هوای (mm)	(mm) طول	(mm) قطر
۱۵۰	۱۰۰	۲/۵	۵۰۰	۳۸

جدول ۳. مقادیر ماده رهاساز آگشته شده در قالب فولادی

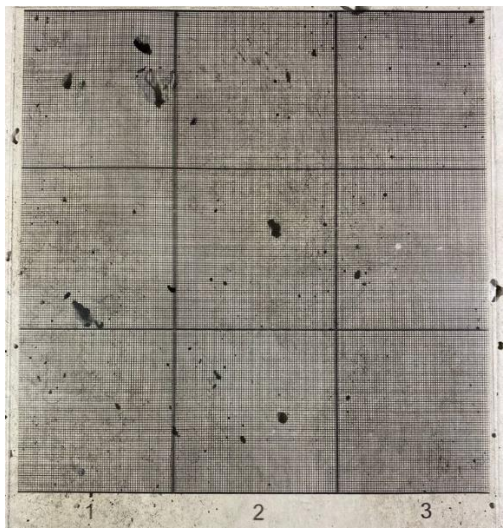
روغن سوخته		روغن مخصوص قالب(پایه معدنی)		نوع روغن	
بیش از حد	حداکثر	حداکل	بیش از حد	حداکثر	حداکل
۷۱/۷	۳۵/۸	۱۰/۱	۱۱۰/۹	۵۵/۴	۱۲

برای متراکم کردن بتن از ویبراتور درونی با موتور برقی استفاده شد که تصویر ویبراتور مورداستفاده در شکل ۴ و مشخصات آن در جدول ۴ ذکر شده است. مدت زمان ویبره که به همه نمونه‌ها به‌طور یکسان اعمال گردید و به نحوی در نظر گرفته شد که تمایز در وضعیت حفرات سطحی ناشی از پارامترهای مورد مطالعه را فراهم آورد. براین اساس تراکم اعمال شده به همه نمونه‌ها به این صورت بود که ویبراتور ۳۰ ثانیه در بتن به‌طور کامل مدفون بوده و طی ۱۰ ثانیه از آن خارج گردید. برای این‌که ویبراتور حین ارتعاش بتن دقیقاً در مرکز قالب قرار داشته باشد مطابق

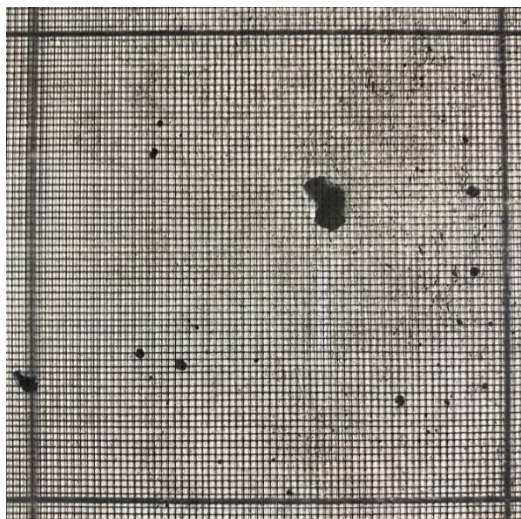


شکل ۵. شابلون قالب فولادی





شکل ۶. تلق مشبك



شکل ۷. ارزیابی حفرات ناخواسته سطح

۲.۳. نحوه ارزیابی سطوح

برای ارزیابی سطوح، پس از قالب برداری به مدت بیست و چهار ساعت فرصت داده شد تا هم سطح بتن‌ها خشک شوند و هم به مقاومت مناسبی برسند تا در حین جابجایی آسیب نبینند. هر نمونه‌ی بتنی سخت شده دارای چهار وجه می‌باشد که هر وجه ۲۵ سانتی‌متر عرض و به طور میانگین حدود ۴۶ سانتی‌متر ارتفاع دارد. در تمام سطوح، حاشیه‌ای ۲ سانتی‌متری از طرفین، بالا و پایین کنار گذاشته شد و درنهایت سطح با ابعاد ۲۱ در ۴۲ سانتی‌متر مورد بررسی قرار گرفت. بررسی سطوح برای حفرات سطحی در چارچوب روش دستی مشخص شده توسط انجمن بتن آمریکا^[۱۳] انجام شد. برای بررسی وجود مذکور و اندازه‌گیری حفرات سطح بتن به روش دستی از اشلی با جنس تلق شفاف استفاده شد. مطابق شکل ۶ تلق به خانه‌های مربع شکل به ابعاد یک‌دریک میلی‌متر تقسیم شده که درمجموع این خانه‌ها یک صفحه‌ی ۲۱ در ۲۱ سانتی‌متری مشبك را تشکیل دادند. ارزیابی هر وجه نمونه‌ها با استفاده از تلق مشبك در دو مرحله، یکی در بخش پایین نمونه و دیگری در بخش بالای نمونه انجام شد. پس از قرارگیری تلق مشبك روی سطح بتن، تعداد خانه‌های ۱ در ۱ میلی‌متر روی هر حفره شمرده و یادداشت می‌شوند. حفرات کوچک‌تر از یک‌خانه‌ی ۱ در ۱ میلی‌متر در دسته حفرات کوچک‌تر از ۱ میلی‌متر مربع قرار می‌گیرند. شایان توجه است که از حفرات با قطر کمتر از نیم میلی‌متر چشم‌پوشی گردید. شکل ۷ نحوه ارزیابی حفرات نشان می‌دهد.

۳. نتایج و تفسیر آن‌ها

۳.۱. درصد حفرات ناخواسته سطح بتن

در فصل حاضر نتایج بررسی آزمایشگاهی انجام شده روی تأثیر نوع و مقدار مصرف مواد رهاساز پایه معدنی بر حفرات سطحی بتن، لکه‌گذاری سطوح و توزیع ابعادی ارائه شده است. نتایج حاصل از ارزیابی سطوح بتنی در جدول ۵ و

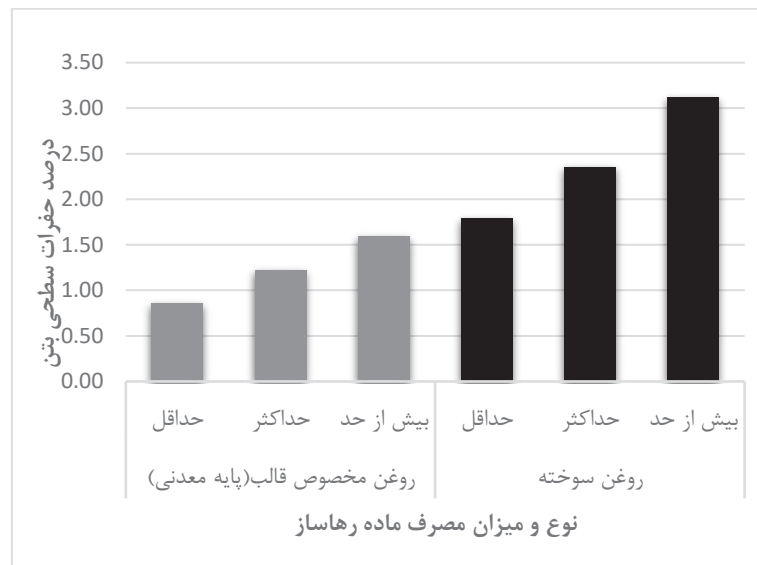
شکل ۸ ارائه شده است. همان‌گونه که مشخص است؛ روغن سوخته از نظر حفرات سطحی عملکرد بدتری نسبت به روغن مخصوص قالب داشته بهنحوی که؛ در مقادیر مصرف یکسان، درصد حفرات ایجاد شده توسط روغن سوخته دو

میزان مصرف مواد رهاساز از حداقل به حداقل و از حداقل به بیش از حد، ۳۰ درصد به میزان حفرات ناخواسته اضافه شده است.

برابر روغن مخصوص قالب می باشد. به لحاظ تأثیر مقدار مصرف مواد رهاساز روی حفرات سطحی نیز، نتایج ارائه شده نشانگر این است که؛ برای هر دو نوع روغن قالب، با افزایش میزان مصرف از حداقل تا بیش از حد، درصد حفرات ناخواسته افزایش یافته است. در هر مرحله از افزایش

جدول ۵. درصد حفرات ناخواسته در سطوح ساخته شده با بتون اسلام پ هفت سانتی متر در قالب های فولادی با انواع و مقادیر مختلف مصرف مواد رهاساز

قالب فلزی	میزان استفاده	نوع ماده رهاساز
۰/۸۶	حداقل	روغن مخصوص قالب (پایه معدنی)
۱/۲۲	حداکثر	
۱/۵۹	بیش از حد	
۱/۸۰	حداقل	روغن سوخته
۲/۳۵	حداکثر	
۳/۱۳	بیش از حد	



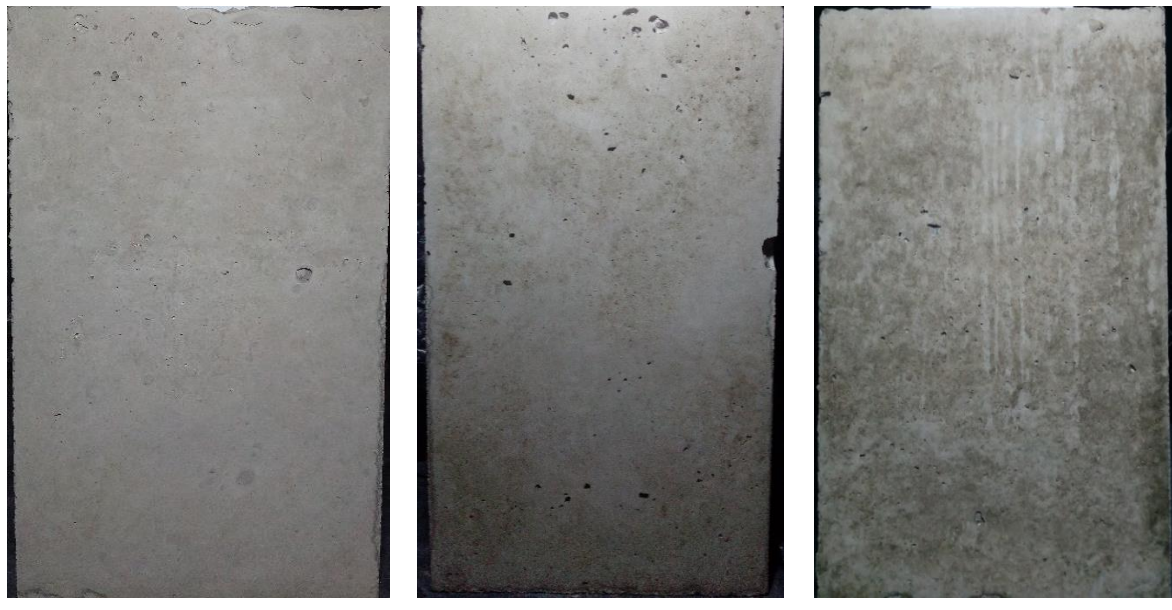
شکل ۸. درصد حفرات ناخواسته در سطوح ساخته شده با بتون اسلام پ هفت سانتی متر در قالب های فولادی با انواع و مقادیر مختلف مصرف مواد رهاساز

لکه گذاری نشده است ولی در مقدار کاربرد زیاد، لکه گذاری صورت گرفته و با افزایش مقدار مصرف شدت لکه گذاری بیشتر شده است. شکل ۱۰ سطوح بتونی قالب گیری شده آغشته به مقادیر مختلف روغن سوخته نشان داده شده است. قابل مشاهده است که؛ روغن سوخته در تمام مقدار مصرف سبب لکه گذاری سطح بتون می گردد و با افزایش

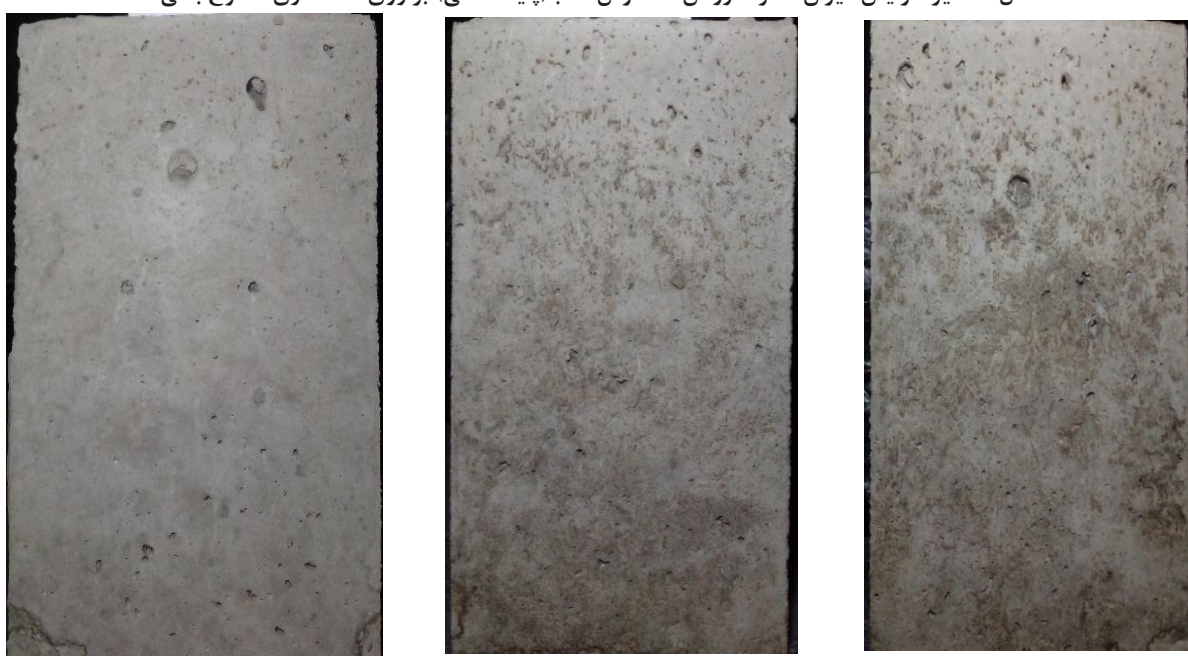
مورد دیگری که بایستی به لحاظ عملکرد مواد رهاساز در نظر گرفته شود بحث امکان لکه گذاری آن ها روی سطح بتون می باشد. در شکل ۹ سطوح بتونی قالب گیری شده آغشته به مقادیر مختلف روغن مخصوص قالب (پایه معدنی) نشان داده شده است. همان گونه که دیده می شود هر چند در حداقل مقدار مصرف، روغن مخصوص قالب منجر به

نمی باشد. همان طور که بیان شد؛ روغن مخصوص قالب در مقادیر زیاد ایجاد لکه‌گذاری می‌کند و تنها در صورتی که امکان کنترل روی مقدار مصرف روغن وجود داشته باشد، استفاده از آن می‌تواند برای بتن‌های نمایان و معماری در نظر گرفته شود.

میزان مصرف، لکه‌گذاری نیز افزایش می‌یابد. با توجه به این نکته که؛ روغن سوخته در تمام مقادیر ایجاد لکه‌گذاری می‌کند و لذا جدای از بیشتر بودن مقدار حفرات سطحی مربوط به آن در مقایسه با روغن مخصوص قالب، به لحاظ لکه‌گذاری، امکان استفاده از آن در بتن نمایان



شکل ۹. تأثیر افزایش میزان مصرف روغن مخصوص قالب(پایه معدنی) بر روی لکه‌گذاری سطوح بتنی

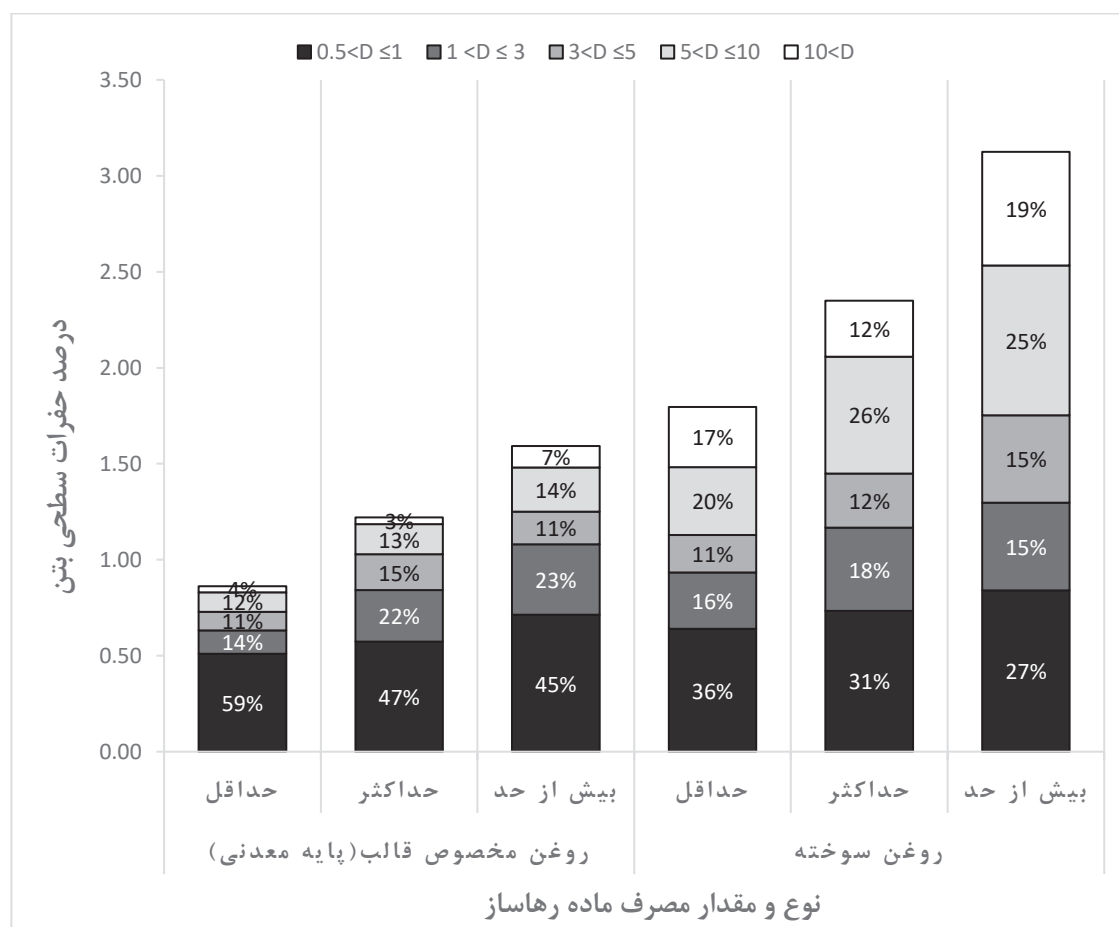


شکل ۱۰. تأثیر افزایش میزان مصرف روغن سوخته بر روی لکه‌گذاری سطوح بتنی

حفرات هر بازه به سطح کل حفرات به نمایش گذاشته شده است. همان‌طور که مشخص است؛ روغن سوخته نه تنها نسبت به روغن مخصوص قالب، حفرات سطحی بیشتری ایجاد می‌کند، بلکه ابعاد حفرات ایجاد شده نیز بزرگ‌تر هستند که تأثیر منفی روی کیفیت سطحی بتن را به مرتب بیش‌تر می‌کند. همچنین برای هردو نوع روغن مورداستفاده، با افزایش مقدار مصرف ماده رهاساز، توزیع ابعادی از حفرات ریز به سمت حفرات درشت‌تر میل می‌کند.

۲.۳. توزیع ابعادی حفرات ناخواسته سطح بتن

ارزیابی و شمارش حفرات ناخواسته به نحوی صورت گرفته که علاوه بر تعیین درصد کل حفرات در سطح بتن، امکان بررسی توزیع ابعادی حفرات نیز وجود دارد. از آنجایی که حفرات ناخواسته غالباً دارای اشکال نسبتاً نامنظم می‌باشند، با در اختیار داشتن مساحت هر حفره، قطر معادل آن‌ها محاسبه شده و ملاک ارزیابی قرار گرفته است. نتایج حاصل از بررسی توزیع ابعادی حفرات ناخواسته برای نمونه‌های مورد بررسی در شکل ۱۱ و بر حسب درصد سطح



شکل ۱۱. تأثیر نوع ماده رهاساز و میزان مصرف آن بر توزیع ابعادی حفرات ناخواسته سطح بتنی

۴. نتیجه‌گیری

در تحقیق حاضر عملکرد روغن سوخته به عنوان ماده رهاساز قالب، با روغن مخصوص قالب در مقادیر مختلف مصرف مقایسه شده است. پارامترهای موردنظری شامل مقادیر حفرات و توزیع ابعادی آنها و همچنین لکه‌گذاری روی سطح بتن بوده است. بر اساس نتایج حاصله نتیجه‌گیری‌های زیر قابل ارائه می‌باشند:

نتایج نشانگر عملکرد ضعیفتر روغن سوخته نسبت به روغن مخصوص قالب است و استفاده از آن حفرات بیشتری ایجاد می‌کند. در مقادیر مصرف یکسان، درصد حفرات ایجادشده توسط روغن سوخته ۲ برابر روغن مخصوص قالب می‌باشد.

با افزایش میزان مصرف از حداقل تا بیش از حد، برای هر دو نوع روغن قالب، درصد حفرات ناخواسته افزایش می‌باشد. به طوری که در هر مرحله از افزایش میزان مصرف مواد رهاساز، از حداقل به حداقل و از حداقل به بیش از حد، ۳۰ درصد به میزان حفرات ناخواسته افزوده شده است.

بررسی‌های انجام شده نشانگر این است که هرچند روغن مخصوص قالب در حداقل مقدار مصرف، لکه‌گذاری نداشته، اما مقادیر مصرف زیاد آن باعث لکه‌گذاری روی سطح بتن شده است. روغن سوخته در تمامی مقادیر مصرف سبب لکه‌گذاری سطوح بتونی شده است. در هر دو نوع روغن قالب با افزایش میزان مصرف، لکه‌گذاری نیز افزایش می‌یابد.

۵. قدردانی

نویسنده‌گان این مقاله از مدرس آزمایشگاه بتن دانشکده مهندسی عمران دانشگاه صنعتی خواجه نصیرالدین طوسی آقای مهندس زنگانه و تکنسین آزمایشگاه بتن آقای محمد زاده جهت مساعدت در مراحل مختلف این پژوهش و همچنین از شرکت سازه‌گستر مددت برای تأمین قالب‌های بتن، تشکر می‌نمایند.

۶-مراجع

- [1] ACI 303, (2012). "Guide to Cast-in-Place Architectural Concrete Practice". American Concrete Institute, American Concrete Institute, no. ACI 303R-12.
- [2] یگانه، ب.، ابراهیمی، م.، ناصح‌زاده، ش. (۱۳۹۷). "بررسی کاربرد بتن در طرح‌های معماری به لحاظ زیبا سازی و مقاومت". کنفرانس ملی یافته‌های نوین در مهندسی عمران-معماری-محیط زیست.
- [3] Da Silva, W., Lucena, D., Štemberk, P., Prudêncio Jr, L. (2014). "Evaluation of the effect of concrete compositional changes and the use of ethyl-alcohol and biodegradable-oil-based release agents on the final surface appearance of self-compacting concrete precast elements" *Construction and Building Materials*, vol. 52, pp. 202-208.
- [4] Shyha, I., Richardson, A., Coventry, K., Ponton, H. (2016). "Mould release technologies with regard to concrete surface finish". *Magazine of Concrete Research*, vol. 68, no. 2, pp. 87-98.
- [5] Djelal, C., De Caro, P., Libessart, L., Dubois, I., Pébère, N. (2008). "Comprehension of demoulding mechanisms at the formwork/oil/concrete interface". *Materials and structures*, vol. 41, no. 3, pp. 571-581.
- [6] زند بابارئیسی، ا.، قاسمی تبار، ا. (۱۳۹۸). "ارائه روش‌های اجرای مناسب برای بهبود کیفیت و حذف عیوب سطحی بتن". یازدهمین کنفرانس ملی بتن.
- [7] ACI 309. (2015). "Guide to Identification and Control of Visible Surface Effects of Consolidation on Formed Concrete Surfaces". American Concrete Institute, no. ACI 309.2R-15.
- [8] Djelal, C., Vanhove, Y., Chambellan, D., Brisset, P. (2010). "Influence of the application method of release agents on thickness of mould oils". *Materials and structures*, vol. 43, no. 5, pp. 687-698.
- [۹] موسسه استاندارد و تحقیقات صنعتی ایران. "ویژگی‌های سیمان پرتلند". شماره .۳۸۹
- [10] ASTMC150/C150M-20. (2020). "Standard specification for Portland cement". ASTM International, West Conshohocken, PA.
- [۱۱] سازمان ملی استاندارد ایران. "سنگدانه‌های بتن-ویژگی‌ها". شماره .۳۰۲
- [12] ASTM c143. (2012). "Standard Test Method for Slump of Hydraulic-Cement Concrete". ASTM International.
- [13] ACI 347.(2014). "Guide to Formed Concrete Surfaces". American Concrete Institute, no. 347.3R-13.
- [۱۴] آبآ. (۱۴۰۰). "آین نامه بتن ایران". وزارت راه و شهرسازی.

مقایسه تأثیر نمونه‌گیری به روشهای منفرد و مرکب بر نتایج مقاومت فشاری



محسن فرجی
شرکت تولیدکننده بتن آماده فهاب بتون
عضو انجمن بتن ایران



محمدجواد محمدی
شرکت تولیدکننده بتن آماده فهاب بتون
عضو انجمن بتن ایران



امیرهمایون ثابتی مطلق
شرکت تولیدکننده بتن آماده فهاب بتون
عضو انجمن بتن ایران



فرهاد عواتفی‌هویدا
شرکت تولیدکننده بتن آماده فهاب بتون
عضو انجمن بتن ایران



بابک احمدی
استادیار مرکز تحقیقات راه، مسکن و شهرسازی
عضو انجمن بتن ایران



بابک فروزن مهر
شرکت تولیدکننده بتن آماده فهاب بتون
عضو انجمن بتن ایران



ابوالفضل وثوقی
شرکت تولیدکننده بتن آماده فهاب بتون

چکیده

اهمیت بتن به عنوان پر مصرف ترین ماده جهان پس از آب، باعث لزوم توجه به فرآیند کنترل کیفیت این محصول در کنار تولید آن می‌شود. در صنعت بتن آماده به منظور کنترل کیفیت بتن از نظر خواص بتن تازه و سخت شده معیارهایی در نظر گرفته می‌شود. از جمله معیارهای رایج برای ارزیابی مشخصات بتن تازه، آزمایش روانی بتن (به روش اسلامپ) و اندازه‌گیری دمای بتن تازه و برای بتن سخت شده، آزمایش مقاومت فشاری است. یکی از دغدغه‌های مربوط به ارزیابی کیفیت بتن، نحوه نمونه‌گیری از مخلوط بتن است. مطابق استاندارد ملی ۶۰۴۴ و آیین نامه بتن ایران، روش نمونه‌گیری در کارگاه برای کنترل روانی و دمای بتن تازه می‌تواند به روش منفرد و مرکب و برای آزمونهای مقاومت فشاری باید به صورت مرکب باشد. با این وجود، در بسیاری از پژوهش‌ها تمايل به نمونه‌گیری به روش نقطه‌ای به دليل صرف زمان و انرژي كمتر و همچنین کاهش زمان توقف کامیون‌های حمل بتن برای نمونه‌گیری وجود دارد.

در این تحقیق، با بررسی و نمونه‌گیری‌های انجام شده در پژوهش‌های مختلف در شهر تهران، نتایج خواص بتن تازه و سخت شده در دو روش نمونه‌گیری منفرد و مرکب مقایسه گردید. تغییرات مقاومت فشاری، روانی و دمای بتن با انجام سه مرحله نمونه‌گیری بعد از تخلیه حدود ۱۵ (ابتداي بار)، ۵۰ (وسط بار) و ۸۵ (درصد انتهای بار) از حجم بتن موجود در کامیون حمل بتن در سه رد مقاومت فشاری C25، C30 و C35 بررسی شد. بر اساس نتایج به دست آمده، نمونه‌گیری منفرد نسبت به مرکب، تغییرات مقاومت فشاری قابل توجهی نداشته است. همچنین در نمونه‌گیری منفرد در ابتداء، وسط و انتهای بار، دمای بتن تازه میانگین $40/4$ درجه سلسیوس افزایش و میزان روانی به روش اسلامپ میانگین ۱۶ درصد کاهش پیدا کرد.

کلمات کلیدی: نمونه‌گیری منفرد و مرکب، بتن آماده، خواص بتن تازه و سخت شده

۱. مقدمه

با توجه به اهمیت بتن به عنوان پر مصرف‌ترین ماده جهان پس از آب و مهمترین مصالح مصرفی در صنعت ساختمان، فرآیند کنترل کیفیت این محصول در کنار تولید آن یکی از دغدغه‌های مهم مهندسی عمران به شمار می‌آید. برای استانداردسازی این فرآیند، دستورالعمل‌ها و آیین‌نامه‌های متعددی برای بررسی و کنترل ویژگی‌های مختلف بتن در سراسر جهان توسط نهادهای مختلفی تدوین شده است. در این راستا در ایران نیز سازمان ملی استاندارد، به عنوان مرجع قانونی تدوین این دستورالعمل‌ها، در زمینه کنترل کیفیت بتن، استانداردهایی را مشخص کرده است. استاندارد ملی شماره ۶۰۴۴ [۱] به عنوان مرجع تولید و مصرف بتن آماده در زمینه نمونه‌گیری از بتن، در آخرین ویرایش (سال ۱۳۹۷)، برای نمونه‌برداری از بتن تازه، روش نمونه‌برداری را به استاندارد ملی شماره ۳۲۰۱ [۲] ارجاع داده است. در این استاندارد، روش نمونه‌برداری به دو صورت منفرد (نقطه‌ای) و مرکب توضیح داده شده است. نمونه‌گیری منفرد به نمونه‌های بتن که از یک جریان در حال حرکت و یا از یک توده بتنی در یک نقطه خاص نمونه‌برداری می‌شود، گفته می‌شود در حالی که نمونه مرکب، توسط یک سری از برداشت‌ها از نقاط مختلف پیمانه یا توده بتن است که به طور کامل مخلوط و همگن می‌شوند [۲]. استاندارد ملی شماره ۶۰۴۴ [۱] از بین این دو روش، روش مرکب را به عنوان روش مورد نظر برای آزمایش مقاومت فشاری انتخاب نموده است. همچنین در آیین‌نامه بتن ایران (نشریه شماره ۱۲۰ سازمان برنامه و بودجه) [۳] نمونه‌برداری از کامیون حمل بتن^۱ را صرفأ به روش مرکب را مجاز دانسته است اما در شرایطی که ناظر

نیاز به نمونه‌گیری اضافی را برای برطرف کردن ابهام در موارد خاص مربوط به بتن تازه را احساس کند، نمونه‌گیری به روش نقطه‌ای یا منفرد مجاز اعلام شده است.

با وجود تأکید آیین‌نامه بتن ایران [۳] و استاندارد ملی شماره ۶۰۴۴ [۱] مبنی بر لزوم نمونه‌گیری به روش مرکب، با توجه به وجود دو روش منفرد مندرج در استاندارد ۳۲۰۱ [۲] برای نمونه‌برداری بتن از کامیون‌های حمل بتن، در بسیاری از پروژه‌ها و آزمایشگاه‌ها تمایل به نمونه‌گیری به روش نقطه‌ای وجود دارد. در روش نمونه‌گیری منفرد نسبت به روش مرکب، معمولاً زمان و انرژی کمتری صرف می‌شود و آسان‌تر انجام می‌شود. علاوه‌بر این، زمان موردنیاز متوقف کردن بتن‌ریزی برای انجام نمونه‌گیری کاهش می‌یابد. ذکر این نکته ضروری است که مطابق استاندارد ملی شماره ۶۰۴۴ [۱]، علاوه بر ضرورت توجه به حقوق مصرف‌کننده، نمونه‌گیری مرکب، کنترلی برای حفظ یکنواختی مخلوط بتن در مدت زمان بتن‌ریزی است. بدین منظور که در بسیاری از موارد، احتمال تغییر مخلوط بتن با افزودن آب و مصالح مختلف توسط افراد حاضر در بتن‌ریزی (راننده کامیون حمل بتن، راننده پمپ) وجود دارد که با استفاده از نمونه‌گیری مرکب، می‌توان این یکنواختی مخلوط بتن را کنترل کرد.

در این تحقیق، با نظارت بر عدم تغییر در مخلوط بتن، تفاوت‌های مشخصات بتن تازه و سخت‌شده دو روش نمونه‌گیری منفرد و مرکب موجود در استاندارد ملی ۳۲۰۱ [۲] در شرکت فهاب بتن بررسی شد. بدین منظور، نمونه‌گیری‌هایی به دو روش موجود در بتن‌ریزی‌های مختلف در شهر تهران انجام شد. با بررسی خواص بتن تازه از نظر روانی اسلامپ و دما در مدت زمان بتن‌ریزی و همچنین

کامیون حمل بتن) نمونه‌گیری منفرد برای بررسی اسلامپ، دمای بتن تازه و مقاومت فشاری انجام شد. برای بررسی تفاوت مقاومت فشاری دو روش نمونه‌گیری، نمونه‌گیری مرکب بر اساس محدودیت موجود در استاندارد ملی ۶۰۴۴ [۱]، ۳۲۰۱ [۲] و آیینن نامه بتن ایران [۳]، از ترکیب برداشت اول نمونه‌گیری مرکب بعد از تخلیه ۱۵ درصد از حجم بتن موجود در کامیون حمل بتن، تخلیه حدود ۵۰ درصد از بتن و برداشت قبل از رسیدن به ۱۵ درصد انتهایی حجم بتن موجود در کامیون حمل بتن (حدود ۸۵ درصد از حجم بتن)، بخش کافی از برداشت‌ها ترکیب شد و آزمونه‌های مقاومت فشاری برای نمونه‌گیری مرکب تهیه گردید. در مدت زمان برداشت‌های دوم (وسط بار) و سوم (انتهای بار)، اسلامپ و دمای بتن تازه به صورت نمونه‌گیری منفرد ثبت گردید تا روند تغییرات آن‌ها در مدت زمان بتن‌ریزی و محل نمونه‌گیری به دست آید. انجام نمونه‌گیری از بتن مطابق با استاندارد ۳۲۰۱ [۲] توسط افراد با تجربه در واحد کنترل کیفیت شرکت فهاب بتن صورت گرفته است (شکل ۱).



شکل ۱- نمونه‌گیری بتن تازه از کامیون حمل بتن

خواص بتن سخت‌شده شامل مقاومت فشاری، تفاوت‌های احتمالی دو روش نمونه‌گیری مورد ارزیابی قرار گرفت. با ارزیابی نتیج این تحقیق، می‌توان نگرانی‌های احتمالی دستگاه نظارت برای ایجاد خطأ در نتایج مقاومت فشاری نمونه‌گیری منفرد برطرف کرد و همچنین امکان نمونه‌گیری منفرد برای فرآیند کنترل کیفیت تولیدکننده را فراهم کند.

۲. روش تحقیق

برای رسیدن به اهداف تحقیق، در ۱۶ مورد بتن‌ریزی مختلف در نقاط مختلف شهر تهران، نمونه‌گیری منفرد و مرکب انجام شد. در مدت زمان بتن‌ریزی، اسلامپ و دمای بتن تازه نیز در هر قسمت از نمونه‌برداری بعد از تخلیه حدود ۱۵ (ابتدا بار)، ۵۰ (وسط بار) و ۸۵ درصد (انتهای بار) از حجم بتن موجود در کامیون حمل بتن، ثبت گردید. از هر نمونه، ۳ عدد آزمونه مکعبی ۱۵ سانتی‌متری برای انجام آزمایش مقاومت فشاری بعد از ۲۸ روز عمل-

آوری استاندارد در آب و آهک اشباع نیز تهیه شد. مراحل انجام نمونه‌گیری بدین ترتیب بود که در ابتدا، بعد از برداشت اول (حدود ۱۵ درصد حجم اولیه بتن موجود در



سال، به منظور کنترل دمای بتن در محدوده مجاز ۳۲ درجه سلسیوس، در برخی از موارد، از یخ قالبی در کامیون‌های حمل بتن استفاده شد. در جدول ۱، اطلاعات استفاده از مواد افزودنی فوق روان‌کننده در بتن‌ساز مرکزی (با کاربرد کاهنده آب)، مصرف مجدد افزودنی در محل پروژه در هنگام تخلیه و استفاده از یخ در پروژه‌های مختلف نشان داده شده است.

در این تحقیق، به صورت تصادفی پروژه‌های مختلف با رده‌های مختلف مقاومتی در نظر گرفته شدند. همچنین، با توجه به نیاز برخی از پروژه‌ها برای دستیابی به روانی بیشتر، از روان‌کننده در بتن‌ساز مرکزی^۱ و محل پروژه استفاده شد؛ ولی به منظور یکسان‌سازی داده‌های تحقیق، از هر یک از رده‌های پر تکرار C25، C30 و C35، پنج مورد انتخاب گردید. با توجه به انجام تحقیق در ۶ ماه ابتدای

جدول ۱- اطلاعات استفاده از یخ و افزودنی فوق روان کننده در پروژه‌ها

ردیف مقاومتی	شماره	موقعیت پروژه	استفاده از یخ	در بتن‌ساز مرکزی	کننده	استفاده از فوق روان-	استفاده از فوق روان	روان‌کننده	در محل پروژه	خیر	بله	خیر	بله	خیر	بله	بله	
۱		رشیدی جهان	*	*	*	*				*							
۲		قروین	*	*	*	*				*							
۳		کریم خان	*	*	*	*				*							
C25	۴	یافت آباد	*	*		*				*							
	۵	یافت آباد	*	*	*	*				*							
	۱	خیام	*	*	*	*				*							
	۲	شهرک بروجردی	*	*		*				*							
	۳	بیمارستان امام خمینی	*	*		*				*							
C30	۴	یوسف آباد	*	*	*	*				*							
	۵	مرزداران	*	*	*	*				*							
	۱	سیمون بولیوار	*	*	*	*				*							
	۲	سیمون بولیوار	*	*	*	*				*							
	۳	سیمون بولیوار	*	*	*	*				*							
C35	۴	سیمون بولیوار	*	*	*	*				*							
	۵	سیمون بولیوار	*	*	*	*				*							

1 Batching

۳. آزمایش‌ها

اسلامپ در برداشت‌هایی که تقریباً از ۱۵ و ۸۵ درصد بتن داخل کامیون حمل بتن تخلیه شده است، در جدول ۲ مشاهده می‌شود. لازم به ذکر است که حداقل فاصله زمانی ۱۵ دقیقه بین نمونه‌گیری‌های انجام شده در ابتداء و انتهای کامیون حمل بتن، در تمامی نمونه‌گیری‌ها رعایت شده است.

مطابق نتایج جدول ۲، به طورکلی در مدت زمان تخلیه از کامیون حمل بتن، اسلامپ کاهاش و دمای بتن تازه افزایش می‌یابد که دلیل آن می‌تواند گذشت زمان در طول زمان نمونه‌گیری از ماشین حمل بتن باشد. بنابراین لازم است تا مصرف‌کننده بتن، دستگاه نظارت و افراد مسئول در بتن‌ریزی در این مورد توجیه شوند و با درنظرگرفتن تمهیدات لازم، از بروز مشکلات احتمالی مانند افت زیاد اسلامپ، افزایش دمای بتن تازه از حدکثر دمای مجاز و ... جلوگیری شود.

در استاندارد ملی شماره [۱]، برای کنترل اولیه و پذیرش بتن، اینطور بیان شده است که از نمونه منفرد ابتدای بار برای کنترل ویژگی‌هایی مانند جریان اسلامپ، دما، چگالی و درصد هوای بتن تازه باید استفاده شود. مطابق نتایج جدول ۲ و تغییرات اندک بین ابتداء و انتهای بار می‌توان در برداشت‌های وسط بار خواص بتن تازه کنترل گردد. البته ناظر پروژه می‌تواند برای کنترل یکنواختی بتن، به منظور مقایسه در کامیون‌های حمل بتن مختلف درخواست انجام نمونه‌گیری منفرد در قسمت‌های مختلف تخلیه بتن داشته باشد. همچنین، مطابق آیین نامه بتن ایران [۳]، ناظر می‌تواند در هنگام بروز شک یا ایجاد تغییرات ظاهری در بتن نیز درخواست نمونه‌گیری منفرد را پس از تخلیه حدود ۰/۳ مترمکعب از بتن داخل کامیون حمل بتن داشته باشد.

در این تحقیق، برای نمونه‌گیری‌های منفرد آزمایش‌های بتن تازه به صورت مجزا برای قسمت‌های ۱۵ درصد ابتدایی حجم بتن موجود در کامیون حمل بتن (ابتدای بار)، پس از تخلیه حدود ۵۰ درصد از بتن (وسط بار) و بعد از تخلیه ۸۵ درصد از حجم بتن (نتهای بار) انجام شد. بدین ترتیب، روانی بتن به روش اسلامپ مطابق استاندارد ملی شماره ۲-۳۲۰۳ [۴] انجام شد. همچنین، دمای بتن تازه مطابق با استاندارد ملی شماره ۱۱۲۶۸ [۵] با دماسنج میله‌ای دیجیتال با دقت ۰/۱ درجه سلسیوس اندازه‌گیری شد. لازم به ذکر است که در برخی موارد، به دلیل موانع اجرایی در پروژه، امکان ثبت دمای بتن تازه وجود نداشت.

برای اندازه‌گیری مقاومت فشاری نمونه‌گیری‌های منفرد و مرکب، مطابق استاندارد ملی شماره ۱۶۰۸-۳ [۶]، سه عدد آزمونه مکعبی ۱۵۰ میلی‌متری برای سن ۲۸ روز عمل‌آوری استاندارد در آب و آهک اشبع با دمای ۲۳ درجه سلسیوس، درنظرگرفته شد. در تمام نمونه‌گیری‌ها از قالب‌های پلاستیکی یک تکه با رواداری ناهمواری و ناگونی‌ای قابل قبول مطابق با رواداری‌های استاندارد ملی شماره ۱-۱۶۰۸ [۷] استفاده شد تا تأثیر منفی کیفیت نازل قالب بر مقاومت فشاری کمتر گردد [۸]. همچنین برای برقراری شرایط یکسان در آزمایش مقاومت فشاری، از یک جک بتن شکن با سرعت بارگذاری ثابت برای انجام آزمایش مقاومت فشاری آزمونه‌ها استفاده شد.

۴. نتایج

نتایج به دست آمده خواص بتن تازه از نظر اسلامپ و دمای بتن بر اساس رده‌های مقاومتی C25، C30 و C35 در جدول ۱ گزارش شده است. اختلاف دمای بتن تازه و

جدول ۲- نتایج دما و اسلامپ برداشت‌های بتن در نمونه‌گیری منفرد

درصد تفاوت اسلامپ*	مقدار تفاوت دما*	دماهی بتن تازه (درجه سلسیوس)			اسلامپ (سانتی‌متر)			موقعیت پروژه	شماره	ردیف مقاومتی
		ابتداي	وسط	انتهاي	ابتداي	وسط	انتهاي			
بار	بار	بار	بار	بار	بار	بار	بار			
۳۱	۱/۳	۳۴	۳۲/۸	۳۲/۷	۹	۱۱	۱۳	رشیدی جهان	۱	
۱۰	-	-	-	-	۹	۱۰	۱۰	قزوین	۲	
۱۰	۰/۴	۳۱/۷	۳۱/۳	۳۱/۳	۱۸	۱۹	۲۰	کریم خان	۳	C25
۱۰	۲	۲۹/۳	۳۰/۷	۳۱/۳	۱۹	۲۰	۲۱	یافت آباد	۴	
۲۹	۰/۵	۳۴/۳	۳۴/۲	۳۳/۸	۱۲	۱۴	۱۷	یافت آباد	۵	
۵۰	-	-	-	-	۷	۹	۱۴	خیام	۱	
۲۲	-	-	-	-	۷	۸	۹	شهرک بروجردی	۲	
۱۳	۰/۵	۲۹/۶	۲۹/۳	۲۹/۱	۱۴	۱۵	۱۶	بیمارستان امام خمینی	۳	C30
۱۳	۰/۴	۳۵	۳۴/۳	۳۴/۶	۲۰	۲۱	۲۳	یوسف آباد	۴	
۲۸	۱/۲	۳۳/۲	۳۲/۲	۳۲	۱۳	۱۵	۱۸	مرزداران	۵	
۵	۰/۴	۳۲/۲	۳۲/۱	۳۱/۸	۱۹	۲۰	۲۰	سیمون بولیوار	۱	
۶	۰/۳	۳۰/۶	۳۰/۴	۳۰/۳	۱۷	۱۷	۱۸	سیمون بولیوار	۲	
۵	۰/۳	۳۱/۸	۳۱/۶	۳۱/۵	۱۹	۱۹	۲۰	سیمون بولیوار	۳	C35
۵	۰/۱	۳۰/۲	۳۰/۳	۳۰/۱	۲۰	۲۱	۲۱	سیمون بولیوار	۴	
۵	۰/۸	۳۲/۸	۳۲/۶	۳۲	۲۱	۲۲	۲۲	سیمون بولیوار	۵	

* منظور از تفاوت، مقدار تفاوت بین انتهای و ابتدای مخلوط بتن موجود در کامیون حمل بتن (معرف حدود ۱۵ درصد ابتدایی و انتهایی) است.

که در شکل ۲ نشان داده شده است. رابطه خطی به‌دست-آمده نشان‌دهنده اختلاف اندک بین نتایج مقاومت فشاری در حالت‌های منفرد و مرکب است. به‌طور کلی، نتایج مقاومت فشاری با درنظرگرفتن انحراف معیار نتایج نمونه منفرد تفاوت معناداری با حالت نمونه مرکب ندارد و بسیار ناچیز است. مطابق نتایج، حدود ۲۴ درصد نتایج مقاومت فشاری نمونه مرکب بیشتر از نمونه منفرد است.

نتایج مقاومت‌های فشاری ۲۸ روزه نمونه‌های مرکب و منفرد پروژه‌های مختلف در جدول ۳ گزارش شده است. با بررسی نتایج مقاومت فشاری نمونه‌های آزمایش شده و محاسبه میانگین آن‌ها، می‌توان اختلاف بین مقاومت فشاری نمونه‌های منفرد و مرکب را بدست آورد که در جدول ۳ نشان داده شده است. به منظور بررسی ارتباط بین نتایج مقاومت فشاری در حالت‌های نمونه‌گیری منفرد (FS) و مرکب (FT)، رابطه ریاضی بین آن‌ها به‌دست آمد

جدول ۳- نتایج مقاومت فشاری ۲۸ روزه تبدیل شده به استوانهای

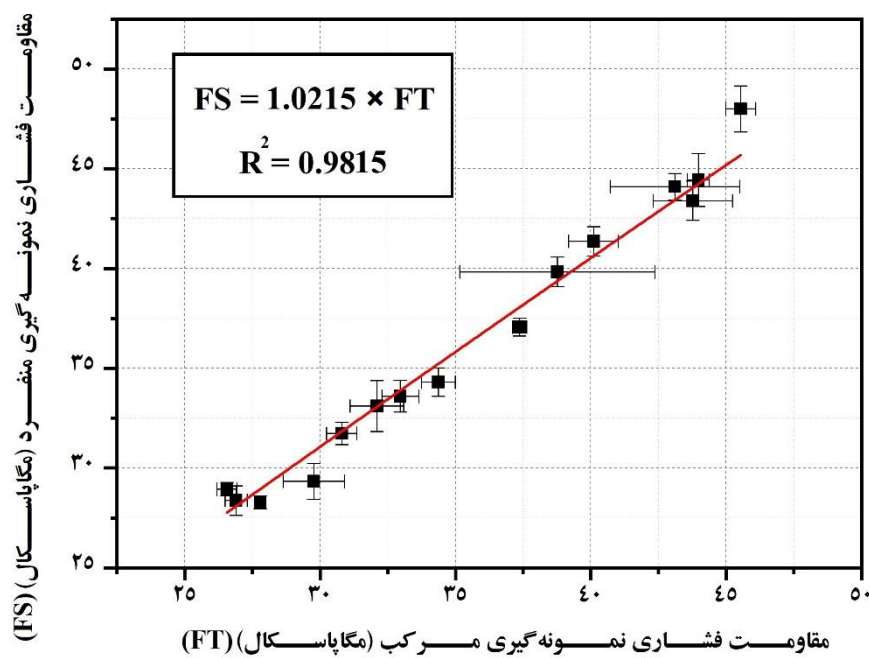
ردی مقاآمتی	شماره موقعیت پروژه	نمونه گیری منفرد از ۱۵ درصد	مقاومت فشاری		درصد تفاوت میانگین*	نمونه گیری مرکب از ترکیب برداشت ها (مگاپاسکال)	مقاومت فشاری	
			انحراف میانگین	میانگین آزمونه - آزمونه ها			انحراف معیار	ها
+ ۵/۴۵	۰/۴	۲۶/۹	۰/۷	۲۸/۴	۱	رشیدی جهان		
+ ۸/۹۱	۰/۴	۲۶/۶	۰/۳	۲۸/۹	۲	قروین		
+ ۱/۶۸	۰	۲۷/۸	۰/۳	۲۸/۳	۳	کریم خان	C25	
- ۱/۴۶	۱/۱	۲۹/۸	۰/۹	۲۹/۳	۴	یافت آباد		
+ ۱/۹۲	۰/۷	۳۳	۰/۸	۳۳/۶	۵	یافت آباد		
+ ۲/۷۵	۳/۶	۳۸/۸	۰/۷	۳۹/۸	۱	خیام		
- ۰/۸	۰/۳	۳۷/۴	۰/۴	۳۷/۱	۲	شهرک بروجردی		
+ ۳/۱۲	۱	۳۲/۱	۱/۳	۳۳/۱	۳	بیمارستان امام خمینی	C30	
+ ۳/۰۳	۰/۶	۳۰/۸	۰/۶	۳۱/۷	۴	یوسف آباد		
- ۰/۱۹	۰/۶	۳۴/۴	۰/۷	۳۴/۳	۵	مرزداران		
+ ۳/۱۶	۰/۹	۴۰/۱	۰/۷	۴۱/۴	۱	سیمون بولیوار		
+ ۵/۴۲	۰/۶	۴۵/۵	۱/۲	۴۸	۲	سیمون بولیوار		
+ ۱/۰۶	۰/۴	۴۴	۱/۳	۴۴/۴	۳	سیمون بولیوار	C35	
- ۰/۸۴	۱/۵	۴۳/۸	۱	۴۳/۴	۴	سیمون بولیوار		
+ ۲/۳۲	۲/۴	۴۳/۱	۰/۷	۴۴/۱	۵	سیمون بولیوار		

* منظور از تفاوت، درصد نتایج مقاومت فشاری نمونه منفرد نسبت به مرکب است.

** علامت های + و - به ترتیب نشان دهنده افزایش یا کاهش می باشد.

نتایج نشان می دهد که برای کنترل کیفیت توسط بررسی ضوابط پذیرش توسط دستگاه نظارت، نمونه گیری مرکب انجام پذیرد.

نتایج نشان می دهد که برای کنترل کیفیت توسط تولیدکننده می توان به جای نمونه گیری مرکب از منفرد استفاده کرد. لازم به ذکر است که در هر صورت باید برای



شکل ۲- رابطه بین نتایج مقاومت فشاری آزمونهای نمونه‌گیری منفرد و مرکب

صورت اطمینان از حفظ یکنواختی نسبی بار در کل کامیون حمل بتن اجرا کرد.

- دستگاه نظارت و نماینده تولیدکننده بتن باید در مورد مقررات نمونه‌گیری منفرد و مرکب و موارد استفاده از آن آگاه باشند. مطابق نتایج به دست آمده، به منظور کنترل کیفیت توسط تولید کننده می‌توان به جای نمونه‌گیری مرکب از منفرد استفاده کرد که باعث ایجاد سهولت در بتن‌ریزی و جلوگیری از ایجاد وقفه‌های طولانی در روند بتن‌ریزی می‌شود. لازم به ذکر است که در هر صورت باید برای بررسی ضوابط پذیرش توسط دستگاه نظارت، نمونه‌گیری مرکب انجام پذیرد. نمونه‌گیری مرکب که جزوی از حقوق مصروف کننده است، می‌تواند عاملی برای کنترل یکنواختی مخلوط بتن در کامیون حمل بتن و عدم اضافه کردن آب اضافی به مخلوط بتن باشد.

۵. جمع‌بندی و نتیجه‌گیری

- دمای بتن در ابتداء و انتهای حجم بتن در حال تخلیه از کامیون حمل بتن تفاوت چندانی نداشته و به طور میانگین ۴۰ درجه سلسیوس اختلاف دارد. اسلامپ بتن به عنوان شاخص روانی، در حین بتن‌ریزی تغییراتی با میانگین کاهش ۱۶ درصدی دارد که دلیل آن می‌تواند طولانی شدن مدت زمان بتن‌ریزی، درمعرض آفتاد قرار گرفتن بیشتر و نزدیکی به موتور عقب کامیون حمل بتن انتهای بار نسبت به ابتدای بار باشد.

- با بررسی میانگین نتایج مقاومت فشاری آزمونهای نمونه‌گیری مرکب و منفرد، می‌توان مشاهده کرد که اختلاف مقاومت فشاری عدد ناچیزی است. بنابراین به نظر می‌رسد که استفاده از نمونه‌گیری منفرد را می‌توان در

۵. قدردانی

نویسنده‌ان این مقاله مراتب سپاس خود نسبت به حمایت‌های مرکز تحقیقات راه، مسکن و شهرسازی و شرکت توییدکننده بتن آماده فهاب بتن اعلام می‌دارند.

٦. مراجع

- [۱] استاندارد ملی ایران، شماره ۴۴، ۶۰ (۱۳۹۷) "بتن آمده- ویژگی ها"، کمیته ملی استاندارد مهندسی ساختمان و مصالح و فرآورده های ساختمانی.

[۲] استاندارد ملی ایران، شماره ۱-۳۲۰۱، (۱۳۹۱) "روش نمونه برداری از بتن تازه"، کمیته ملی استاندارد مهندسی ساختمان و مصالح و فرآورده های ساختمانی.

[۳] سازمان برنامه و بودجه کشور، آیین نامه بتن ایران، (۱۴۰۰) "جلد دوم- مصالح و اجراء"، ضابطه شماره ۱۲-۲.

[۴] استاندارد ملی ایران، شماره ۲-۳۲۰۳، (۱۳۸۶) "بتن تازه- تعیین روانی به روش اسلامپ- روش آزمون"، کمیته ملی استاندارد مهندسی ساختمان و مصالح و فرآورده های ساختمانی.

[۵] استاندارد ملی ایران، شماره ۱۱۲۶۸، (۱۳۸۷) "بتن- تعیین دمای بتن حاوی سیمان هیدرولیکی تازه مخلوط شده- روش آزمون"، کمیته ملی استاندارد مهندسی ساختمان و مصالح و فرآورده های ساختمانی.

[۶] استاندارد ملی ایران، شماره ۳-۱۶۰۸، (۱۳۹۳) "تعیین مقاومت فشاری آزمونهای روش آزمون"، کمیته ملی استاندارد مهندسی ساختمان و مصالح و فرآورده های ساختمانی.

[۷] استاندارد ملی ایران، شماره ۸-۱۶۰۸، (۱۳۹۳) "شكل، ابعاد و سایر الزامات قالب و آزمونهای روش آزمون"، کمیته ملی استاندارد مهندسی ساختمان و مصالح و فرآورده های ساختمانی.

[۸] ذوالقدری. ع و همکاران، (۱۳۹۸) "بررسی تأثیر کیفیت قالب مکعبی $150 \times 150 \times 150$ میلی متر بر نتایج مقاومت فشاری بتن"، یاردهمین کنفرانس ملی بتن، مرکز تحقیقات راه، مسکن و شهرسازی.

بررسی آزمایشگاهی تعیین ملات ماسه-سیمان بهینه به منظور تزریق درون بالاست راه آهن به روش پیش آکنده



محسن تدین

استادیار دانشکده مهندسی عمران
دانشگاه بولوی سینا، همدان
بازرس انجمان بتن ایران



مرتضی اسمعیلی

استاد دانشکده مهندسی راه آهن
دانشگاه علم و صنعت ایران، تهران



میلاد حسین اصفهانی

دانشجوی دکتری مهندسی راه آهن
دانشگاه علم و صنعت ایران، تهران
عضو انجمن بتن ایران

چکیده

بتن پیش آکنده به بتنه اطلاق می گردد که مصالح درشت دانه از قبل درون قالب بتنه جایگذاری شده و ملات ماسه-سیمان با فشار از پایین نمونه به داخل مجموعه اضافه می گردد. به منظور بررسی رفتار مکانیکی این بتن، لازم است ابتدا رفتار مکانیکی ملات این بتن از طریق استانداردها و روش های آزمایش موجود در آیین نامه های معتبر مورد سنجش و ارزیابی قرار گیرد. از آنجا که در ادبیات موضوع، رفتار این ملات برای کاربرد در مهندسی راه آهن بطور دقیق تبیین نشده است، در پژوهش حاضر سعی شده است تا بهره گیری از پارامترهای موردنیاز برای کاربرد این بتن در زیرسازی راه آهن و تبدیل برجای خط بالاستی به داخل ملات بهینه از منظر دستیابی به مقاومت فشاری بیشتر، زمان گیرش کمتر به دلیل احتراز از زمان زیاد مسدودی خط و تزریق پذیر بودن این ملات از طریق وسایل متداول تزریق، مقایسه و تعیین گردد. در این راستا، در مقاله حاضر با تعریف روش تحقیق و مصالح موردنیاز، آزمایشات انجام گرفته بر روی ۱۰۰۰ نمونه ملات با طرح های مختلف مخلوط از جمله زمان روانی، مقاومت فشاری، مقاومت خمشی، زمان گیرش به تفصیل مورد بررسی قرار گرفته است و با تحلیل آماری انجام شده در هر بخش، تأثیر هریک از پارامترها بر روی آنها مشخص گردیده است. در انتها با بهینه یابی چندعاملی و با ارائه رابطه غیرخطی، طرح مخلوط بهینه ملات و همچنین پیش بینی مقاومت ملات در حضور پارامترهای مختلف توسعه داده شده است.

کلمات کلیدی: بتن پیش آکنده، ملات، دالخط، بهینه یابی

۱- مقدمه

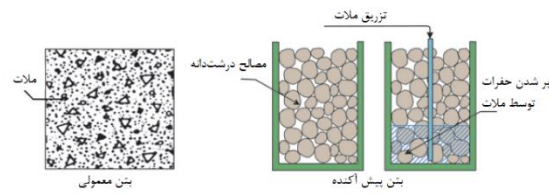
روش در بتنه ریزی های حجیم مثل ساخت سدها، پایه پل ها و ... استفاده می شود، همچنین برای تعمیر سازه های بتنه که قسمتی از آنها تخریب شده از این روش استفاده می گردد. یکی دیگر از موارد استفاده این روش در تبدیل خطوط بالاستی به دالخط می باشد، چرا که در خطوط ریلی

بتن پیش آکنده^۱ به بتنه اطلاق می شود که ابتدا سنگدانه در محل بتنه ریزی جاگذاری می شود و سپس با تزریق دوغاب یا ملات با فشار هوا، ملات به درون فضای خالی بین سنگدانه ها رفته و تبدیل به بتن پیش آکنده می شود. از این

مزیت‌های ویژه‌ای باشد. از آنجا که جزئیات فنی و روش‌های اجرائی این روش در ادبیات فنی به‌طور کامل تبیین نشده است، لذا انجام بررسی‌های آزمایشگاهی جهت اس تخرّج دانش فنی مربوطه مطابق با شرایط خطوط راه‌آهن جمهوری اسلامی ایران الزامی به‌نظر می‌رسد. علاوه بر این مسائل، به دلیل اجرای این روش در خطوط بالاستی موجود، دستیابی به حداقل مقاومت کوتاه‌مدت از اهمیت ویژه‌ای برخوردار است. از این رو، استفاده از افزودنی‌های بتن، جزء اجتناب‌ناپذیر در طرح مخلوط این نوع بتن است. در همین راستا، در پژوهش حاضر از سه نوع افزودنی به منظور دستیابی توانمندی به حداقل زمان روانی ملات و حداقل مقاومت فشاری بهره‌گیری شده است.

به منظور بررسی رفتار بتن پیش‌آکنده، در ابتدا لازم است طرح مخلوط ملات آن مورد ارزیابی قرار گیرد. در این راستا، مروری بر ادبیات فنی در حوزه ملات بتن پیش‌آکنده ضروری می‌باشد. عبدالقدار و همکاران در پژوهشی به بررسی ملات مناسب با افزودنی‌های مختلف برای روانی و مقاومت مطلوب بتن پیش‌آکنده می‌باشد [۱]. برای انجام این پژوهش از ماسه طبیعی ساحلی معدن Zlietn (واقع در ۱۵۰ کیلومتری شرق شهر Tripoli کشور لیبی) استفاده شده با وزن مخصوص این ماسه ۲.۶۳ تن بر مترمکعب و حداقل اندازه ۱.۱۸ میلی‌متر استفاده شده است. همچنین برای ساخت نمونه‌های بتنی از دو نوع افزودنی فوق‌روان‌کننده نفتالن فرم‌آلهید با نام تجاری Sikament بهمیزان ۲ درصد وزنی سیمان و منبسط‌کننده Intraplast پودری شکل برپایه آلومینیوم با نام تجاری Z استفاده شده است. چسباننده بتن در این پژوهش نیز سیمان پرتلند تیپ I معمولی با مقاومت ۲۸ روزه ۴۱ مگاپاسکال و ریزی ۳۵۰۰ سانتی‌متر مربع بر گرم می‌باشد. برای ساخت نمونه‌های بتنی از قالب‌های استوانه‌ای به قطر ۱۵ و ارتفاع ۳۰ سانتی‌متر جهت انجام تست مقاومت

بالاستی مرحله اولیه این روش که همان جاگذاری سنگدانه هاست انجام شده و فقط با عملیات تزریق می‌توان این خطوط را به دالخیط تبدیل کرد. شما می‌کنی از تفاوت بین بتن معمول و بتن پیش‌آکنده در شکل ۱ ارائه شده است.



شکل ۱- تفاوت بتن معمولی و بتن پیش‌آکنده
جهت سیر ایمن ناوگان در خطوط ریلی، این خطوط همواره باید طی عملیات تعمیر و نگهداری مورد بررسی قرار گیرند تا از سالم بودن اجزای روسازی و زیرسازی خطوط ریلی اطمینان حاصل شود. این امر به وسیله بازدیدهای روزانه‌ی مأمورین خط صورت گرفته و در صورت بروز مشکل در اجزای خط با استی عملیات تعمیر صورت گیرد. به عنوان یک اصل کلی، عملیات تعمیر و نگهداری در خطوط ریلی بالاستی از اهمیت بیشتری نسبت خطوط بدون بالاست برخوردار است، چرا که این خطوط به سبب غیر صلب بودن، مستعد تجاوز از پارامترهای هندسی خط همچون نشستهای نامتقارن، پیچش و اعوجاج هستند. بنابراین بخش مهمی از هزینه چرخه عمر خطوط ریلی بالاستی صرف تعمیر و نگهداری این نوع خطوط می‌شود. از طرفی افزایش ترافیک عبوری و زمان سیر قطارها در بعضی خطوط باعث به وجود آمدن مشکلاتی مثل نبود زمان کافی برای تعمیرات جزئی و عدم امکان مسدودی خط برای زمان طولانی جهت بهسازی و نوسازی خطوط بالاستی می‌شود. به دلیل حجم بالای ترافیک عبوری، مسدودی خط حتی در یک روز باعث خسارات قابل توجه مادی و نارضایتی مسافران این مسیرها خواهد شد. تمام این عوامل باعث شده که ساخت خطوط ریلی بدون بالاست توجیه فنی و اقتصادی پیدا کرده و در خطوطی که دارای ترافیک دائمی می‌باشند استفاده از سیستم‌های بدون بالاست دارای

در جدول ۱- طرح‌های مخلوط مختلف ملات برای ساخت بتن، روانی‌های نظیر آنها و مقاومت فشاری نمونه‌های بتنی ساخته شده ارائه شده است.

فشاری استفاده شده است. پس از ساخت نمونه‌ها، آنها به مدت ۷ روز داخل حوضچه آب نگهداری شدند و پس از آن تا رسیدن به سن ۲۸ روز، در محیط آزمایشگاه قرار گرفتند.

جدول ۱- مقاومت فشاری ۲۸ روزه بتن

مقادیم فشاری از رابطه ۱ (MPa)	مقادیم فشاری اسمی (MPa)	نوع افزودنی	c/s	w/c
۱۳/۱۶	۱۵/۵۹	فوق روان کننده	۱/۰/۵	۰/۳۸
۳۲/۱۷	۱۷/۳۹		۱/۱	
۵۵/۱۸	۱۸/۵۳		۱/۱/۵	
۳۱/۱۵	۱۵/۲۶		۱/۰/۵	
۶۳/۱۶	۱۶/۵۴		۱/۱	
۹۴/۱۷	۱۸/۰۱		۱/۱/۵	
۵۵/۱۸	۱۸/۶۸		۱/۰/۵	
۴۹/۱۹	۱۸/۹۶		۱/۱	
۴۳/۲۰	۱۹/۴۷		۱/۱/۵	
۸۸/۱۵	۱۵/۶۵		۱/۰/۵	
۷۴/۱۷	۱۷/۵۷		۱/۱	
۵۸/۱۹	۲۰/۴۹		۱/۱/۵	
۲۸/۱۸	۱۸/۱۹	فوق روان کننده	۱/۰/۵	۰/۵۵
۴۹/۱۹	۱۹/۴۹		۱/۱	
۷۰/۲۰	۲۰/۵۹		۱/۱/۵	
۷۷/۱۶	۱۶/۵۶		۱/۰/۵	
۱۰/۱۸	۱۸/۰۱	منبسط کننده	۱/۱	
۴۰/۱۹	۱۹/۶۷		۱/۱/۵	
۸۹/۱۹	۱۹/۰۶		۱/۰/۵	
۸۳/۲۰	۱۹/۷۵	منبسط کننده + بدون افزودنی	۱/۱	
۷۶/۲۱	۲۲/۷۲		۱/۱/۵	
۴/۱۳	۱۳/۶۹		۱/۰/۵	
۸۹/۱۴	۱۵/۰۷	بدون افزودنی	۱/۱	
۷۴/۱۶	۱۶/۰۱		۱/۱/۵	
۳۱/۱۴	۱۴/۳۹		۱/۰/۵	
۵۲/۱۵	۱۵/۷۹	فوق روان کننده	۱/۱	۰/۸
۷۳/۱۶	۱۶/۳۱		۱/۱/۵	
۷۸/۱۶	۱۷/۰۶		۱/۰/۵	
۹/۱۸	۱۸/۰۸		۱/۱	
۴۱/۱۹	۱۹/۱۰	منبسط کننده	۱/۱/۵	
۹۴/۱۷	۱۸/۱۶		۱/۰/۵	
۸۸/۱۸	۱۸/۷۵		۱/۱	
۸۲/۱۹	۱۹/۳۷	منبسط کننده + بدون افزودنی	۱/۱/۵	

زیر را برای مقاومت فشاری نمونه‌های ساخته شده بر حسب مگاپاسکال تعیین داده است.

$$f'_c = A + B\left(\frac{W}{C}\right) + C\left(\frac{W}{C}\right)^D + E\left(\frac{C}{S}\right) \quad (1)$$

که در رابطه بالا، f'_c مقاومت فشاری بتن بر حسب مگاپاسکال، W/C نسبت آب به سیمان و C/S ، نسبت سیمان به ماسه طرح می‌باشد. ثوابت رابطه فوق، در شرایط افزودنی‌های مختلف متفاوت می‌باشد که هریک به تفکیک در جدول ۱ آورده شده است.

از بررسی نتایج ارائه شده می‌توان دریافت که هردو پارامتر W/C (نسبت آب به سیمان) و C/S (نسبت سیمان به ماسه) در ساخت نمونه‌های بتونی حائز اهمیت است چون روانی را تحت تأثیر قرار می‌دهد. همچنین ملاحظه می‌گردد که مقاومت فشاری نمونه‌های بدون فوق روان‌کننده کمتر از نمونه‌های دارای فوق روان‌کننده می‌باشد. با بررسی بیشتر این نتایج می‌توان دریافت که با افزایش میزان روانی، مقاومت نظیر آن افزایش نمی‌یابد. به منظور دستیابی به مقاومت‌هایی با نسبت‌های دیگر W/C و C/S ، نویسنده رابطه

جدول ۱- ثابت‌های رابطه ۱

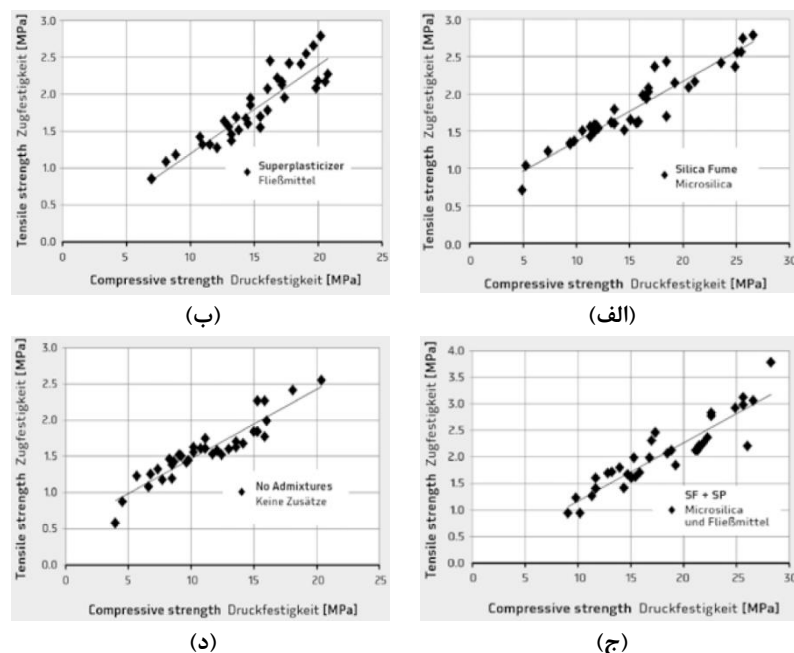
ضریب تصحیح	E	D	C	B	A	نوع افزودنی
۰/۸۸۳	۳/۷۰	-۱/۷۹	۳/۹۶	۱۱/۲۰	-۳/۶۷	بدون افزودنی
۰/۹۴۴	۲/۴۲	-۱/۶۸	-۳/۲۷	-۳۲/۵۵	۴۳/۹۰	فوق روان کننده
۰/۸۹۱	۲/۶۳	۰/۴۷	۶۸/۴۵	-۳۹/۸۳	-۱۴/۳۱	منبسط کننده
۰/۶۶۰	۱/۸۸	۰/۵۲	۱۲۶/۷۵	-۸۷/۷۰	-۲۵/۷۰	فوق روان کننده + منبسط کننده

۱/۶۶، عدد سایش آن ۲۳/۸۱ درصد و جذب آب ۲۶۸ درصد می‌باشد. همچنین از ماسه ساحلی با وزن مخصوص ۲/۶۸ و حداکثر اندازه ۲ میلی‌متر به عنوان مصالح ریزدانه استفاده شده است. از آب معمولی موجود در آزمایشگاه و سیمان پرتلند تیپ I که استانداردهای موجود در [۴] را داراست، بعنوان اجزای اصلی ایجاد چسبندگی ملات بهره گرفته شد. همچنین از فوق روان‌کننده بر پایه‌ی Viscocrete به عنوان افزودنی شیمیایی که تشکیل شده از زنجیره‌های نفتالن فرمالدھید می‌باشد، به میزان ۲ درصد وزنی سیمان استفاده شد. در این راستا به منظور کسب مقاومت بیشتر، از میکرو میکروسیلیس با سطح ویژه ۲۰۰۰۰ مترمربع در هر کیلوگرم و خلوص ۹۷ درصد، به عنوان افزودنی معدنی به میزان ۶ درصد وزنی سیمان در ملات استفاده گردید. اهم نتایج ملات ساخته شده در شکل ۲۲ نمایش داده شده است.

با بررسی نتایج فوق می‌توان دریافت که استفاده از منبسط‌کننده، مقاومت فشاری را به میزان قابل توجهی افزایش می‌دهد. دلیل این امر، انبساط ملات در واحد حجم خود و درنتیجه چسبیدن بهتر به ذرات درشت‌دانه می‌باشد. منبسط‌کننده به خودی خود موجب کاهش آب‌انداختگی و نشست ملات می‌گردد و روانی ملات را بهبود می‌بخشد. در پژوهش دیگری عبدالقدار و همکاران تلاش نمودند تا تأثیر فوق روان‌کننده و میکروسیلیس بر مقاومت بتن پیش‌آکنده را در نسبت‌های W/C و C/S می‌خواهند مختلف ارزیابی کنند در همین راستا، نمونه‌های استوانه‌ای به قطر ۱۵ و ارتفاع ۳۰ سانتی‌متر جهت آزمایش مقاومت فشاری و کششی مورد ارزیابی قرار گرفتند. برای ارزیابی مقاومت فشاری نمونه‌های استوانه‌ای مطابق [۲] و برای ارزیابی مقاومت کششی نمونه‌های استوانه‌ای مطابق [۳] رفتار شده است. در این پژوهش از سنگدانه آهکی دولومیتی شکسته به عنوان مصالح درشت‌دانه استفاده شد. وزن مخصوص این سنگدانه

خود قرار گیرد. همچنین می‌توان نتیجه گرفت با افزایش سن نمونه‌های بتونی، مقاومت فشاری بتن به صورت تدریجی افزایش خواهد یافت. مطابق مقاومت فشاری، نسبت‌های آب به سیمان پایین، مقاومت کششی بیشتری را بدست می‌دهند. استفاده‌ی توأم‌ان از فوق‌روان‌کننده و میکروسیلیس، افزایش مقاومت بیشتری را نسبت به استفاده جدأگانه هرکدام دارد و در صورت عدم استفاده از افزودنی، کمترین مقاومت کششی بدست خواهد آمد. به طور متوسط می‌توان نتیجه گرفت که با افزایش میزان ماسه، مقاومت کششی نمونه‌های بتونی کاهش خواهد یافت.

با توجه به نتایج بدست آمده می‌توان دریافت که در $w/c=0.45$ بیشترین مقاومت در مقایسه با نسبت‌های بالاتر اخذ شده است. لذا همانطور که انتظار می‌رود، افزایش نسبت آب به سیمان، کاهش در مقاومت را به همراه دارد. همچنین استفاده‌ی توأم‌ان از فوق‌روان‌کننده و میکروسیلیس، افزایش مقاومت بیشتری را نسبت به استفاده جدأگانه هرکدام دارد. شایان ذکر است که عدم استفاده از افزودنی، کمترین مقاومت را به همراه داشته است. افزایش تدریجی میزان ماسه، مقاومت فشاری نظریر هر سن را کاهش می‌دهد. لذا انتظار می‌رود بیشترین مقاومت زمانی بدست آید که نسبت s/c در حداقل مقدار



شکل ۲- نمودار مقاومت کششی هر نمونه در مقابل مقاومت فشاری نظریر آن (الف) در حضور میکروسیلیس (ب) در حضور فوق‌روان‌کننده (ج) در حضور توأم‌ان میکروسیلیس و فوق‌روان‌کننده (د) بدون حضور افزودنی

در یک تحقیق دیگر، بکارگیری اولترامیکسر^۱‌هایی با سرعت ۳۰۰۰ دور در دقیقه برای ساخت ملات‌هایی در حضور افزودنی‌های مختلف استفاده شده است. برای ساخت ملات از سیمان پرتلند ۴۲۵-I به عنوان چسباننده استفاده شد. صالح ریزدانه از معدن Borowiec (واقع

در یک تحقیق دیگر، بکارگیری اولترامیکسر^۱‌هایی با سرعت ۳۰۰۰ دور در دقیقه برای اختلاط بهتر صالح و دستیابی به ملاتی با کیفیت و یکنواخت بکار گرفته شد [۵]. برای این پژوهش از یک میکسر معمولی با سرعت چرخش ۱۴۰ دور در

استفاده شد. نتایج نشان می‌دهد که اثر افزودنی تابع نوع و میزان استفاده از آن است. در حضور میکروسیلیس، اثر هر دو نوع فوق روان کننده مثبت بوده و در نسبت $c/s = 1$ ، میزان آب‌انداختگی بین ۱ تا ۳ درصد اندازه‌گیری شده است. نتایج آزمایش‌ها نشان می‌دهد که استفاده از Viscocrete روانی مطلوب‌تری را نسبت به Chrysofluid بدست می‌دهد. در جدول ۲ روانی، آب‌انداختگی و مقاومت فشاری ملات نظیر هر طرح مخلوط در حضور افزودنی‌های مختلف ارائه شده است.

در نزدیکی شهر Gdansk (کشور لهستان) لستخراج گردید و پیش از انجام آزمایش شسته شد و سطح آن تمیز گردید. از میکروسیلیس به میزان ۶ درصد و خاکستر بادی به میزان ۱۰ درصد وزنی سیمان استفاده شد. از سه نوع فوق روان کننده Chrysofluid Optima و Muraplast FK، Viscocrete 3 هر کدام به میزان ۷۰ درصد وزنی سیمان به منظور دستیابی به سیالیت مطلوب بهره گرفته شد. برای ساختن نمونه‌های بتونی جهت آزمایش مقاومت فشاری از مکعب‌های به ضلع ۲۰ سانتی‌متر

جدول ۲- نتایج روانی، آب‌انداختگی و مقاومت فشاری ملات‌های ساخته شده با میکسر معمولی

مقاومت فشاری ملات (MPa)	روانی (cm)	آب‌انداختگی (%)	نوع و میزان افزودنی	c/s	w/c	کد
۵۶/۸	۲۵	۳/۹	Chrysofluid + ۱۰٪ میکروسیلیس	۰/۴۵	۱/۱	۱
۵۱/۵	۲۶	۴/۴	Chrysofluid + ۱۵٪ میکروسیلیس			۲
۴۷/۴	۲۴	۵	Chrysofluid + ۲۰٪ میکروسیلیس			۳
۴۶	۲۵	۴/۴	Chrysofluid + ۲۵٪ میکروسیلیس			۴
-	۳۳	۵/۶	Viscocrete + ۱۰٪ میکروسیلیس			۵
-	۳۱	۷/۲	Viscocrete + ۱۵٪ میکروسیلیس			۶
-	-	۳/۹	Viscocrete + ۲۰٪ میکروسیلیس			۷
-	-	-	Viscocrete + ۲۵٪ میکروسیلیس			۸
۷۳/۱	۲۰	۱/۱	Viscocrete ۷/۰٪ + میکروسیلیس			۹
۷۳/۳	۲۶	.	Viscocrete ۱٪ + میکروسیلیس			۱۰
۴۵/۳	۱۹	.	Chrysofluid ۷/۰٪ + خاکستر بادی			۱۱
۵۹/۹	۲۳	۴/۴	Chrysofluid ۱٪ + خاکستر بادی			۱۲

درصدی فوق روان کننده Chrysofluid، روانی به میزان ۳۰ درصد افزایش می‌یابد. لذا استفاده از Viscocrete در ساخت نمونه‌های بتونی پیش‌آکننده توصیه می‌گردد. در صورت استفاده از اولترامیکسر، می‌توان به نتایج بهتری در خصوص ویژگی‌های ملات تازه دست یافت. برای انجام آزمایش در حضور این میکسر، از روان کننده Betoplast نیز استفاده شده است. جدول ۳ نشان دهنده این نتایج می‌باشد.

از جدول بالا می‌توان نتیجه گرفت که افزودن میکروسیلیس، تأثیر بهتری در افزایش مقاومت فشاری ملات نسبت به خاکستر بادی دارد. همچنین در نسبت‌های آب به سیمان زیر ۰/۴، روانی ملات معمولاً از ۲۰ سانتی‌متر تجاوز نمی‌کند. در هر طرحی که اندکی روانی آن افزایش یافته است، آب‌انداختگی و افت مقاومت شدیدی دیده می‌شود. در صورت افزایش ۱ درصدی فوق روان کننده Viscocrete ۱، روانی به میزان ۴۰ درصد در صورت افزایش ۱

جدول ۳- نتایج روانی، آب انداختگی و مقاومت فشاری ملات های ساخته شده با اولترامیکسر

مقاومت فشاری ملات (MPa)	روانی (cm)	آب انداختگی (%)	نوع و میزان افزودنی	c/s	w/c	کد
۵۰/۳	۲۰/۶	۱/۲۳	Betoplast ۲٪.	۱/۱	۰/۴	۱
۵۹/۲	۲۲	۰	Chrysofluid + خاکستر بادی			۲
۵۳/۹	۲۷	۵	Viscocrete + خاکستر بادی			۳
۷۳/۳	۲۶	۰	Viscocrete % ۱ + میکروسیلیس			۴
۴۴/۱	۲۷/۱	۱/۸	Betoplast ۲٪.		۰/۴۵	۵
۶۲	۲۸	۰	Viscocrete + میکروسیلیس			۶
۳۷/۵	۲۹/۳	۲/۸۳	Betoplast ۲٪.			۷
۳۸/۵	۲۵	۱/۱	Chtysofluid + میکروسیلیس		۰/۵	۸
۵۰	۲۸	۵	Viscocrete + میکروسیلیس			۹
۴۹/۱	۹.۴	۰/۴۵	Betoplast ۲٪.		۰/۴	۱۰
۶۴/۵	۲۵	۲/۸	Viscocrete + خاکستر بادی			۱۱
۴۲/۷	۲۰/۷	۱/۰۹	Betoplast ۲٪.			۱۲
۵۲	۲۵	۲/۲	Viscocrete + خاکستر بادی		۰/۴۵	۱۳
۵۹/۱	۲۱	۰	Viscocrete + میکروسیلیس			۱۴
۳۷/۵	۲۲	۲/۳	Betoplast ۲٪.		۰/۵	۱۵
۴۵/۲	۲۲	۱/۷	Chtysofluid + میکروسیلیس			۱۶
۴۶/۴	۲۵	۳/۳	Chrysofluid + خاکستر بادی			۱۷

خطوط ریلی بالاستی می باشد. برای تحقق این هدف، نزدیک به هزار نمونه فشاری و خمشی با طرح مخلوطهایی که در بندهای بعد ارائه خواهند شد، در آزمایشگاه ساخته شدند که نزدیک به ششصد عدد از آنها مورد تأیید واقع شدند. پارامترهای نسبت آب به سیمان، عیار سیمان، درصد استفاده میکروسیلیس، درصد استفاده منبسط- کننده به عنوان متغیرهای این آزمایش‌ها فرض شدند. میزان درصد مصرف بهینه فوق روان‌کننده برای هر طرح مخلوط، مقاومت فشاری نمونه‌های ملات در سه سن ۳، ۱ و ۲۸ روز، زمان گیرش و بهینه‌یابی غیرخطی برای هر طرح مخلوط به عنوان خروجی‌های موردنظر، اندازه گیری شدند. همچنین برای طرح مخلوطهای برتر به لحاظ کمترین زمان روانی و بیشترین مقاومت فشاری، زمان گیرش و تحلیل تصاویر SEM نیز انجام گرفت. برای انجام پروژه‌ی

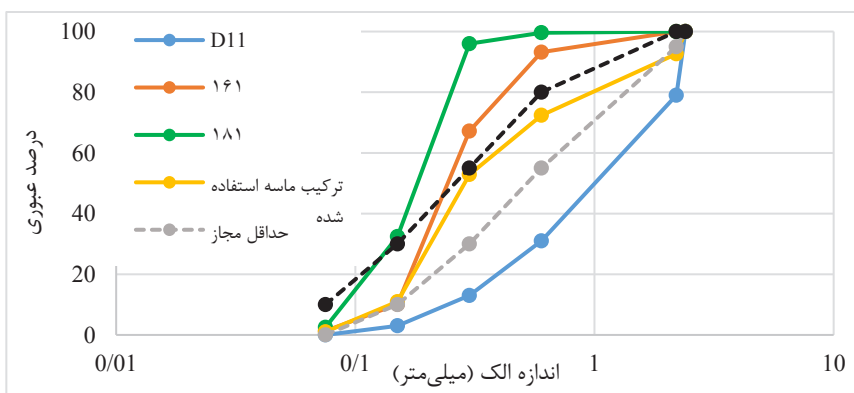
با مقایسه‌ی جدول‌های فوق می‌توان دریافت که در طرح مخلوطهای یکسان، مقاومت فشاری نمونه‌های ساخته شده با اولترامیکسر بیشتر از نمونه‌های ساخته شده با میکسر معمولی است. همچنین روانی نمونه‌هایی که با اولترامیکسر ساخته شده‌اند، کمی بهتر از نمونه‌های ساخته شده با میکسر معمولی می‌باشد. دلیل این امر را می‌توان اختلاط همگن‌تر و یکنواختی بیشتر ملات‌های ساخته شده با اولترامیکسر دانست اما در ابعاد وسیع، اثر استفاده از اولترامیکسر قابل اغماض می‌باشد.

۲- متدولوژی

هدف این بند، معرفی آزمایش‌های مربوط به ملات بتن پیش‌آکنده و نتایج حاصل از آنها به منظور معرفی برترین طرح مخلوط مطابق با مصالح موجود در کشور به لحاظ روانی کمتر و مقاومت فشاری بالاتر برای اجرای آن در

استفاده شده در پژوهش حاضر که محصول جانبی کارخانه فروسیلیسیم فروآلیاژ است، دارای ساختاری آمورف با وزن مخصوص $2/21$ تن بر متر مکعب، ریزی $200\text{ }\mu\text{m}$ مترمربع بر کیلوگرم و حداکثر اندازه $2/38$ میکرومتر می‌باشد که الزامات آیین‌نامه‌ای 234R ACI و $C1240$ [۸] از این‌نامه‌ای به منظور تأمین سطح مناسبی از روانی ملات برای تسهیل عملیات تزریق به کار گرفته شد. در این راستا در پژوهش حاضر، از فوق‌روان‌کننده زودگیر بر پایه پلی‌کربوکسیلات با وزن مخصوص $1/1$ کیلوگرم در مترمکعب و PH برابر با 7 استفاده گردید. منبسط‌کننده موجود در این پژوهش بر پایه‌ی آلمینیوم بوده و به منظور کاهش ناحیه انتقال بین خمیر و سندگانه با سازوکار افزایش حجم خمیر سیمان در واحد وزن استفاده شده است تا مسیر گسیختگی حدالامکان از داخل خمیر رد نشود.

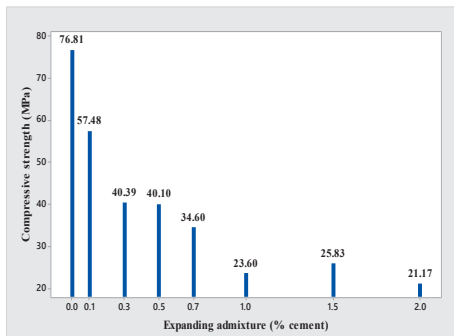
حاضر از سیمان پرتلند تیپ I-425 تهیه شده از کارخانه سیمان تهران که الزامات مربوط به استاندارد ASTM C150 [۴] را برآورده می‌کند، استفاده شده است. ماسه‌ی مورد استفاده در پژوهش حاضر از نوع ماسه سیلیسی کارخانه ماسه‌ی ریخته‌گری فیروزکوه می‌باشد. با توجه به وجود تنوع در دانه‌بندی ماسه‌ها، باید محدوده‌ای از ماسه‌ها اختیار گردد تا از حداقل و حداکثر محدوده‌ای دانه‌بندی توصیه شده در آیین‌نامه R.1 ACI 304 [۶] تجاوز نکند. به همین منظور، منحنی دانه‌بندی ماسه‌های تهیه شده، ترکیب ماسه‌ی اختیار شده و محدوده‌ی مجاز آیین‌نامه ACI در شکل ۳ ارائه شده است. ترکیب ماسه‌ی اختیار شده شامل 35 درصد ماسه D11، 50 درصد ماسه ۱۶۱ و 15 درصد ماسه 181 است تا دانه‌بندی این ترکیب در محدوده‌ی مجاز آیین‌نامه ACI قرار گیرد. همچنین در این پژوهش از آب معمولی شهری با PH برابر 7 و حداکثر درجه حرارت 23 درجه سانتی‌گراد مطابق با استاندارد ASTM D1193 [۷] استفاده شده است. میکروسیلیس



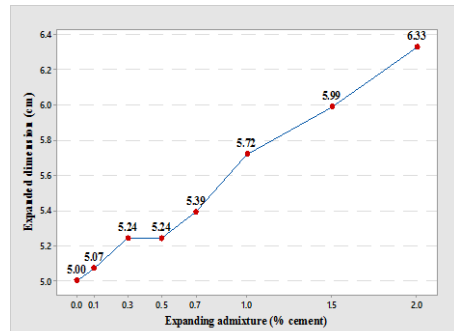
شکل ۳- منحنی دانه‌بندی ماسه‌های استفاده شده در این پژوهش

خطای انسانی، خرابی موقت دستگاه‌ها و غیره مردود شدند. اختلاط اجزای تشکیل دهنده‌ی ملات برای تهیه‌ی نمونه‌های فشاری مکعبی 5 سانتی‌متری و تیرهای خمشی $4*4*4$ سانتی‌متری با استفاده از دستورالعمل موجود در [۱۱] انجام شد و بعد از آن، مطابق توصیه‌های گفته شده در [۱۲] عمل‌آوری شدند بدیهی است که نتایج ارائه شده

در این پژوهش، حدود هزار نمونه فشاری و خمشی مطابق با استاندارد ASTM C183 [۱۰] با استفاده از رابطه‌ی حجم مطلق ملات طرح و نمونه‌برداری شدند که حدود ششصد عدد از آنها مورد تأیید بودند و مابقی به دلایلی از جمله عدم عمل‌آوری مناسب، شکستگی کامل یا لب-پریدگی آنها، عدم محاسبه‌ی درست طرح مخلوط به دلیل



(الف)



(ب)



(ج)

شکل ۴- اثر منبسط کننده: (الف) روند کاهشی مقاومت فشاری (ب) مقدار عددی بعد منبسط شده (ج) نمونه های سالم و منبسط شده

همانطور که از نمودارهای بالا پیداست، هرچه میزان مصرف منبسط کننده بالا می‌رود، مقاومت فشاری به اندازه‌ی زیادی کاهش می‌یابد. همچنین با توجه به درصد انبساط بعد منبسط شده و همچنین نگاهی به میزان مجاز مقدار انبساط در آیین‌نامه، واضح است که نباید بیشتر از $0/5$ درصد وزنی سیمان از این ماده استفاده کرد. به همین جهت، در ادامه برای ساخت نمونه‌های ملات، از صفر و $0/5$ درصد منبسط- کننده به ترتیب به دلیل دارا بودن بیشترین مقاومت فشاری و قرار داشتن در مرز میزان مجاز انبساط بهره‌گیری شده است.

مربوط به میانگین سه نمونه در هر سن و در هر طرح مخلوط مجزا می‌باشد. متغیرهای ساخت ملات با طرح مخلوطهای مختلف و میزان فرض شده‌ی آنها در جدول ۴ ارائه شده است.

جدول ۴- متغیرهای ساخت ملات و مقادیر آنها

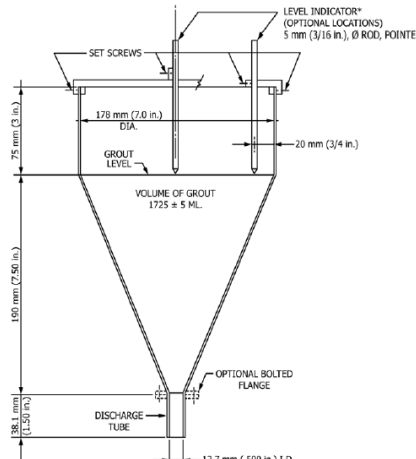
مقادیر آزمایش شده			متغیرها
۲۸	۳	۱	سن (روز)
$0/4$	$0/35$		نسبت آب به سیمان (W/C)
۸۵۰	۸۰۰	۷۵۰	عیار سیمان (kg/m^3)
۱۰	۷/۵	۵	میکروسیلیس (٪ وزنی سیمان)
$0/5$			منبسط کننده (٪ وزنی سیمان)

۳- نتیجه و بحث

۱-۳- تعیین میزان مصرف منبسط کننده

بعد انبساط یافته‌ی نمونه‌های ملات که در واقع بعد آزاد (بعد بدون محصور شدن) توسط قالب) می‌باشد، یک عامل مهم در تعیین میزان مصرف منبسط کننده است که مطابق با توصیه‌های [۱۳] اندازه‌گیری می‌گردد. در آیین‌نامه بتن ایران (آب)، میزان حداکثر بعد منبسط شده مجاز برابر با 5 درصد توصیه شده است. مقاومت فشاری نمونه‌های مکعبی نیز به عنوان عامل تأثیرگذار دیگر برای تعیین میزان مصرف منبسط کننده در نظر گرفته می‌شود زیرا برای اجرای این پروژه در خط راه‌آهن، حداکثر میزان مقاومت فشاری برای بتن به منظور تحمل هرچه بالاتر بار محوری عبوری قطار نیاز است. برای تحقق این هدف، از هشت درصد مصرف مختلف منبسط کننده در حالی استفاده شده است که سایر متغیرها ثابت مانده اند تا اثر منبسط کننده دیده شود. شکل ۴ مبین مقاومت فشاری و میزان انبساط بعد آزاد نمونه‌ها می‌باشد.

اگر پس از دو آزمایش متوالی مجدد، تفاوت زمان‌ها بیشتر از ۲/۴۹ ثانیه باشد، آزمایش غیرقابل قبول بوده و باید سنجش روانی را از ابتدا آغاز کرد. برای ملات بتن حجیم و بتن‌های زی رآب، زمان روانی^۱ از ۱۸ تا ۲۶ ثانیه می‌باشد. در بتن‌های پر مقاومت لین زمان ممکن است به ۳۵ تا ۴۰ ثانیه برسد. برای ملات‌هایی با ماسه‌های درشت‌تر از ۲/۵ میلی‌متر به جای استفاده از قیف، مخروط و میز رولانی (فلو) بکار برده می‌شود. شکل ۵، شکل شماتیک مخروط جریان را نمایش داده است [۱۴] و شکل ۶ نشان دهندهٔ مخروط روانی ساخته شده در آزمایشگاه می‌باشد.



شکل ۵- مخروط سنجش روانی استاندارد شده توسط ASTM C939



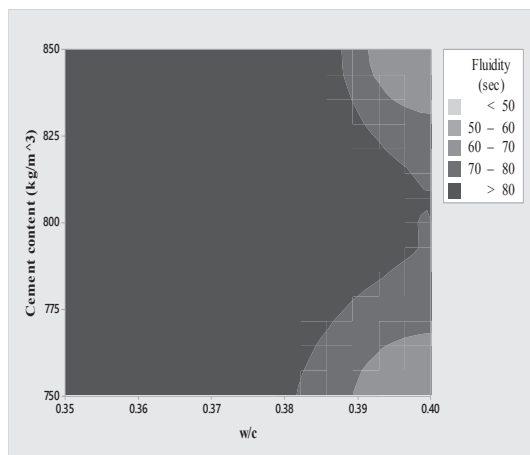
شکل ۶- مخروط سنجش روانی ساخته شده در آزمایشگاه

۲-۳- زمان روانی

توصیه‌ی استاندارد ASTM این است که معمولاً ملات تزریقی بلي د مثل يك خامه تازه در دمای معمولی باشد تا روان بوده و بهخوبی پمپ شود و در فضای خالی شن‌ها تزریق گردد. برای سنجش روانی ملات، استاندارد ASTM مخروط جریان از جنس استیل ضدزنگ، آلومینیوم cast شده یا هر ماده ضدزنگ دیگر را مطابق شکل زیر پیشنهاد کرده است که حداقل ظرفیت آن ۲۰۰۰ میلی‌لیتر می‌باشد. قطر دهانهٔ بالایی مخروط ۱۷۸ میلی‌متر و قطر دهانهٔ پایینی آن ۱۲/۷ میلی‌متر و ارتفاع کلی ۳۰۳/۱ میلی‌متر می‌باشد. این مخروط دارای دو نشانگر سطح ملات است که با ابعاد مشخص شده در شکل، جانمایی آن تعیین شده است. لوله‌ی خروج ملات به صورت متحرک پیشنهاد شده است بدین مفهوم که می‌توان برای شست و شوی مخروط، آن را به راحتی خارج کرد. میزان نمونه باید از ۱۷۲۵ میلی‌لیتر و نمایندهٔ کل ساختار ملات باشد، دمای محیط آزمایشگاه لازم است بین ۲۰-۲۳ درجه سانتی‌گراد باشد. برای کالیبره کردن مخروط باید کل مخروط از آب پر شود، آب باید در $8 \pm 0/2$ ثانیه تخلیه گردد. روند اندازه‌گیری روانی بدین صورت است که داخل مخروط با آب خیس می‌شود و یک دقیقه قبل از ورود ملات آب داخل آن تخلیه می‌گردد. درپوش خروج بسته شده و ملات داخل مخروط ریخته می‌شود. پس از استقرار کامل ملات داخل مخروط و رسیدن سطح آن تا نشانگرهای درپوش خروج برداشته می‌شود و کرونومتر (زمان‌سنج) توسط اپراتور زده می‌شود. اگر پس از تخلیه ملات، نور محیط از دریچه دیده شد، زمان کرنومتر همان زمان جریان است اما اگر نور را دیده نشد (به دلیل مسدود شدن دریچه خروج توسط سنگدانه‌ها)، آزمایش سنجش روانی باید مجدداً انجام گیرد.

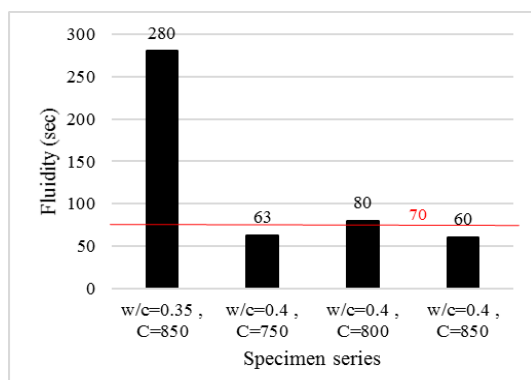
۲-۳-۱- نمونه‌های ملات مرجع

مرجع که به میزان ذکر شده در بند قبل به آنها فوق روان- کننده اضافه شده است، در شکل ۷ ارائه شده است. از این نمودارها می‌توان استنباط کرد که تنها نمونه‌های مرتع با نسبت آب به سیمان $4/0$ تزریق پذیر هستند. برای تزریق نمونه‌های با نسبت آب به سیمان کمتر باید از میکروسیلیس استفاده کرد تا امکان استفاده از مقادیر بالاتر فوق روان کننده فراهم شود.



(ب)

روانی ملات، یک عامل تعیین‌کننده برای تزریق آن به شمار می‌رود که مانند اسلامپ در بتون، معرف خاصیت ملات تازه می‌باشد. اگر ملاتی مقاومت فشاری بالایی داشته باشد اما از روانی مطلوبی برخوردار نباشد، آن طرح در پژوهش حاضر مردود تلقی می‌شود. با آزمون و خطای آزمایشگاهی، ملات قابل تزریق، ملاتی است که دارای حداقل زمان روانی ۷۰ ثانیه باشد. نتایج حاصل از سنجش روانی نمونه‌های



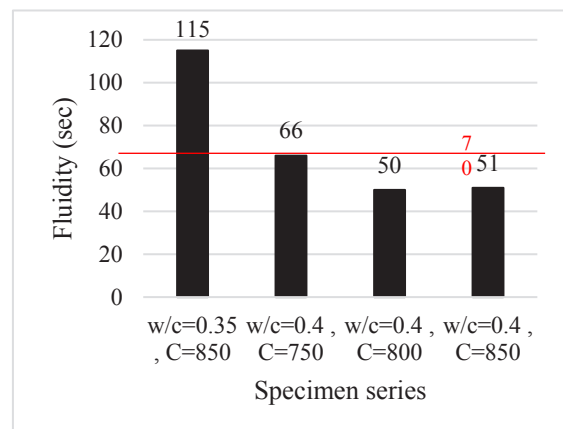
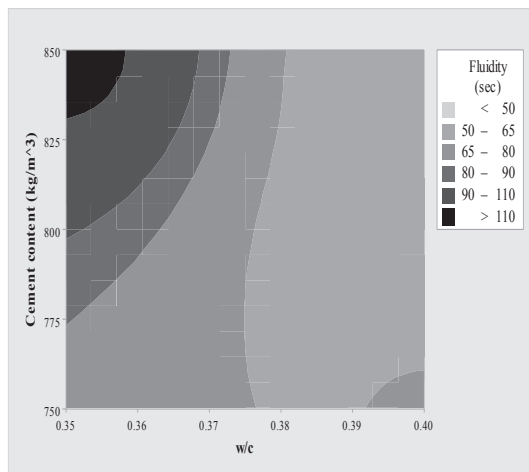
(الف)

شکل ۷- روانی نمونه‌های مرجع: (الف) مقادیر ب) منحنی خط تراز

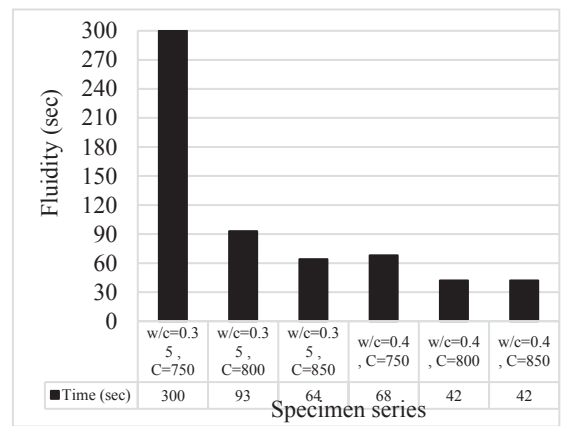
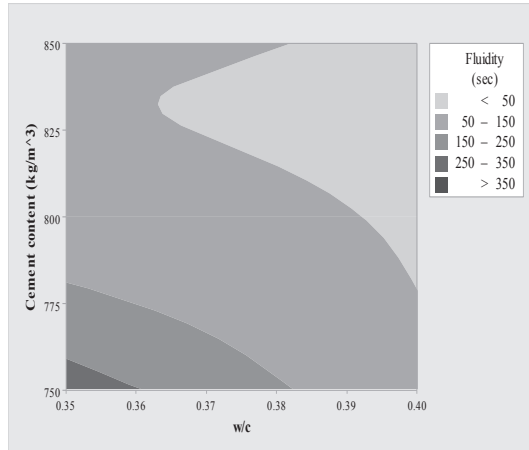
انتظار می‌رود که طرح مخلوط بهینه دارای بیشترین درصد مصرف میکروسیلیس باشد. مقایسه‌ی منحنی‌های خط تراز نشان می‌دهد که در درصدهای بالای میکروسیلیس، زمان روانی بیشتر در نسبت آب به سیمان کمتر و عیار سیمان کمتر اتفاق می‌افتد، در حالیکه در طرح‌های دارای میکروسیلیس به میزان ۵ درصد وزنی سیمان، این اتفاق در عیار بالای سیمان رخ می‌دهد. همچنین ملاحظه می‌گردد که عیار سیمان 750 کیلوگرم بر متر مکعب، عیار مناسبی برای تزریق نمی‌باشد، لذا باید حداقل عیار سیمان برای تزریق را 800 کیلوگرم بر متر مکعب در نظر گرفت.

۲-۳-۲- نمونه‌های ملات مرجع

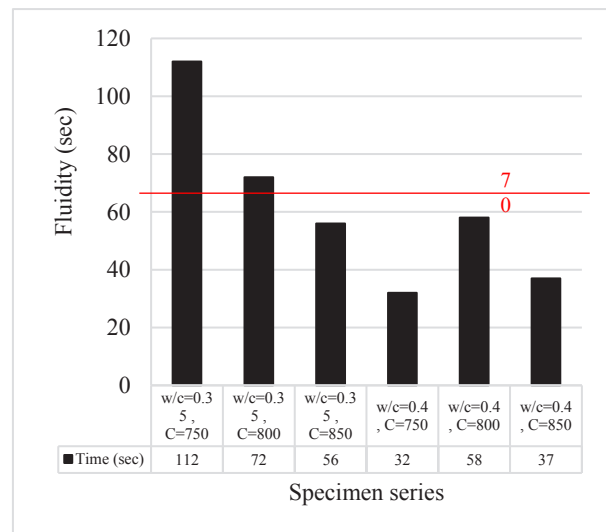
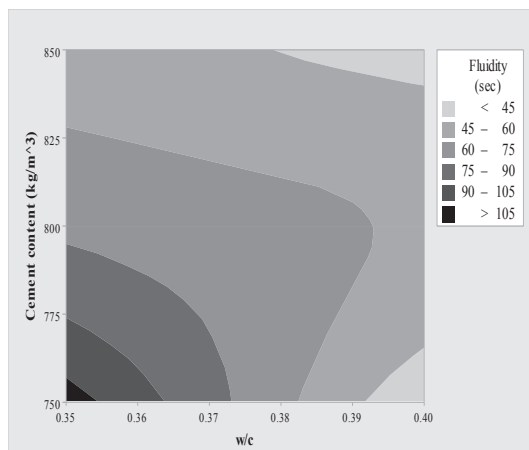
زمان روانی در نمونه‌های دارای میکروسیلیس، کمتر از نمونه‌های مرجع می‌باشد. نتایج مربوط به آنها به همراه منحنی‌های خط تراز در شکل ۸ ارائه شده است. همانطور که ملاحظه می‌گردد، در نسبت‌های پایین آب به سیمان به دلیل وجود لزجت و سفت بودن ساختار ملات، زمان روانی بالا است. همچنین با مقایسه‌ی این سه نمودار می‌توان نتیجه گرفت که هرچه میزان مصرف میکروسیلیس در طرح مخلوط افزایش می‌یابد، به دلیل امکان مصرف بیشتر فوق روان کننده، زمان روانی مطلوب‌تر است. به بیان دیگر



(الف)



(ب)



(ج)

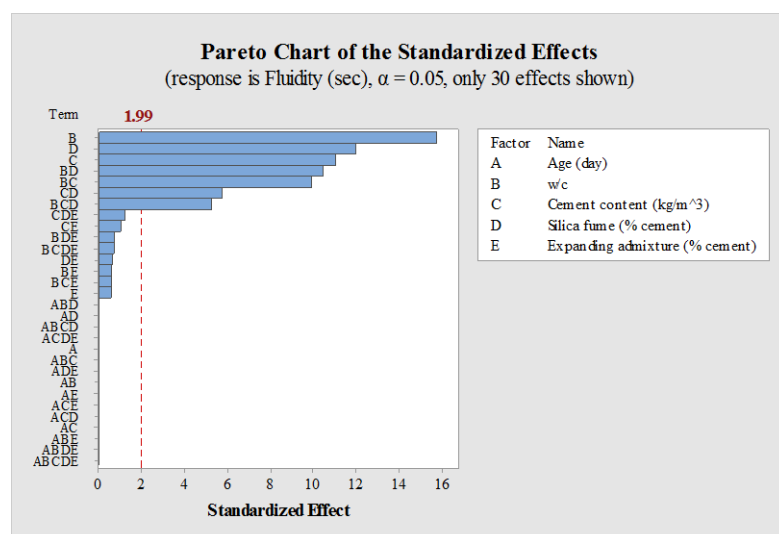
شکل ۸ - زمان روانی در نمونه های دارای میکروسیلیس: (الف) ۵ درصد ب) ۷/۵ درصد ج) ۱۰ درصد

میکروسیلیس موجب کاهش شدید زمان روانی می‌گردد

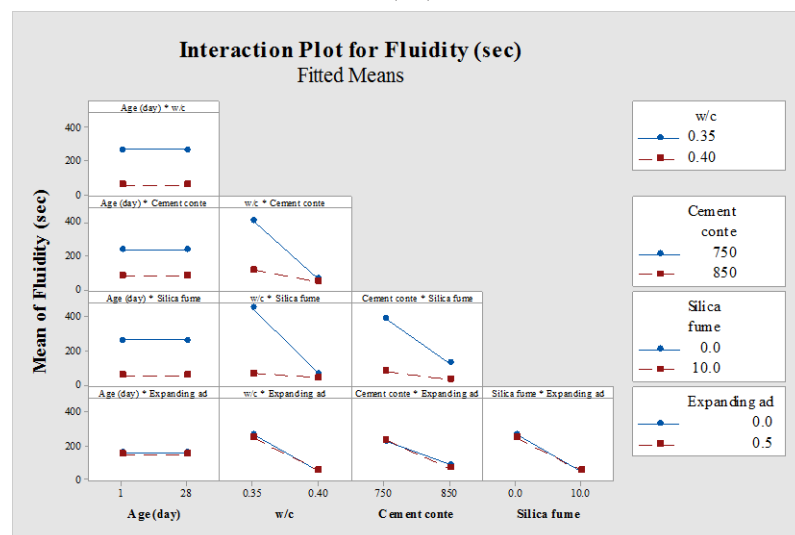
زیرا شیب نمودار شدت اثر برای این متغیرها تاحد زیادی بالا می‌باشد. برای توجیه این نتیجه‌گیری می‌توان گفت که افزایش نسبت آب به سیمان موجب سیالیت بیشتر ملات و طبعاً روان‌تر شدن آن می‌گردد. افزایش عیار سیمان با سازوکار کاهش حجم سنگدانه در واحد حجم ملات موجب افزایش کارپذیری آن می‌گردد و افزایش درصد مصرف میکروسیلیس نیز به دلیل افزایش تمایل ملات به پذیرش فوق‌روان‌کننده و جلوگیری از تهنشینی ذرات جامد، زمان روانی را افزایش می‌دهد.

۳-۲-۳- تحلیل آماری

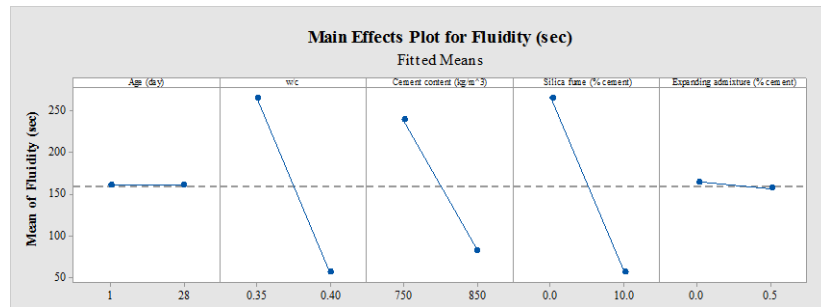
تحلیل آماری نرم‌افزار Minitab گواه آن است که به ترتیب نسبت آب به سیمان، درصد مصرف میکروسیلیس، عیار سیمان و اندرکنش دوبه‌دو و حتی سه‌تایی آنها در زمان روانی موثر است. بدیهی است که تحلیل متغیرهای سن و میزان مصرف منبسط‌کننده در زمان روانی بی‌معناست چرا که زمان روانی، یکی از ویژگی‌های ملات تازه می‌باشد و این دو متغیر بر روی آن اثری ندارند. این گفته در شکل ۹ (ب) و (ج) به‌وضوح نمایان است. همچنانی ملاحظه می‌گردد که افزایش نسبت آب به سیمان، عیار سیمان و درصد مصرف



(الف)



(ب)



(ج)

شکل ۹- تحلیل آماری داده های زمان روانی: (الف) نمودار پارتوب نمودار اندرکنش ماتریسی (ج) نمودار شدت اثر

که در آن f_c مقاومت فشاری نمونه (مگاپاسکال)، F نیروی وارده بر سطح نمونه (نیوتن) و A سطح بارگذاری نمونه (میلی متر مربع) است.

۳-۱-۳- نمونه های ملات مرجع

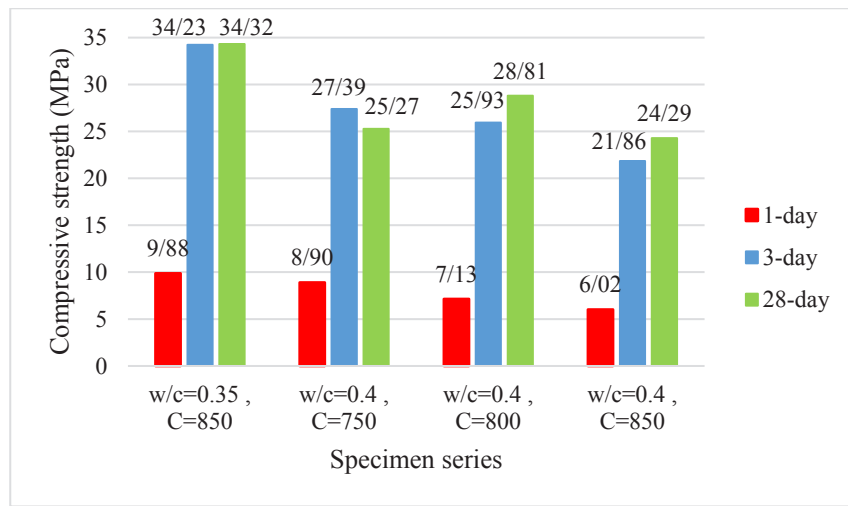
در نمونه های مرجع، در نسبت آب به سیمان ۰/۳۵ برای عیار سیمان ۷۵۰ کیلوگرم بر مترمکعب، اختلاط ملات عملاً امکان پذیر نبود که به همین دلیل از ارائه نتایج آن صرف نظر شده است. شکل ۱۰ نشان دهنده میزان

مقاومت فشاری هر طرح مخلوط می باشد.

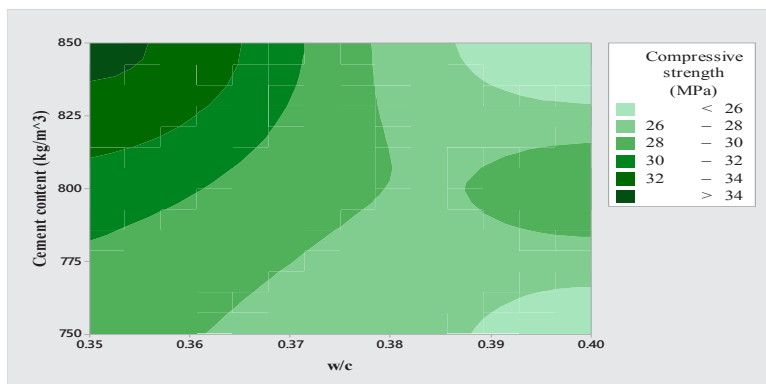
۳-۳- مقاومت فشاری

مقاومت فشاری ملات به عنوان عاملی بسیار تأثیرگذار در انتخاب و تحلیل بهترین طرح مخلوط ایفای نقش می کند. از نمونه های مکعبی ۵*۵*۵ سانتی متری مطابق با [۱۵] برای این آزمایش استفاده شده است که نتایج ارائه شده، میانگین سه نمونه در هر سن و هر طرح مخلوط می باشند. مقاومت فشاری نمونه های مکعبی از رابطه زیر قابل محاسبه است.

$$f_c = \frac{F}{A} \quad (۲)$$



(الف)



(ب)

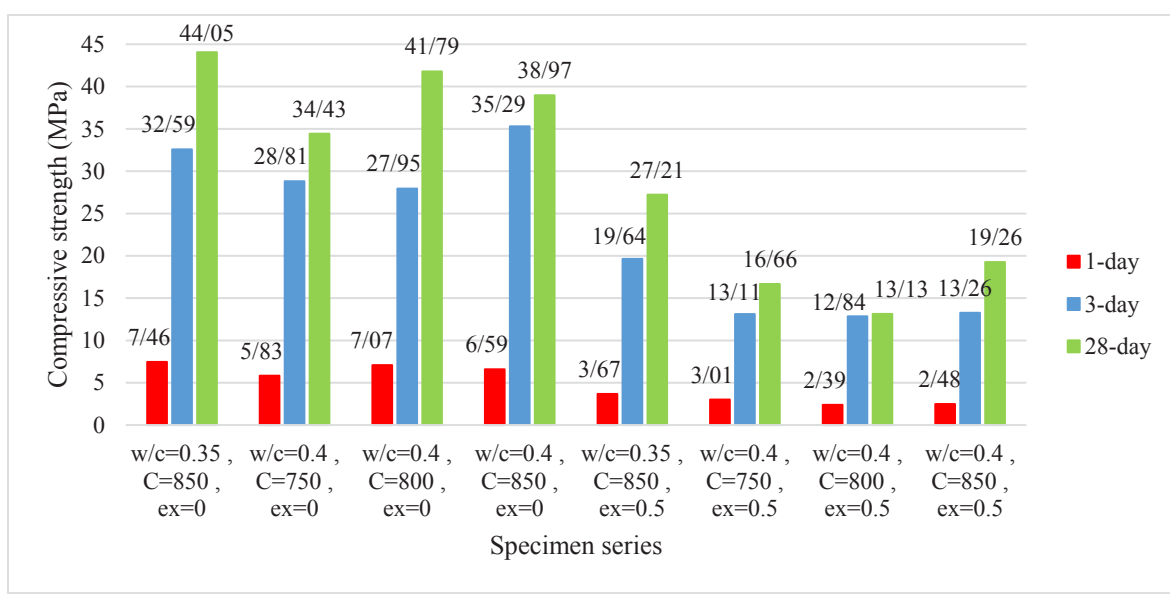
شکل ۱۰- مقاومت فشاری نمونه‌های ملات مرجع: (الف) مقادیر مقاومت فشاری در سه سن ب) منحنی خط تراز در سن ۲۸ روزه

هستند زیرا این ماده به خوبی می‌تواند ناحیه انتقال بین خمیر و سنگدانه را پر نماید و همگنی خوبی به ساختار کلی ملات بدهد. نمودارهای زیر، نتایج مقاومت فشاری نمونه‌های ملات دارای میکروسیلیس به میزان ۵، ۷/۵ و ۱۰ درصد وزنی سیمان را برای هر طرح مخلوط نشان می‌دهد. شایان ذکر است که برای طرح مخلوط دارای ۵ درصد میکروسیلیس، در نسبت آب به سیمان ۰/۳۵ و عیار سیمان ۷۵۰ و ۸۰۰ کیلوگرم بر مترمکعب، اختلاط انجام شدنی نبود.

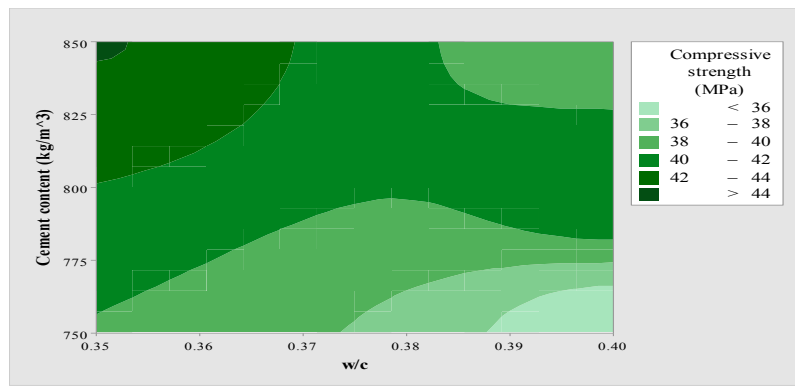
همانطور که از نتایج پیداست، ملات‌های مرجع در سن ۳ روزه، حداقل به ۸۰ درصد مقاومت نهایی خود دست پیدا می‌کنند. همچنین واضح است که با افزایش نسبت آب به سیمان، مقاومت فشاری کاهش پیدا کرده است و در سن ۲۸ روز، مقاومت فشاری بیشتر در عیار سیمان بیشتر و نسبت آب به سیمان کمتر اتفاق افتاده است.

۲-۳-۳- نمونه‌های دارای میکروسیلیس

نمونه‌های دارای میکروسیلیس به طور متوسط دارای مقاومت فشاری بیشتری از نمونه‌های بدون میکروسیلیس



(الف)

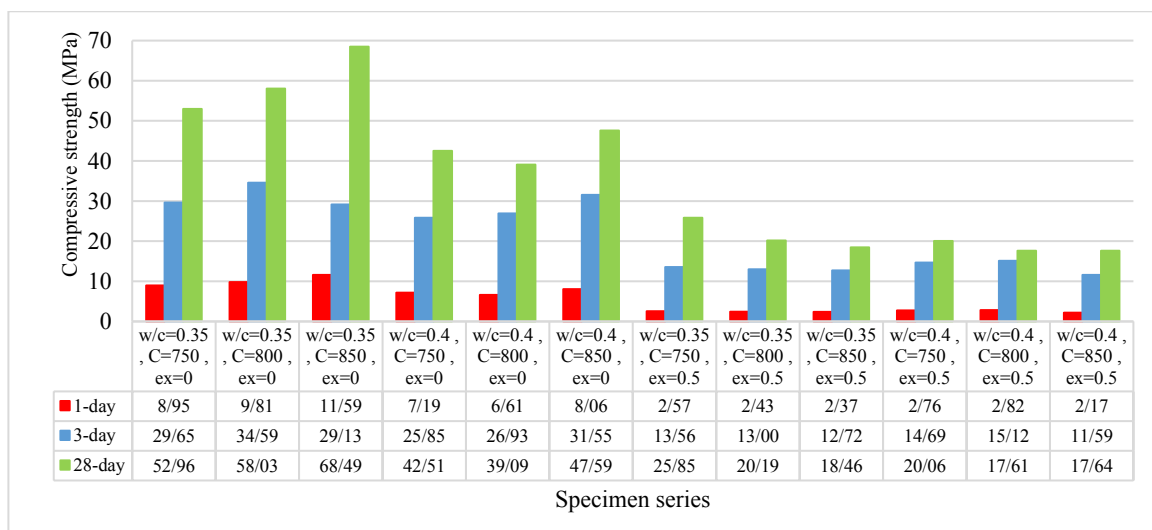


(ب)

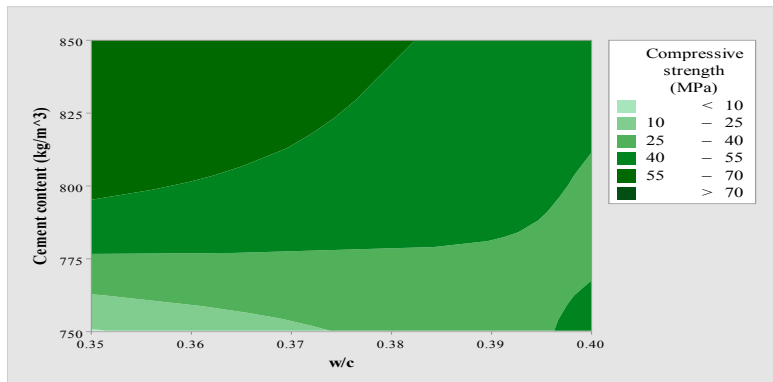
شکل ۱۱- مقاومت فشاری نمونه‌های ملات دارای ۵ درصد میکروسیلیس: (الف) مقادیر مقاومت فشاری در سه سن ب) منحنی خط تراز در سن ۲۸ روزه بدون حضور منبسط کننده

عيار سیمان شده است. از منحنی خط تراز می‌توان نتیجه گرفت که بیشترین مقاومت فشاری برای ۵ درصد میکروسیلیس، در نسبت‌های پایین آب به سیمان و عیارهای بالای سیمان اتفاق می‌افتد.

به عنوان یک نتیجه‌گیری کلی می‌توان اشاره کرد که افزایش مقاومت فشاری از ۳ روز به ۲۸ روز، در نمونه‌های با نسبت آب به سیمان کمتر، بیشتر محسوس است. همچنین ملاحظه می‌گردد که منبسط کننده باعث کاهش شدید مقاومت فشاری در هر سن، نسبت آب به سیمان و



(الف)

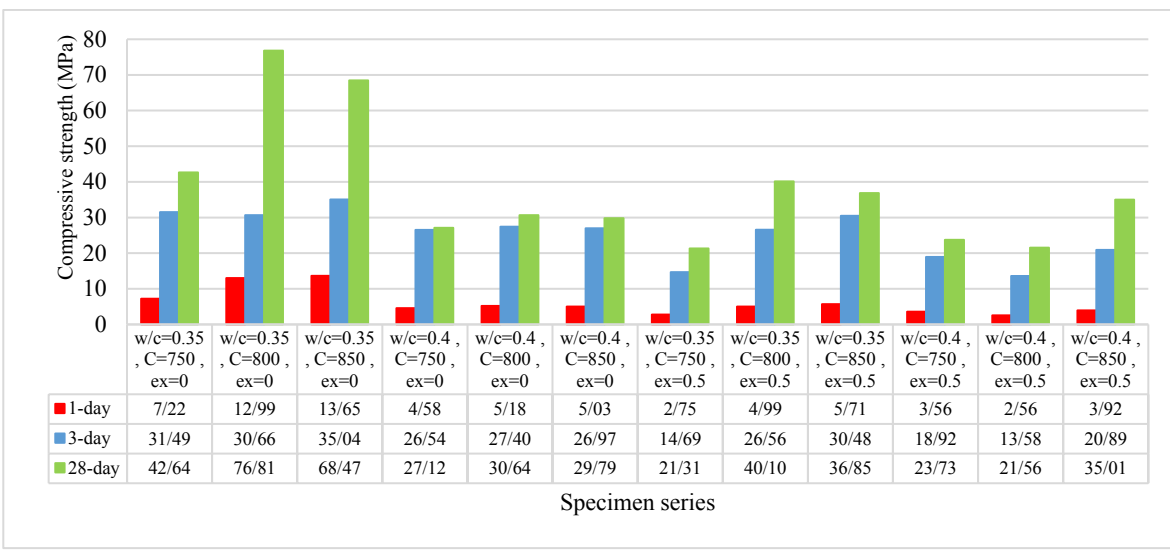


(ب)

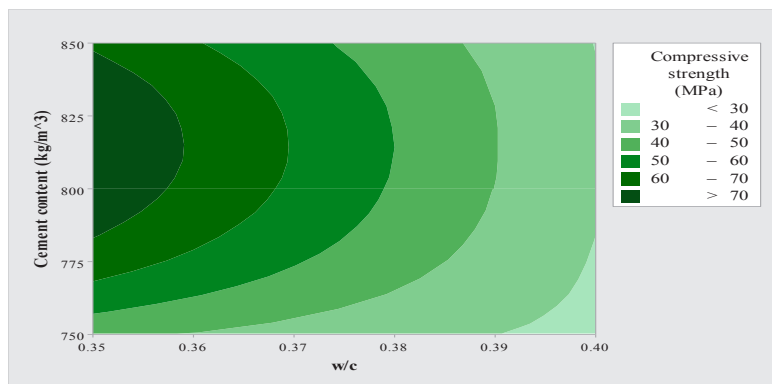
شکل ۱۲- مقاومت فشاری نمونه‌های ملات دارای ۷/۵ درصد میکروسیلیس: (الف) مقادیر مقاومت فشاری در سه سن (ب) منحنی خط تراز در سن ۲۸ روزه بدون حضور منبسط کننده

همچنین ملاحظه می‌گردد که بیشترین مقاومت فشاری برای ۷/۵ درصد میکروسیلیس نیز در نسبت‌های پایین آب به سیمان و عیارهای بالای سیمان اتفاق می‌افتد.

مشابه روند قبل، در این درصد مصرف میکروسیلیس نیز ملاحظه می‌گردد که مقاومت فشاری نمونه‌های فاقد منبسط‌کننده بین ۲ تا ۳ برابر بیشتر از طرح مشابه خود با منبسط‌کننده هستند که دلیل آن قبلاً تشریح شد.

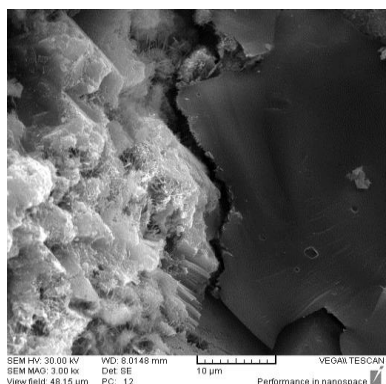


(الف)

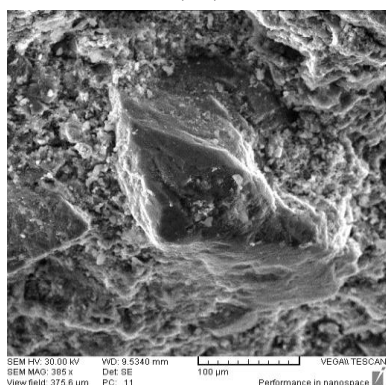


شکل ۱۳- مقاومت فشاری نمونه‌های ملات دارای ۱۰ درصد میکروسیلیس: (الف) مقادیر مقاومت فشاری در سه سن ب) منحنی خط تراز در سن ۲۸ روزه بدون حضور منبسط کنندۀ

میکروسیلیس اضافه شده است، ملاحظه می‌گردد که همگنی فوق العاده‌ای در ساختار ملات اتفاق افتاده است و نواحی انتقال به خوبی پر شده‌اند. همین امر کمک می‌کند که مسیر گسیختگی از داخل سنگدانه عبور نماید و مقاومت فشاری بیشتری حاصل شود [۱۶].



(الف)



(ب)

شکل ۱۴- تصویر SEM: (الف) ملات مرجع (ب) ملات با طرح مخلوطی مشابه و دارای ۱۰ درصد میکروسیلیس

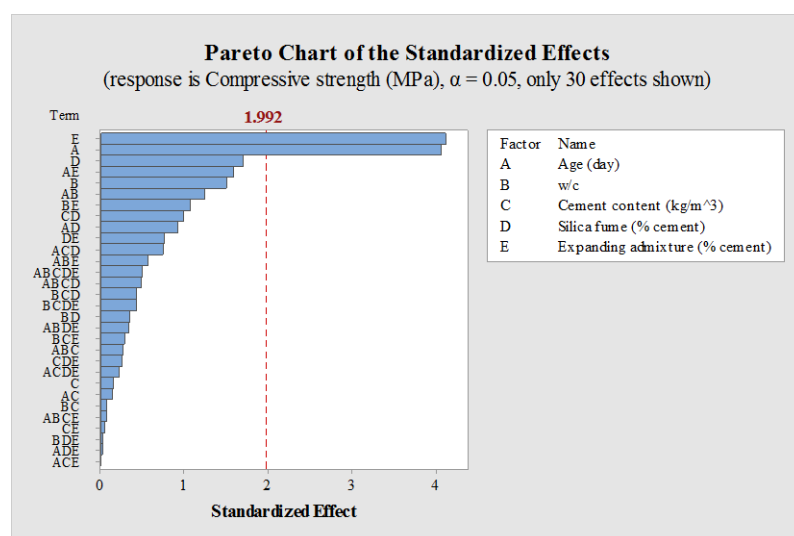
استفاده از میکروسیلیس به میزان بیشتر از ۱۰ درصد وزنی سیمان، خواص مکانیکی و دوامی بتن را بهبود نمی‌بخشد [۸]، به همین جهت در پروژه‌ی حاضر، بیشترین مقدار مصرف میکروسیلیس به ۱۰ درصد محدود شده است. همانطور که از شکل ۱۳ پیداست، بیشترین مقاومت فشاری ملات در طرح‌هایی با ۱۰ درصد میکروسیلیس اتفاق افتاده است و افزایش مقاومت فشاری از سن ۳ به ۲۸ روز در نسبت آب به سیمان ۰/۳۵ بیشتر از آن روند در نسبت آب به سیمان ۰/۴ می‌باشد. همچنین مشابه نمودارهای بالا، منبسط کننده موجب کاهش ناگهانی مقاومت فشاری در تمامی طرح‌ها شده است. از منحنی خط تراز می‌توان نتیجه گرفت که مناسب‌ترین عیار برای دستیابی به بیشترین مقاومت فشاری، ۸۱۸ کیلوگرم بر مترمکعب در نسبت آب به سیمان ۰/۳۵ می‌باشد.

دلیل افزایش مقاومت فشاری در طرح‌های دارای ۱۰ درصد میکروسیلیس به وضوح در شکل زیر مشخص است. همانطور که در شکل ۱۴ مشاهده می‌گردد، در طرح بدون میکروسیلیس، ناحیه‌ی انتقال بین خمیر و سنگدانه به وضوح دیده می‌شود که مسیر گسیختگی حین بارگذاری تمایل دارد از این ناحیه‌ی ضعیف عبور کند، اما در طرح مخلوطی مشابه که به آن ۱۰ درصد وزنی سیمان

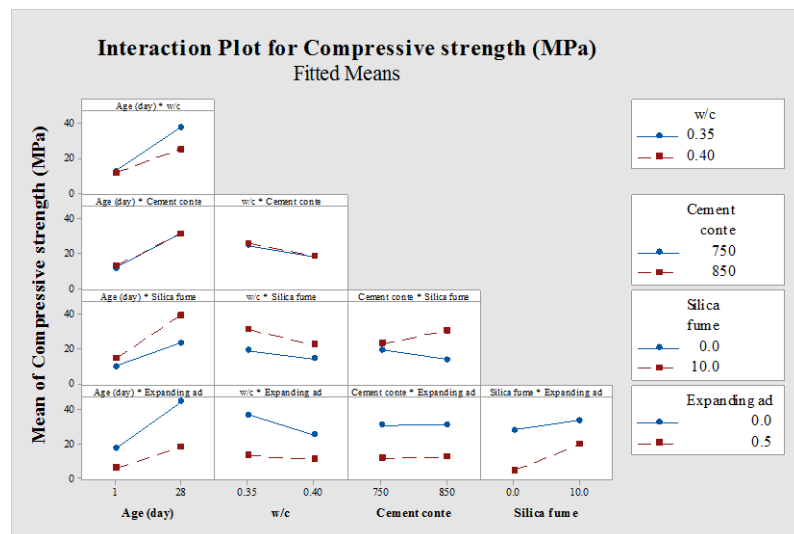
افزایش می‌یابد اما عیار سیمان اثر قابل توجهی روی آن ندارد. شدت تأثیر این متغیرها در نمودار شکل ۱۵ (ج) نمایان‌تر است، بطوریکه هرچی شیب بیشتر باشد بیانگر شدت تأثیر بیشتر آن متغیر بر روی مقاومت فشاری است. بدیهی است که شیب مثبت یا منفی به ترتیب نشان-دهنده اثرگذاری مستقیم یا معکوس بر روی مقاومت فشاری است.

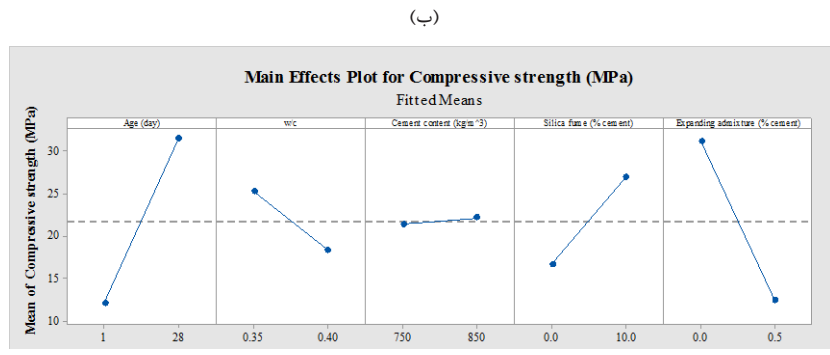
۳-۳-۳- تحلیل آماری

تحلیل آماری داده‌های مربوط به نمونه‌های فشاری در شکل‌های زیر ارائه شده است. همانطور که از شکل ۱۵ (الف) پیداست، مقاومت فشاری ارتباط زیادی با سن نمونه و میزان مصرف منبسط‌کننده دارد زیرا از مرز اثر استاندارد پیش‌روی نموده‌اند. شکل ۱۵ (ب) نشان‌گر آن است که مقاومت فشاری متوسط تمامی نمونه‌ها با افزایش سن، کاهش نسبت آب به سیمان، افزایش میزان مصرف میکروسیلیس و کاهش میزان مصرف منبسط‌کننده،



(الف)





(ج)

شکل ۱۵- تحلیل آماری داده‌های مقاومت فشاری: (الف) نمودار اندکنش ماتریسی (ب) نمودار شدت اثر

$$f_f = \frac{MC}{I} = \frac{3Fl}{2bd^2} \quad (3)$$

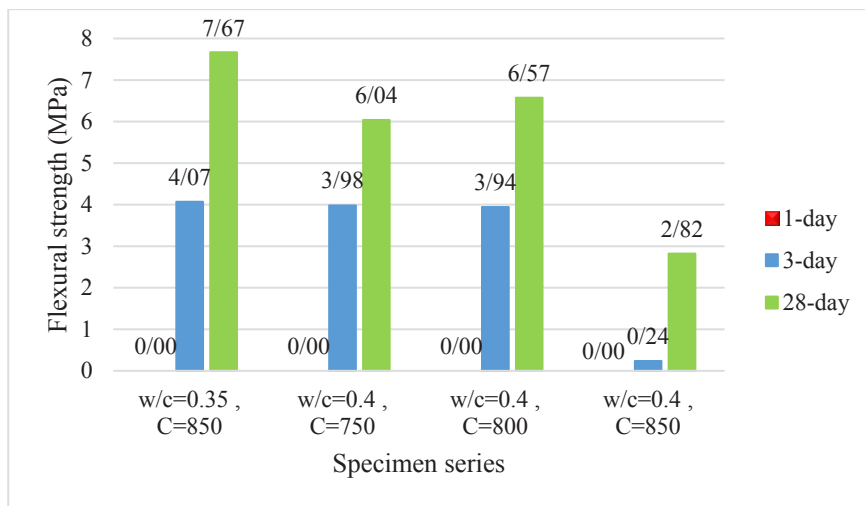
که در آن f_f مقاومت خمثی نمونه (مگاپاسکال)، F بار وارد بروسط دهانه‌ی تیر (نیوتن)، l فاصله‌ی بین دو تکیه‌گاه (۱۰۰ میلی‌متر)، b و d به ترتیب عرض و ارتفاع مقطع (۴ میلی‌متر) می‌باشد.

۳-۴-۱- نمونه‌های ملات مرجع

نظیر نمونه‌های فشاری، نتایج مقاومت خمثی طرح‌های بدون میکروسیلیس و منبسط‌کننده در شکل ۱۶ ارائه شده است.

۴-۳- مقاومت خمثی

مقاومت خمثی می‌تواند تا حدی نشان‌دهنده‌ی مقاومت کششی ملات باشد. برای انجام این آزمایش، از نمونه‌های ۱۶*۴*۴ سانتی‌متری استفاده شده است که توسط استاندارد ASTM توصیه شده است [۱۷، ۱۸]. نتایج ارائه شده، میانگین سه نمونه در هر سن و هر طرح مخلوط می‌باشند. مقاومت خمثی سه نقطه‌ای این نمونه‌ها از رابطه‌ی زیر محاسبه می‌گردد.

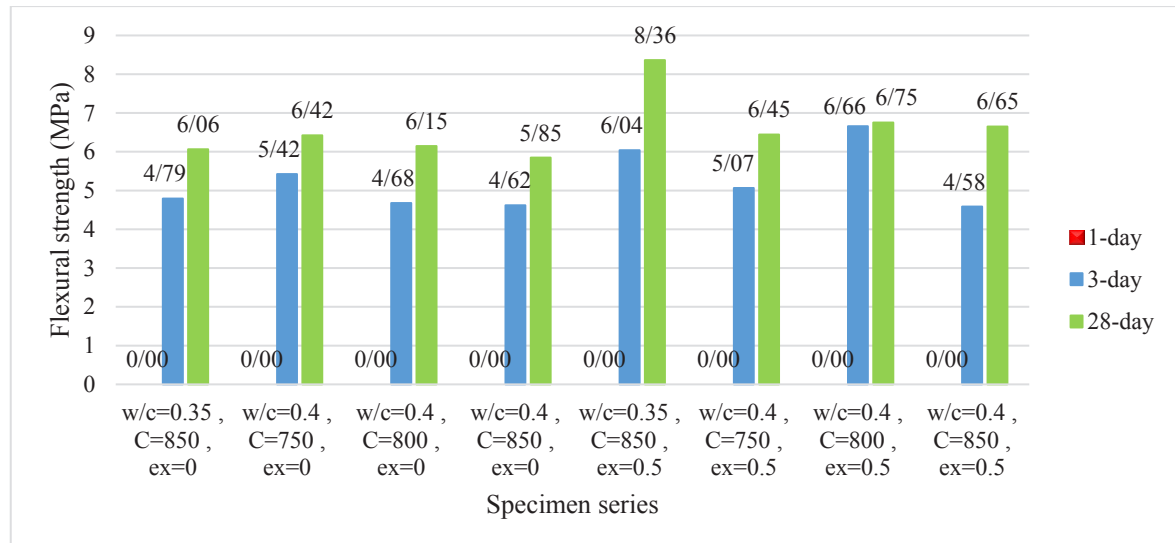


شکل ۱۶- مقاومت خمثی نمونه‌های مرجع

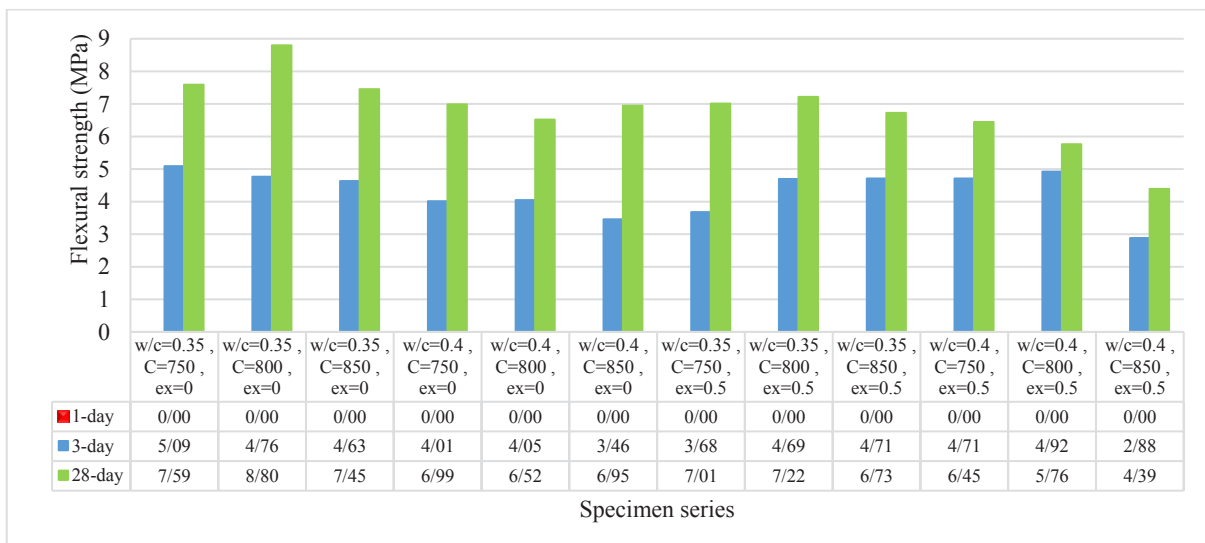
۳-۴-۲- نمونه‌های دارای میکروسیلیس

میکروسیلیس موجب افزایش مقاومت خمشی نمونه‌ها در مقایسه با نمونه‌های مرجع می‌باشد. نتایج مربوط به آنها در شکل ۱۷ ارائه شده است.

همانطور که انتظار می‌رفت، بیشترین مقاومت فشاری در نسبت آب به سیمان پایین‌تر اتفاق افتاده است. همچنین بهعلت اندک بودن مقاومت خمشی در سن ۱ روز، مقدار آن برای تمامی طرح‌ها برابر با صفر درنظر گرفته شده است.

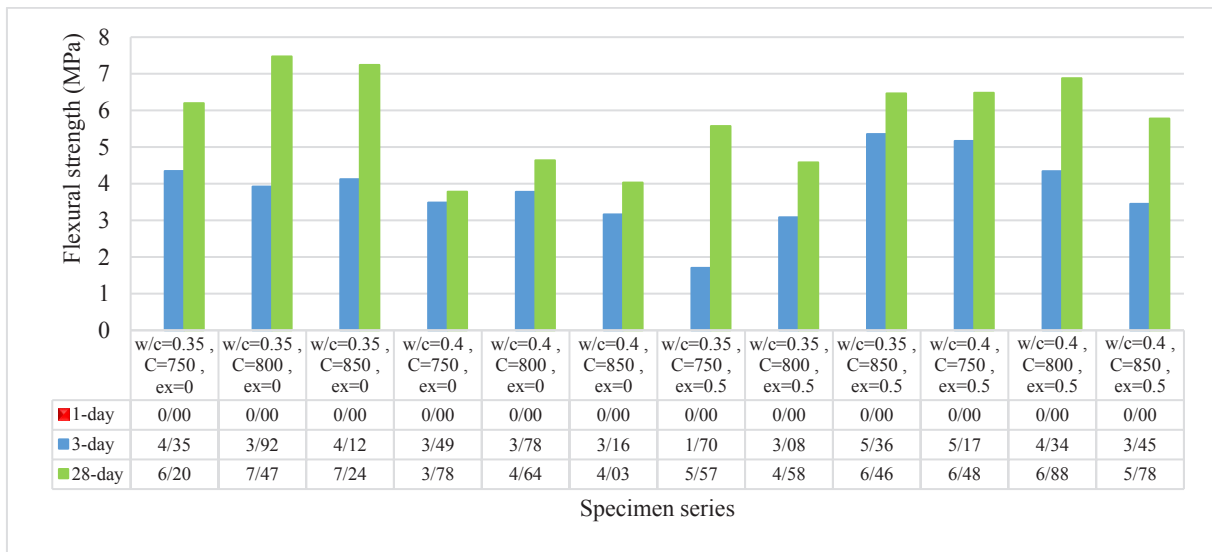


(ألف)



Specimen series

(ب)



(ج)

شکل ۱۷- نتایج مقاومت خمشی نمونه‌های دارای میکروسیلیس: (الف) ۵ درصد ب) ۷/۵ درصد (ج) ۱۰ درصد

۶۰ درصد مقاومت خمشی خود را در سه روز ابتدایی سن خود کسب می‌کنند. همچنین می‌توان نتیجه گرفت که اثر نسبت آب به سیمان در افزایش مقاومت خمشی ملات در درصدهای بالای میکروسیلیس محسوس است. به طریق دیگر می‌توان اذعان کرد که در یک نسبت آب به سیمان ثابت، مصرف میکروسیلیس تا ۵ درصد وزنی سیمان، افزایش مقاومت خمشی را به شکل قابل ملاحظه‌ای در پی نخواهد داشت. برای تحلیل دقیق‌تر رفتار خمشی نمونه‌های ملات، تحلیل آماری در بند بعد ارائه شده است.

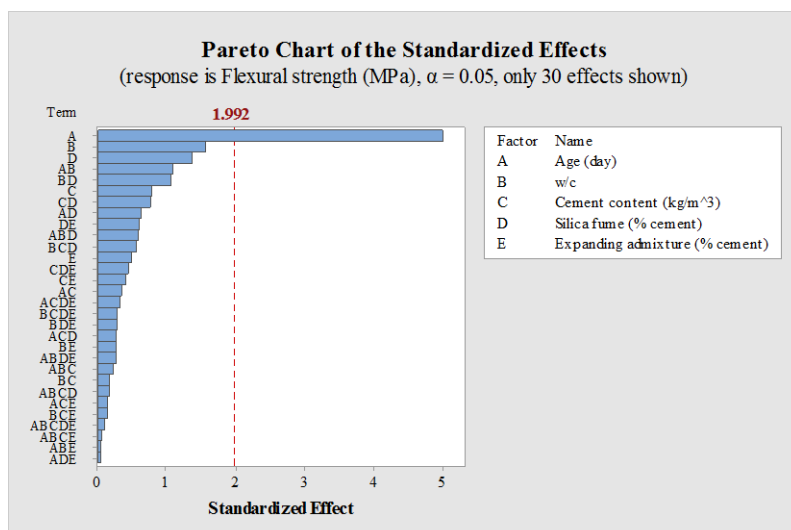
۳-۴-۳- تحلیل آماری

همانطور که از شکل ۱۸ (الف) پیداست، سن نمونه‌های خمشی اثرگذارترین عامل در افزایش مقاومت آنها می‌باشد. بازترین نتیجه از نمودار تحلیل ماتریسی این است که در روند کاهشی مقاومت خمشی هنگام افزایش نسبت آب به سیمان، در نمونه‌های با عیار سیمان بالاتر و درصد میکروسیلیس کمتر، واضح‌تر دیده می‌شود. همچنین عیار سیمان عامل مهمی در تعیین مقاومت خمشی سیمان به شمار نمی‌رود. شدت اثر متغیرها در شکل ۱۸ (ج) بیانگر تأثیر شدید مستقیم سن نمونه در افزایش مقاومت خمشی و همچنین تأثیر اندک افزایش درصد مصرف منبسط‌کننده

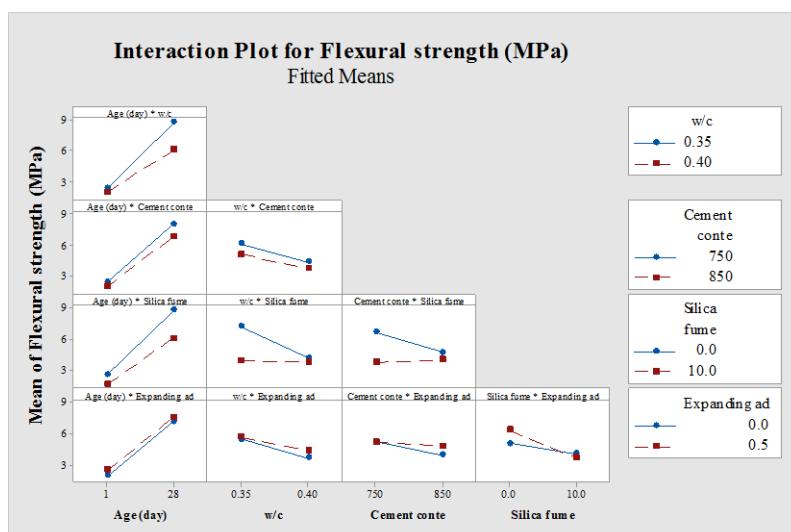
برعکس آنچه در مقاومت فشاری اتفاق افتاد، با افزایش درصد مصرف منبسط‌کننده، مقاومت خمشی یا دستخوش تغییرات نمی‌گردد یا گاه موجب افزایش مقاومت خمشی در مقایسه با طرح مخلوطی مشابه و بدون منبسط‌کننده می‌شود. دلیل این امر می‌تواند اثر تأمین چسبندگی در تار کششی ملات با افزایش منبسط‌کننده باشد. همچنین ملاحظه می‌گردد که با افزایش میکروسیلیس از ۵ به ۷/۵ درصد، مقاومت خمشی متوسط نمونه‌ها افزایش یافته است اما با افزایش آن به ۱۰ درصد، عملأً افزایش مقاومت خمشی ملاحظه نمی‌گردد. این بدان معناست که مقاومت خمشی هر طرح مخلوط تا اندازه‌ی معینی افزایش پیدا می‌کند که این اندازه قطعاً تابع نسبت آب به سیمان و بالطبع مقاومت فشاری آن طرح مخلوط است [۱۹]. از سوی دیگر می‌توان نتیجه گرفت که درصد بالای استفاده از میکروسیلیس در بهبود خاصیت کششی ملات بی‌تأثیر است. از شکل ۱۷ همچنین می‌توان نتیجه گرفت که عیار سیمان، تأثیر چندانی بر مقاومت خمشی ملات ندارد چرا که افزایش چسبندگی بیشتر، لزوماً دلیل بر افزایش مقاومت ملات در کشش نیست. همچنین بطور متوسط دیده می‌شود که ملات‌های دارای میکروسیلیس، حداقل

جای مشخصی، مقاومت خمثی را زیاد می‌کند و از آن به بعد، اثر معکوس روی این پارامتر دارد.

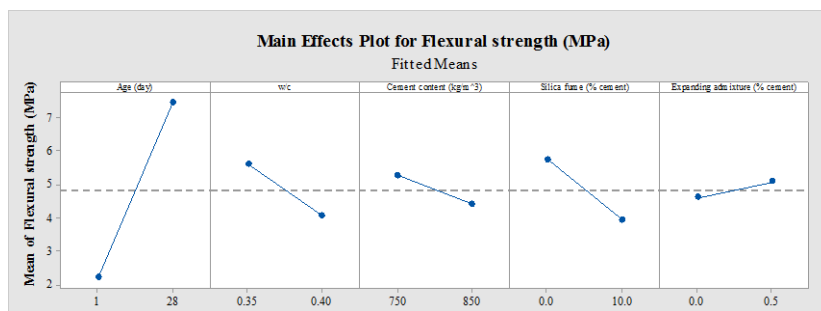
در افزایش آن می‌باشد. از این نمودار همچنین می‌توان برداشت کرد که در حالت کلی، عیار سیمان بالا موجب کاهش مقاومت خمثی می‌گردد یعنی این عامل تا یک



(الف)



(ب)



(ج)

شکل ۱۸- تحلیل آماری داده‌های مقاومت خمثی: (الف) نمودار پارتوب (ب) نمودار اندرکنش ماتریسی (ج) نمودار شدت اثر

۵-۳- زمان گیرش

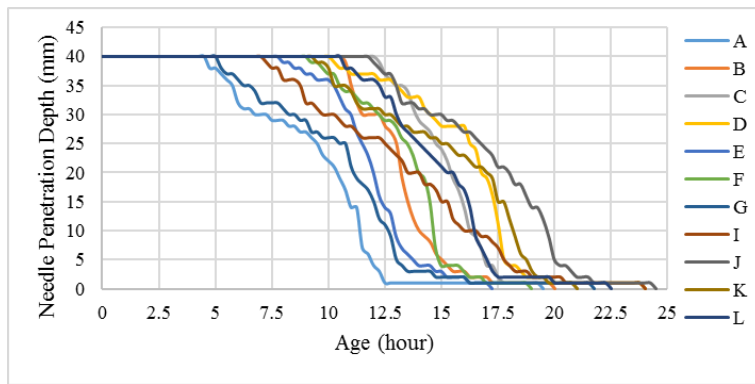
ساخت نمونه‌های بتنی نیز هستند زیرا از مطلوبیت لازم برای حداقل‌های عمل تزریق برخوردار می‌باشند. در تزریق ملات، باید طرحی انتخاب شود که اولاً سهولت لازم برای عمل تزریق را دارا باشد، یعنی از کارپذیری بالایی برخوردار باشد، ثانیاً بتواند مقاومت فشاری مطلوبی ارائه دهد. در غیر اینصورت، اندازه‌گیری زمان گیرش امری غیر علمی به نظر می‌رسد. اندازه‌گیری زمان گیرش می‌تواند چشم‌انداز خوبی از زمان مسدودی خط هنگام اجرای این نوع بتن را در اختیار محقق بگذارد. جدول ۵، طرح‌های مخلوط برتر و زمان گیرش نظیر هریک را نشان می‌دهد. همچنین منحنی عمق نفوذ سوزن در طول زمان نیز در شکل ۱۹ ارائه شده است.

به منظور سنجش زمان گیرش ملات، آزمایش سقوط سوزن ویکات^۱ توسط استاندارد ASTM C191 پیشنهاد شده است [۲۰، ۲۱]. برای انجام این آزمایش، ملات داخل ظرف آزمایش ریخته می‌شود و ارتفاع سقوط سوزن هر ۱۵ دقیق قرائت می‌گردد. زمان سپری شده برای نفوذ سوزن به مقدار ۲۵ میلی‌متر به عنوان زمان گیرش اولیه شناخته می‌شود و زمانی که در آن، سوزن داخل ملات فرو نمی‌رود به عنوان زمان گیرش نهایی شناخته می‌شود.

پیش از انجام آزمایش زمان گیرش، لازم است برای صرفه‌جویی در وقت و هزینه، ابتدا طرح‌های مخلوطی که دارای بیشترین مقاومت فشاری و کمترین زمان روانی هستند انتخاب شوند. این طرح‌ها به طور قطع طرح‌های برتر برای

جدول -۵- طرح‌های مخلوط برتر

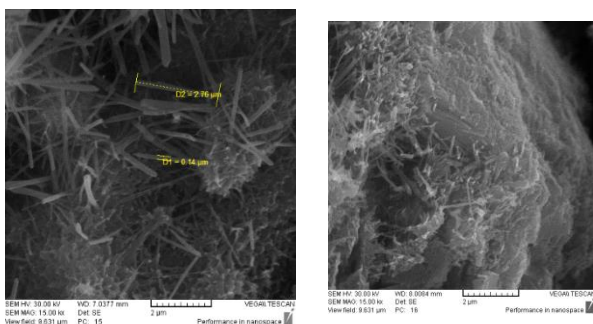
زمان گیرش (hh:mm)		طرح مخلوط				کد
نهایی	اولیه	Ex=0	SF=7.5%	C=800	w/c=0.35	A
۱۹:۳۰	۹:۳۰	Ex=0	SF=7.5%	C=850	w/c=0.35	B
۲۰	۱۳	Ex=0	SF=10%	C=800	w/c=0.4	C
۲۱	۱۴:۴۵	Ex=0	SF=10%	C=850	w/c=0.4	D
۲۴	۱۶:۱۵	Ex=0	SF=10%	C=800	w/c=0.35	E
۱۷:۱۵	۱۱:۳۰	Ex=0	SF=10%	C=850	w/c=0.35	F
۱۹	۱۳:۳۰	Ex=0	SF=10%	C=800	w/c=0.35	G
۲۱:۴۵	۱۰:۳۰	Ex=0.5	SF=7.5%	C=850	w/c=0.35	H
۲۳	۱۱:۳۰	Ex=0.5	SF=7.5%	C=800	w/c=0.35	I
۲۴:۳۰	۱۲:۳۰	Ex=0.5	SF=10%	C=850	w/c=0.4	J
۲۱	۱۵	Ex=0.5	SF=10%	C=800	w/c=0.35	K
۲۲:۳۰	۱۴	Ex=0.5	SF=10%	C=850	w/c=0.35	L



شکل ۱۹- منحنی عمق نفوذ سوزن در طول زمان برای طرح‌های مخلوط برتر

۳- یافته‌های ریزساختاری

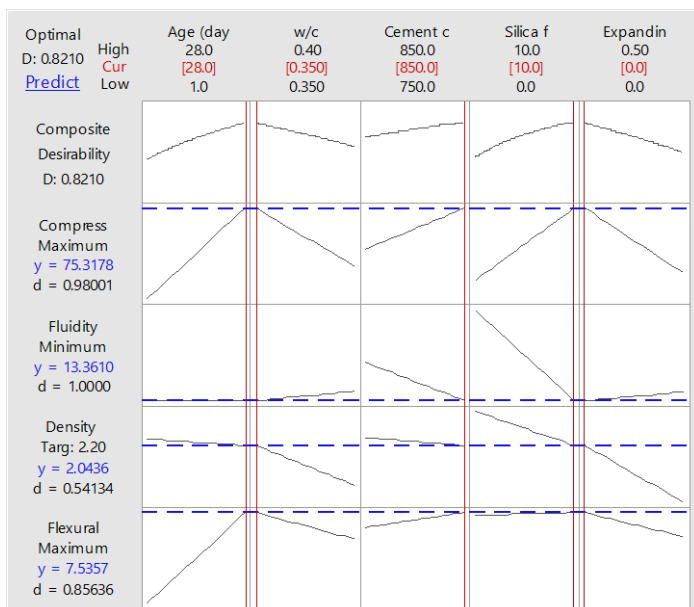
ذرات $\text{Ca}(\text{OH})_2$ که به شکل شش‌ضلعی منتظم بوده و ذرات اترینگایت که دارای شکل سوزنی به طول حدود ۲/۸ و قطر ۰/۱۵ میکرومتر هستند در شکل ۲۰ زیر به تصویر کشیده شده‌اند. با تحلیل تصاویر SEM این نتیجه حاصل شد که تجمع اترینگایت ثانویه $\text{Ca}(\text{OH})_2$ در ناحیه‌ی انتقال بین خمیر و سنگدانه بیشتر از سایر نواحی است [۲۲]. همچنین نمونه‌هایی که دارای عیار سیمان بالاتری هستند، به‌طور متوسط میزان اترینگایت و $\text{Ca}(\text{OH})_2$ تولید شده در نواحی انتقال آنها بیشتر است [۱۶]. بطور کلی با تحلیل تصاویر SEM مشخص گردید که ژل-C-S-H حدود ۷۰ درصد کل حجم ملات را تشکیل می‌دهد.



شکل ۲۰- تصاویر SEM در مقیاس ۲ میکرومتر: (الف) کلسیم هیدروکسید (ب) ذرات اترینگایت

همانطور که ملاحظه می‌شود، طرح‌های مخلوطی که دارای نسبت آب به سیمان بالاتری هستند، زمان گیرش بیشتری را نسبت به دیگر طرح‌های مخلوط به خود اختصاص می‌دهند زیرا آب اولیه‌ی موجود در حجم ملات زیاد بوده و ساختار ملات از ویسکوزیته‌ی کمتری برخوردار است، لذا زمان بیشتری طول می‌کشد تا به گیرش خود برسد. همچنین می‌توان نتیجه گرفت که زمان گیرش در طرح‌های با عیار سیمان بالاتر نسبت به طرح‌های مشابه و با عیار سیمان کمتر همواره به تعویق می‌افتد. دلیل این امر را می‌توان جایگزینی سیمان افزوده شده با ماسه که عامل بازدارنده‌ی نفوذ سوزن است، دانست. افزایش عیار سیمان با کاهش ماسه‌ی ملات همراه است تا مجموع حجم‌ها در رابطه‌ی حجم مطلق برابر واحد گردد. هرچه ماسه کمتر باشد، سوزن با اصطکاک کمتری روبرو می‌شود، لذا راحت‌تر نفوذ کرده و بالطبع زمان گیرش به تعویق می‌افتد. طرح‌های مخلوط دارای منبسط‌کننده زمان گیرش بیشتری نسبت به طرح‌های فاقد این افزودنی دارند زیرا این ماده موجب افزایش حجم ملات در واحد وزن آن با سازوکار متخخل کردن ملات می‌گردد. این یعنی سوزن به راحتی قادر است از داخل حفرات ایجاد شده بدون عامل اصطکاکی بازدارنده عبور نماید و زمان گیرش را طولانی‌تر کند.

هدف محاسبه شده است، هرچه به عدد یک نزدیکتر باشد معرف آن است که برای رسیدن به آن هدف، طرح مخلوط بهینه‌ی پیشنهاد شده تا چه حد مطلوب می‌باشد. این تحلیل حساسیت طوری انجام شده است که متغیرهای طرح مخلوط در بازه‌ای پیوسته درنظر گرفته شوند و نرم‌افزار به انتخاب مقادیر بهینه بپردازد. ملاحظه می‌گردد که فاکتور مطلوبیت کلی (D) برابر با ۰/۸۲ بست آمده است که گویای صحت طرح مخلوط پیشنهادی برای رسیدن به مقادیر هدف ارائه شده با دقت بالا می‌باشد.



شکل -۲۱- بهینه‌یابی چندعاملی

که در آن f_c مقاومت فشاری ۲۸ روزه‌ی ملات (مگاپاسکال)، w/c نسبت آب به سیمان، SF میزان میکروسیلیس مصرفی (درصد وزنی سیمان) و C عیار سیمان (کیلوگرم بر مترمکعب) می‌باشد.

از سوی دیگر با رسم داده‌های نظیر مقاومت فشاری و روانی در مقابل یکدیگر، این نتیجه گرفته می‌شود که طرح مخلوط بهینه برای ملات، آن طرحی است که در عین دارا

۷-۳- طرح مخلوط بهینه

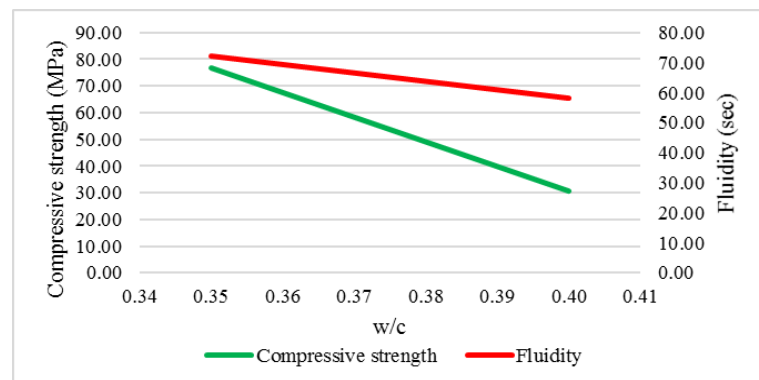
با تحلیل حساسیت چندعاملی تمامی متغیرها بر روی تمامی ملات‌های ساخته شده با هدف دستیابی به طرح مخلوط بهینه برای رسیدن به حداقل مقادیر مقاومت فشاری و خمشی، حداقل زمان روانی و وزن مخصوص برابر ۲/۲ تن بر مترمکعب به عنوان یک وزن مخصوص متعارف [۱۹]، نرمافزار Minitab گراف شکل ۲۱ را ارائه داد که در آن اعداد قرمزرنگ مبین مقادیر بهینه‌ی متغیرها هستند. همچنین فاکتور مطلوبیت^۱ (d) که برای تمامی پارامترهای

به منظور استفاده‌ی محققین از مقادیر دیگر عیار سیمان، نسبت آب به سیمان و درصد مصرف میکروسیلیس برای تعیین مقاومت فشاری ۲۸ روزه‌ی ملات، رابطه‌ی زیر با دقت رگرسیونی ۸۴ درصد پیشنهاد می‌گردد.

$$f_c = \frac{12.77 \left(\frac{W}{C}\right)^{-24.8} e^{0.19SF}}{C^4} + 37.1 \quad (4)$$

نسبت آب به سیمان بھینه انجام گرفته است. مشاهده می-شود که با این روش نیز، عدد $0/35$ به عنوان نسبت آب به سیمان بھینه برای ملات بدست می‌آید. بدیهی است که با محاسبه‌ی مقدار سایر متغیرهای ملات از طریق رابطه‌ی حجم مطلق، می‌توان به طرح مخلوط کلی دست یافت.

بودن بیشترین مقاومت فشاری، کمترین زمان روانی را به خود اختصاص دهد. به بیان دیگر هرگاه منحنی این دو با یکدیگر برخورد داشته و یا گرایش به یک نقطه داشته باشند، عدد نظیر محور افقی آن نقطه را می‌توان به عنوان عدد بھینه دانست. این روند در شکل ۲۲ برای تعیین



شکل ۲۲- بھینه‌یابی تقاطعی نسبت آب به سیمان

نتایج

- زمان روانی ملات تابع نسبت آب به سیمان، عیار سیمان و میزان مصرف فوق روان‌کننده می‌باشد. در طرح مخلوط‌های دارای میکروسیلیس به علت امکان استفاده از فوق‌روان‌کننده‌ی بیشتر نسبت به نمونه‌های مرجع، زمان روانی کاهش و بالطبع تزریق‌پذیری ملات افزایش می‌یابد. ناگفته نماند که طرح‌های با نسبت آب به سیمان بالا و همچنین عیار سیمان بالا، دارای زمان روانی کمتری هستند؛
- مقاومت فشاری ملات با کاهش نسبت آب به سیمان، افزایش درصد مصرف میکروسیلیس و کاهش درصد مصرف منبسط‌کننده، افزایش می‌یابد. تحلیل آماری در این زمینه نشان داد که عیار سیمان اثر چندانی بر روی مقاومت فشاری نمی‌گذارد. بدیهی است که هرچه از سن نمونه می‌گذرد، واکنش هیدراته شدن آب و سیمان کامل‌تر شده و مقاومت فشاری نمونه‌ها افزایش می‌یابد. بالاترین مقاومت فشاری ملات برای طرح مخلوطی با

- در این پژوهش، مهمترین دستاوردهای آزمایشگاهی در خصوص ملات و بتن پیش‌آکنده‌ی بالاستی به شرح زیر است.

- بر اساس مصالح به کار رفته، حداقل میزان مصرف منبسط‌کننده برابر با $0/5$ درصد وزنی سیمان می‌باشد زیرا مقادیر بالاتر از این عدد، موجب تجاوز بعد نمونه از میزان مجاز خود می‌گردد. به‌طور کلی افزودن این ماده موجب کاهش شدید مقاومت فشاری ملات در تمامی طرح‌های مخلوط می‌گردد؛

- هرچه میزان مصرف میکروسیلیس بیشتر باشد، این امکان وجود دارد تا میزان فوق روان‌کننده‌ی بیشتری در ملات اضافه گردد تا به روانی مطلوب برسد زیرا میکروسیلیس به علت خاصیت ذاتی خود در جذب آب، موجب کنترل آب‌انداختگی و تهشیینی ملات در درصدهای بالای مصرف فوق روان‌کننده می‌گردد؛

فشاری قابل قبول برای تحمل بار راه آهن، یک روز می باشد؛

- در ابعاد میکرون، مشاهدات حاکی از آن است که تجمع اترینگایت ثانویه و کلسیم هیدروکسید در نواحی انتقال بین خمیر و سنگدانه بیشتر از سایر نواحی است؛
- برای مطالعات وسیع تر، رابطه‌ای برای تخمین مقاومت فشاری ۲۸ روزه‌ی ملات بر حسب متغیرهای نسبت آب به سیمان، عیار سیمان و درصد مصرف میکروسیلیس استخراج شده است. همچنین با تحلیل حساسیت چند عاملی همزمان، طرح مخلوط بهینه‌ی ملات برای دستیابی به حداکثر مقاومت فشاری و خمی، حداقل زمان روانی و وزن مخصوص برابر با $2/2$ توسط نرم افزار Minitab برابر با نسبت آب به سیمان $0,35$ ، عیار سیمان 850 کیلوگرم بر متر مکعب مصرف میکروسیلیس به میزان 10 درصد وزنی سیمان و عدم مصرف منبسط- کننده پیشنهاد شده است.

نسبت آب به سیمان $0,35$ و میکروسیلیس 10 درصد با عیار سیمان 800 کیلوگرم بر متر مکعب ثبت شد؛

- رفتار خمی نمونه‌های ملات نیز مانند نمونه‌های فشاری است بجز در مورد مصرف منبسط کننده که هرچه میزان مصرف این ماده افزایش پیدا می‌کند، کاهش چشمگیری در مقاومت خمی اتفاق نمی‌افتد و چه بسا مقاومت خمی افزایش می‌یابد. دلیل این امر را می‌توان خاصیت تقویتی منبسط کننده در ناحیه‌ی کششی نمونه‌ها عنوان کرد. نمونه‌های یک روزه برای تمامی طرح‌های مخلوط، قادر مقاومت خمی هستند؛

- زمان گیرش نمونه‌های ملات در این پژوهش بیشتر از ملات سیمان معمولی است. دلیل آن را می‌توان استفاده‌ی بالای عیار سیمان و همچنین بهره‌گیری از فوق روان کننده دانست. از نتایج زمان گیرش می‌توان دریافت که حداقل زمان لازم برای مسدودی خط برای رسیدن به مقاومت

منابع

- [۱] H. S. Abdelgader and A. Elgalhud, "Effect of grout proportions on strength of two-stage concrete," *Structural concrete*, 2008.
- [۲] ASTM, "Standard Test Method for Compressive Strength of Concrete Cylinders Cast in Place in Cylindrical Molds," ed. United States, 2015.
- [۳] ASTM, "Standard Test Method for Splitting Tensile Strength of Cylindrical Concrete Specimens," ed. United States, 2011.
- [۴] ASTM C150, "Standard Specification for Portland Cement," ed. United States, 2015.
- [۵] J. Gorski and H. S. Abdelgader, "Effect of admixtures on fresh grout and two-stage (pre-placed aggregate) concrete," *Structural Concrete*, January 2007, 2007.
- [۶] ACI 304 I.R, "Guide for the Use of Pre Placed Aggregate Concrete for Structural and Mass Concrete Applications," ed. American Concrete Institute, 1997.
- [۷] ASTM D1193, "Standard Specification for Reagent Water," ed. United States, 2011.
- [۸] ACI 234R, "Guide for the Use of Silica Fume in Concrete," ed. United States, 2006.
- [۹] ASTM C1240, "Standard Specification for Silica Fume in Cementitious Mixtures," ed. United States, 2015.
- [۱۰] ASTM C183, "Standard Practice for Sampling and Amount of Testing of Hydraulic Cement," ed. United States, 2016.
- [۱۱] ASTM C305, "Standard Practice for Mechanical Mixing of Hydraulic Cement Pastes and Mortars of Plastic Consistency," ed. United States, 2014.
- [۱۲] ASTM C511, "Standard Specification for Mixing Rooms, Moist Cabinets, Moist Rooms, and Water Storage Tanks Used in the Testing of Hydraulic Cements and Concretes," ed. United States, 2013.

- [۱۳]ASTM C1090, "Standard Test Method for Measuring Changes in Height of Cylindrical Specimens of Hydraulic-cement Grout," ed. United States, 2015.
- [۱۴]ASTM C939, "Standard Test Method for Flow of Grout for Preplaced-Aggregate Concrete (Flow Cone Method)," ed. United States, 2016.
- [۱۵] ASTM C109, "Standard Test Method for Compressive Strength of Hydraulic Cement Mortars," ed. United States, 2013.
- [۱۶]A. A. Ramezanianpour, *Cement Replacement Materials: Properties, Durability, Sustainability*. London: Springer, 2014.
- [۱۷]ASTM C78, "Standard Test Method for Flexural Strength of Concrete (Using Simple Beam with Third-Point Loading)," ed. United States, ASTM.
- [۱۸]ASTM C348, "Standard Test Method for Flexural Strength of Hydraulic-Cement Mortars," ed. United States, 2014.
- [۱۹]A. M. Neville, *Properties of Concrete PDF eBook: PoC PDF eBook_o5*. Pearson Education, 2012.
- [۲۰]ASTM C953, "Standard Test Method for Time of Setting of Grouts for Preplaced-Aggregate Concrete in the Laboratory," ed. United States, 2010.
- [۲۱]ASTM C191, "Standard Test Methods for Time of Setting of Hydraulic Cement by Vicat Needle," ed. United States, 2013.
- [۲۲]P. K. Mehta and D. J. M. Monteiro, *Concrete (Microstructure, Properties, and Materials) (Advanced Concrete Technology)*. California, 2004.

پایش آزمایشگاهی مقاومت الکتریکی بتن



مهردی چیرانی

استادیار مرکز تحقیقات وزارت راه، مسکن و شهرسازی
عضو هیات مدیره انجمن بتن ایران



علی اکبر کفاش بازاروی

رئیس مرکز تحقیق و توسعه مجتمع صنعتی سیمان تهران
عضو انجمن بتن ایران

چکیده

روش‌های رایج کنترل گیرش، سخت‌شدنگی، روند کسب مقاومت بتن، آزمایش‌های تعیین زمان گیرش ملات ISIRI 392 و بتن ISIRI 6046 و تعیین مقاومت فشاری بتن ISIRI 3206 می‌باشد. با توجه به اینکه این روش‌های فیزیکی و مکانیکی با چارچوب عملی معین و قراردادی، بطور کامل رفتار بتن و روند تغییرات حالات فازها طی فرآیند هیدراته شدن را نمایش نمی‌دهد و همچنین زمان-بر و هزینه-بر هستند، استفاده از روش مقاومت الکتریکی بتن، امکان این پایش را میسر کرده است. از این‌رو در این مطالعه با طراحی یک عملیات آزمایشگاهی گسترشده، رفتار الکتریکی بتن مورد بررسی قرار گرفت. در مرحله اول ۱۱ نمونه سیمان تهیه شدند که مقادیر فازهای آنها تنوع داشتند، اما به واسطه سیمان‌سازی آزمایشگاهی، نرمی و دانه‌بندی آنها شرایط تقریباً یکسانی داشت. آنالیز فیزیکی و شیمیائی نمونه‌های سیمان صورت گرفت. در مرحله بعد ۲۲ مخلوط بتنی با ۱۱ نمونه سیمان تهیه گردید، بطوریکه ۱۱ مخلوط با عنوان شاهد (فاقد افزودنی) و ۱۱ مخلوط با مقدار ثابت افزودنی فوق روان کننده (بر پایه پلی کربوکسیلات) بودند. بر روی مخلوط‌های بتنی آزمایش‌های تعیین مقاومت فشاری بتن سخت شده ۷، ۲۸ و ۹۰ روزه انجام شد. همچنین آزمایش تعیین مقاومت الکتریکی انجام شد که از زمان تماس سیمان با آب تا ۳۱ روز بعد بطور مرتب قرائت‌ها صورت گرفت. نتایج حاصله، نشان داد که حداقل سه پیک ۸، ۱۶ و ۲۳ روز در منحنی مقاومت الکتریکی طی مرور زمان آزمایش دیده می‌شود. تقریباً در همه نمونه‌ها مقاومت الکتریکی تا حدود ۳ ساعت کاهش یافته است که زمان گیرش بتن را نشان می‌دهد. بر اساس نتایج این مطالعه، روابطی ارائه شد.

واژه‌های کلیدی: مقاومت الکتریکی، سیمان، بتن، افزودنی.

مشخصات عملکرد ذکر شده است. روش‌های الکتروشیمیایی شامل اندازه‌گیری رسانایی و مقاومت آن به عنوان روش‌هایی برای ارزیابی خواص انتقالی و همچنین تغییرات در محلول‌های منفذ و ریزساختارها در مواد پایه

مقدمه

پایش‌های مقاومت الکتریکی بتن با هدف ارائه اطلاعات سریع‌تر و آسان‌تر توسعه یافته‌اند. برخی از این روش‌ها استاندارد شده‌اند و حداکثر مقادیر نتایج آزمون در

داشت. هدایت الکتریکی با استفاده از تجهیزات این آزمایش اندازه‌گیری شد، اما چندین انحراف از روش آزمون استاندارد وجود داشته است. با توجه به رسانایی زیاد در سالین اولیه و حداکثر جریان مجاز ۵۰۰ میلی آمپر برای تجهیزات مورد استفاده، ۳۰ ولت به جای ۶۰ ولت معمول استفاده شد. محلول هیدروکسید سدیم $\frac{1}{3}$ نرمال در هر دو محفظه آزمایش مصرف شده بود. این محققان یک روش خودکار برای جمع‌آوری داده‌ها در فواصل ۳ ساعته طی هفته اول و سپس در فواصل هفتگی تا رسیدن آزمونهای به سن ۲۸ روز استفاده کردند. در هر بازه آزمایش، ۳۰ ولت قبل از ثبت اندازه‌گیری مورد استفاده برای محاسبه رسانایی و ۱۵ دقیقه روی آزمونهای اعمال شده است. روش خودکار به کاربر اجازه می‌دهد که طی مدت زمان استفاده از ولتاژ مدنظر برای هر آزمایش، فاصله زمانی بین چرخه‌ها، تعداد چرخه‌ها و تعداد آزمونهای اعمال شود. در این مطالعه، تفاوت معنی‌داری میان اندازه‌گیری‌های انجام شده در ۵ و ۱۵ دقیقه وجود نداشته است. تاثیرات نسبت C/W و مواد مکمل سیمانی به وضوح در نتایج این مطالعه دیده شده است. بیشترین کاهش هدایت در هفته اول پس از عمل آوری رخ داده است. آنها با توجه به نتایج رابطه‌ای ارائه نمودند [۲۶].

لی و همکاران (۲۰۰۷) نتایج دو آزمایش زمان گیرش اولیه و نهائی بتن تازه [۲۷] و تعیین مقاومت الکتریکی بتن را با هم مقایسه کردند که نشان داد ارتباط مستقیم و واضحی دارد (شکل ۱) [۲۸-۲۹].

سیمانی پیشنهاد شده‌اند [۱-۲]. این روش‌ها علاوه بر سرعت زیاد، اجازه ادامه آزمایش همان آزمونه را حین کار و بدون ایجاد اختلال در آن را به ما می‌دهد. استفاده از روش مقاومت الکتریکی توسط محقق ژاپنی شیمیزو (۱۹۲۸) آغاز شد که سیمان پرتلندر را با اندازه‌گیری هدایت الکتریکی آن مورد مطالعه قرار داد [۳]. این روش در علم بتن مدرن برای تعیین میزان آب در بتن [۴] نسبت آب به سیمان [۵]، تحقیق در مراحل اولیه گیرش خمیر سیمان و سفت شدن ملات [۶-۱۰]، تعیین زمان گیرش خمیر سیمان و سیمان و بتن [۱۰-۱۴]، تحقیق و ارزیابی خواص ساختاری مختلف بتن‌ها از جمله ویژگی‌های نفوذپذیری آنها [۱۹-۲۴] و بررسی الگوهای مقاومت‌سازی [۲۰-۲۳] توسعه یافته است. مطالعات مونفور (۱۹۷۰) نیز در مورد خصوصیات الکتریکی بتن، به دو صورت DC^1 و AC^2 جهت بررسی تاثیر عمل آوری بتن بر مقاومت الکتریکی بتن بوده است.

مایکل و همکاران (۲۰۰۶) مخلوطهای بتنی مختلف با کارائی زیاد (HPC³)، نسبت آب به سیمان ۴۰/۰ حاوی، میکروسیلیس، خاکستر بادی، سرباره و نیز مخلوط بتنی معمولی با نسبت آب به سیمان ۶۹/۰ و سیمان پرتلندر تهیه نمودند. آنها آزمونهای را در سه حالت اشباع، خشک و اشباع با سطح خشک (SSD) با نوار الکتریکی وینیل بسته‌بندی کردند. آزمونهای طی ۷ روز اول در دستگاه آزمایش استاندارد تعیین مقاومت الکتریکی بتن در برابر نفوذ یون کلرید (ASTM C1202) نگهداری شدند [۲۵] و سپس در اندازه‌گیری‌های بعدی در آب اشباع از آهک عمل آوری شدند. آزمایش دو آزمونه مشابه در سالین مختلف ادامه

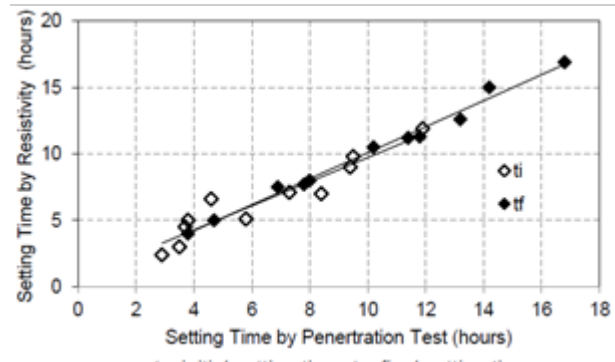
1- Direct current (DC)

2 -Alternating current (AC)

3- High-performance concrete (HPC)

الکتریکی مطالعه نمودند. سپس نقش دمای آزمونه و اهمیت عمل آوری (میزان هیدراته شدن و میزان اشباع) را مورد بررسی قرار دادند. نتایج آنها نشان داد که هر دو مقاومت محلول منافذ و اندازه گیری مقاومت آزمونه از EA- رابطه آرنسوس با انرژی فعال سازی مختلف هدایت (Cond) پیروی می کند. همچنین آنها مشاهده کردند که وقتی آزمونه های سخت شده در محلول های مختلف با حجم های مختلف عمل آوری می شوند، نتایج ناسازگار به دست می آید که به زعم آنها مربوط به رقیق شدن محلول منافذ است و به نظر می رسد که طیف فرکانس اندازه گیری شده را تغییر می دهد. به این ترتیب، آزمایش در فرکانس های متغیر، توانایی کاهش این اثرات را دارد، اما برای آزمایش در فرکانس ثابت حجم محلول اطراف آزمونه باید به شدت کنترل شود [۳۱].

لیاسی و همکاران (۲۰۱۵) اندازه گیری مقاومت الکتریکی به دو روش تک محوره و ونر ارزیابی نمودند. بر این اساس، در حالی که روش تک محوری برای آزمونه های بتنی یا مغزه های حفاری شده مناسب است، روش ونر انتخاب بهتری برای ارزیابی در محل است. رابطه غیرخطی بین مقاومت الکتریکی و مقادیر^۱ RCP تا حد زیادی نتیجه تغییرات در دما و خواص محلول منافذ در طول آزمایش RCP می باشد. رابطه بین مقاومت الکتریکی و ضریب نفوذ RCP برای تعیین معیارهای مورد نیاز برای کنترل کیفیت بتن بر اساس دوام به ویژه معیارهای مورد نیاز برای طبقه بندي نفوذ پذیری کلرید بتن مناسب تر است [۳۲].



شکل ۱: ارتباط زمان گیرش بتن و مقاومت الکتریکی آن [۲۸]

سنگول و جرو (۲۰۰۷) مقاومت الکتریکی برای کنترل کیفیت بتن حین ساخت و دوام آن را مطالعه نمودند. برنامه آزمایشگاهی این محققان عمدتاً بر اساس آزمایش الکترود (ونر) مقاومت الکتریکی با فواصل پرابهای مختلف و هندسه متفاوت آزمونه ها بود. نتایج آنها نشان داد که برای شرایط آزمایش ها، مقاومت الکتریکی حاصل از روش ونر متفاوت از مقاومت کسب شده در روش دو الکترود است. لذا نتیجه گرفتند که برای نوع خاصی از آزمونه بتن با شرایط رطوبت و دما، روش ونر، یک روش آزمایشی مناسب و قابل اطمینان برای کنترل کیفیت مقاومت الکتریکی بر اساس عملکرد و در نتیجه دوام بتن است [۳۰]. اسپرگ و همکاران (۲۰۱۲) عوامل موثر بر اندازه گیری مقاومت الکتریکی در سیستم های سیمانی را بررسی نمودند. به زعم آنها چندین عامل کلیدی وجود دارد که می توانند نتایج مقاومت الکتریکی بتن را تحت تأثیر قرار دهند: هندسه، دما و عمل آوری آزمونه. بنابراین آنها ابتدا با استفاده از سه هندسه متدائل: الکترودهای سطحی، تک محوری و جاسازی شده، نقش هندسه آزمونه را بر مقاومت

آنها مشاهده کردند که مقاومت الکتریکی ظاهری بتن با مقدار آب، عمق اندازه‌گیری و فواصل پرابها ارتباط مستقیمی دارد [۳۹].

اوپلا و همکاران (۲۰۱۷) ارتباط مقاومت الکتریکی بتن تازه را با نسبت‌های مخلوط بتن ارزیابی نمودند. آنها مقاومت الکتریکی هر مخلوط را با یک قالب بتن تازه استوانه‌ای بررسی کردند. لذا نحوه تأثیر نسبت‌های مختلف مخلوط بتن (مقادیر مختلف سیمان و آب) بر مقاومت الکتریکی بتن ارزیابی شد. سیمان با تولید یون‌ها (Na^+ , K^+ و OH^-) که منبع اصلی هدایت الکتریکی می‌باشد و آب با ایجاد مجاري رسانا این اثر را می‌گذارد. در یازده مخلوط بتنی مذکور مقادیر w/c ، مقدار خمیر، میزان هوا، مقدار خاکستر بادی، میزان مصرف کنه کاهنده آب و مقدار قلیایی سیمان، متفاوت بود. به زعم آنها فقط اندازه‌گیری مقاومت الکتریکی بتن می‌تواند میزان عملکرد خمیر مخلوط یا محصول را پیش‌بینی کند [۴۰].

استاکلمبرگ و همکاران (۲۰۱۸) خواص ترکیبات سیمانی- بتنی (CCC¹) را با استفاده از روش مقاومت الکتریکی بررسی نمودند. این ترکیبات طی فرآیند سخت شدن مدادوم در حال تغییر هستند؛ بطوريکه در مراحل اولیه سخت شدن، خواص پلاستیکی چسبناک داشته، حال آنکه در ساختار نهایی، سنگ مصنوعی غالباً دارای خواص الاستیک است. پارامترهای فنی (نسبت W/C , اسلامپ، زمان گیرش، مقاومت و غیره) نیز عمدتاً با یکدیگر ناسازگاری دارند. این امر، اجرای عملی و نظارت CCC را پیچیده می‌کند. در این مطالعه، از حسکرهای اندازه‌گیری مختلفی

هیز و همکاران (۲۰۱۵) یک روش بهبود یافته برای اندازه‌گیری مقاومت الکتریکی بتن معرفی کردند که مشکلات ناشی از اثرات قطبی شدن و واکنش خازنی را برطرف می‌کند. نتایج بتن تازه و سخت شده حاصله با روش پیشنهادی نیز ارائه شد و با نتایج با استفاده از روش‌های مرسوم تر مقایسه گردید که مطلوب بوده است [۳۳].

آذرسرا و گوپتا (۲۰۱۷) مقاومت الکتریکی بتن برای ارزیابی دوام را بطور مفصل بررسی نمودند. با توجه به نتایج مختلف و مقالات تحلیل شده، این محققان موارد زیر را تاکید نمودند: الف- تأثیر وجود میلگرد در بتن برای این ارزیابی؛ ب- وجود ترک و شواهد آن؛ ج- وضعیت رطوبت و دمای بتن [۲۲ و ۲۴] (حال SSD توصیه شده است)؛ د- نحوه اتصال مناسب الکترودها ب بتن؛ ه- اثر نوع سنجدانه در نتایج؛ و- اثر فرآیند کربناته شدن؛ ز- اثر یون کلر (که با مقاومت رابطه معکوس دارد و همبستگی و رابطه مستقیم نتایج مقاومت الکتریکی بتن و میزان خوردگی‌ها)؛ ح- ارتباط مستقیم مقاومت فشاری بتن، مقاومت الکتریکی و تخلخل بتن [۳۵]؛ ط- نحوه آرایش هندسی قرارگیری الکترودها جهت اندازه‌گیری [۳۶-۳۷]؛ شرایط محیطی [۳۸].

میناگاوا و همکاران (۲۰۱۷) مقاومت الکتریکی بتن برای طراحی روش‌های ضد خوردگی الکتروشیمیایی یا شاخص دوام سازه‌های بتن مسلح را مطالعه کردند. در این مطالعه، مکانیسم وابستگی فاصله پرابها به مقاومت الکتریکی ظاهری بتن با گرادیان رطوبت در جهت عمق بررسی شد.

را کمی کاهش داده و بر مقاومت تأثیر نمی‌گذارد؛^۶ برای همه مخلوطهای بتنی مورد ارزیابی، خشک شدن آزمونه اشبع، مقاومت را افزایش می‌دهد؛^۷ برای مخلوطهای مختلف ارزیابی شده، آزمونهای بتنی که تحت شرایط یکسان عمل آوری شود، دارای ارزش درجه اشبع متفاوتی در پایان دوره عمل آوری بودند؛^۸ دقیق آزمون BR به طور قابل ملاحظه‌ای بهتر از RCPT و تا حدی بهتر از آزمون^۹ است [۴۳].

کسلی و همکاران (۲۰۲۰) روش‌های پیشرفتی اندازه‌گیری امپدانس الکتریکی (و در نتیجه مقاومت الکتریکی) ملات و بتن را تجزیه و تحلیل نمودند. این محققان با بررسی بیش از بیست مطالعه دیگر، انواع روش‌های مختلف را شرح دادند که مزایا و معایب آنها با توجه به عملکرد، قابلیت اطمینان و میزان بلوغ آنها مشخص می‌شود. هر دو روش نظارت و بازرسی با استفاده از اندازه‌گیری مقاومت الکتریکی امکان‌پذیر است. مقاومت الکتریکی یک شاخص مهم برای وضعیت سلامتی ملات با بتن است، زیرا هر زمان که پدیده‌هایی باعث تغییر در رسانایی ملات با بتن می‌شود، تغییر کند، این روش به عنوان راهنمای عمل می‌نماید. این محققان برای بکارگیری روش مقاومت الکتریکی بتن توصیه‌هایی (مانند توجه به رطوبت سطح اندازه‌گیری، دمای هوا و بتن، نحوه قرارگیری میگرد)،

(سن-)ورهای الکترود دوگانه نوع تست [۹ و ۱۲]، سیستم‌های پیچیده بدون تماس [۶ و ۲۲] و چند الکترود [۴۱] استفاده شده است [۴۲].

اویلا و همکاران (۲۰۲۰) طی یک مطالعه مفصل بر روی مقاومت الکتریکی بتن، نتایج زیر را اعلام نمودند: ۱. طبقه‌بندی مخلوطهای بتنی برای نفوذپذیری کلرید تا زمانی که از یک روش عمل آوری واحد استفاده شود، معتبر است؛ ۲. بسته به روش عمل آوری مورد استفاده و مقاومت اندازه‌گیری شده، مخلوط یکسان را می‌توان بر اساس معیارهای مربوطه در دو گروه مختلف برای نفوذپذیری کلرید طبقه‌بندی کرد؛ ۳. نتایج مقاومت سطحی حدود ۲۰-۱۰٪ کمتر از مقاومت اندازه‌گیری شده حجمی در آزمونهای بتن در این مطالعه بود. در نتیجه، موارد متعددی وجود داشت که طبقه‌بندی نفوذپذیری کلرید بر SR^۱ یک سطح از طبقه‌بندی بر اساس BR^۲ اندازه‌گیری شده را کاهش داد؛ ۴. نتایج رسانایی با نتایج RCP^۳ ارتباط خوبی دارد؛ ۵. درجه اشبع^۴ اندازه‌گیری شده مخلوطهای بتنی هوازائی شده به طور متوسط ۰.۲۰٪ کمتر از مخلوطهای معادل بتنی هوازائی نشده است. مقاومت فشاری اندازه‌گیری شده برای مخلوطهای بتنی هوازائی شده ۰.۲۵٪ بیشتر و نتایج RCP^۴ در مقایسه با مخلوطهای معادل بتن هوازائی نشده ۰.۲۰٪ کمتر بود. برای یک مخلوط بتنی هوازائی نشده، افزایش ۳-۲٪ میزان هوا، درجه اشبع

1 The Surface Resistivity (SR) Test

2 bulk resistivity (BR)

3 degree of saturation (DOS)

4 Chloride penetrability (RCP)

5 surface resistivity (SR)

نمونه‌های سیمان صورت گرفت (شکل ۲). یک نمونه افروزنی فوق روان کننده پر مصرف در تهران نیز تهیه گردید. فوق روان کننده مذکور بر پایه پلی کربوکسیلات اتر بود. در مرحله بعد ۲۲ مخلوط بتنی با ۱۱ نمونه سیمان تهیه گردید. ۱۱ مخلوط با عنوان شاهد (فاقد افروزنی) با هدف دستیابی به اسلامپ 8 ± 0.5 سانتی‌متر ساخته شد و ۱۱ مخلوط با عنوان دارای افروزنی نیز در شروع با هدف دستیابی به اسلامپ 8 ± 0.5 سانتی‌متر تهیه گردید؛ سپس به مقدار $3/0.0$ % وزنی سیمان از افروزنی فوق روان کننده (کاهنده آب) به مخلوط بتن اضافه شد تا اسلامپ بتن در محدوده S3 یعنی اسلامپ $150-100$ میلی‌متر گردد (BS8500-2003). بر روی مخلوط‌های بتنی آزمایش‌های تعیین مقاومت فشاری بتن سخت شده $7, 28$ و 90 روزه انجام شد. همچنین آزمایش تعیین مقاومت الکتریکی انجام شد که از زمان تماس سیمان با آب تا 31 روز بعد بطور مرتب قرائت‌ها صورت گرفت.

حداکثر اندازه سنگدانه‌های بتن، میزان فرکанс مورد استفاده و غیره) ارائه کردند [۴۴].

هدف از این مطالعه، بررسی بومی روش پاییش مقاومت الکتریکی بتن با استفاده از سیمان‌های متنوعی است که آنالیز شیمیائی دارند. از این‌رو روش اندازه‌گیری مقاومت الکتریکی بتن سخت شده مدنظر نبود.

برنامه آزمایشگاهی

در مرحله اول ۱۱ نمونه کلینکر از کارخانه سیمان تهران نمونه‌گیری شد که مقادیر فازهای آنها تنوع داشتند. یک نمونه گچ تهیه و آنالیز شیمیائی شد. با استفاده از این کلینکرها و یک آسیاب آزمایشگاهی، سیمان‌سازی آزمایشگاهی صورت گرفت که ترکیبی از 96% کلینکر و 4% گچ با ملاک دستیابی به شاخص 3000 ± 50 سانتی متر مربع بر گرم بود. نرمی و دانه‌بندی نمونه‌های سیمان شرایط تقریباً یکسانی داشتند. آنالیز فیزیکی و شیمیائی

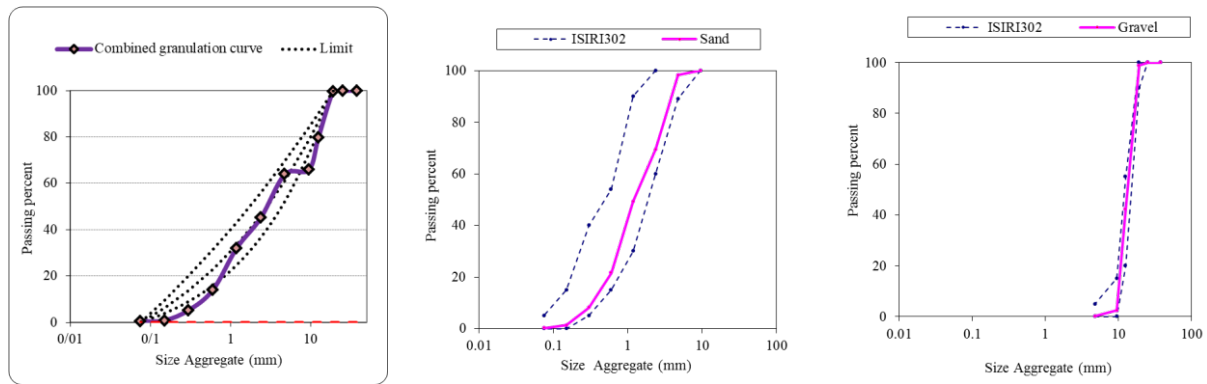


شکل ۲ سیمان‌سازی آزمایشگاهی و تعیین مشخصات فیزیکی و مکانیکی آنها

شکل ۳ و جدول ۱ مشخصات سنگدانه‌های مصرفی در این مطالعه را نشان می‌دهد. محل تهیه مصالح سنگدانه‌ای از غرب تهران (منطقه شهریار) می‌باشد.

جدول ۱: مشخصات فنی مصالح مورد استفاده در طرح‌های مخلوط بتنی

نوع سنگدانه	حداکثر اندازه سنگدانه (MSA)	مدول نرمی (FM)	جذب آب (%)	چگالی (SSD)	شکستگی (%)	عبوری از الک ۲۰۰ (%)	
شن نیمه شکسته (بادامی)	۱۹	*	۲/۶	۲/۵۳	۷۹	۰/۱	
ماسه طبیعی	*	۳/۵	۳/۹	۲/۵۴	*	۰/۲	



شکل ۳ نمودارهای دانه‌بندی شن (سمت راست)، ماسه (وسط) و ترکیب مصالح (سمت چپ) مصرفی در مخلوطهای بتن

مقاومت فشاری بتن سخت شده ۷، ۲۸ و ۹۰ روزه همه مخلوطهای بتنی اندازه‌گیری شدند (شکل ۴). اندازه‌گیری مقاومت الکتریکی با تنظیمات معرفی شده در مقاله NIST توسط K. Obla [۸] که روشی جدید برای بتن تازه می‌باشد. از هر مخلوط بتنی ۲ قالب استوانهای با طول ۲۰ سانتی‌متر و قطر ۱۰ سانتی‌متر (4×8 اینچ) تهیه شد. قالب‌ها به صورت یکبار مصرف و مخصوص این پروژه طراحی و ساخته شدند، بطونیکه دو عدد پین فلزی (استیل) با فاصله ۱۰ سانتی‌متر و ارتفاع ۱۵ سانتی‌متر در بتن مدفون شدند. جریان بین دو الکترود وارد شده در آزمونه اعمال گردید و ولتاژ به طور همزمان اندازه‌گیری شد. مقاومت الکتریکی از نسبت ولتاژ اندازه‌گیری شده به جریان اعمالی محاسبه و مستقیماً توسط دستگاه گزارش می‌شود. در مجموع ۴۴ قالب و ۸۸ پین تهیه شد که قرائتها در سالین، ۰، ۱، ۲، ۳، ۶، ۲۴، ۴۸، ۳۰، ۵۴، ۵۴، ... و ۷۷۴ ساعت (۳۲ روز) انجام گردید. دستگاه اندازه‌گیری مقاومت الکتریکی نیز متناسب با کار طراحی و تهیه شد.

در کلیه مخلوطهای، کیفیت مصالح سنگدانه‌ای و آب، مقادیر وزنی مصالح، شرایط فیزیکی همچون دما، ابزار مورد استفاده، آزمونگرهای و شرایط عمل آوری تا حد امکان ثابت بوده‌اند تا با ایجاد شرایطی یکسان تنها متغیر فازهای کلینکر مصرف شده در سیمان مصرفی باشد (شکل ۲). عیار سیمان مورد استفاده در کلیه طرح‌ها نیز 350 kg/m^3 بود. طراحی مخلوطهای به روش ملی انجام شد و توان متناظر در رابطه فولر-تامسون اصلاح شده با استفاده از جدول پیشنهادی مربوطه حدود 0.35 در نظر گرفته شد که کاربرد گسترده‌ای (تیر، دال، ستون و مقاطع مختلف با رده روانی خمیری تا روان) دارد. برای تهیه این مخلوط 65% ماسه با 35% شن درشت استفاده شد (نمودار شکل ۳ و جدول ۲).

جدول ۲: مشخصات کلی طرح‌های مخلوط بتنی

مقادیر وزنی در یک مترمکعب یتن (بر حسب کیلوگرم)	مقدار	نسبت آب	ماسه
کیلوگرم)	افزودنی	به سیمان	شن (SSD)
	نسبت به سیمان (%)	سیمان آب افزودنی	شن (SSD)
۰/۳	۰/۴۷	۱/۰۲۷	۳۵۰
		۱۶۶	۶۱۷
			۱۱۶۲



شکل ۴ تهیه مخلوطهای بتنی و آزمایش‌های مربوطه

بین دو الکترود اندازه گیری گردید. رابطه ۲ ضریب هندسی مورد استفاده در این روش را نشان می‌دهد که A سطح مقطع نمونه و L ارتفاع نمونه استوانه‌ای بتن است.

$$K = \frac{A}{L} \quad (1)$$

نکات مهم در نحوه اندازه گیری مقاومت الکتریکی بتن بدین صورت بود:

﴿ محل قرارگیری دستگاه به گونه‌ای بوده تا طی کل فرآیند آزمایشگاهی و برای قرائت آزمونهای نیاز به جابجائی دستگاه وجود نداشته باشد؛

﴿ مقدار K (که یک ضریب ثابت در محاسبات مقاومت می‌باشد) را در همه قرائتها عدد ثابت ۱۰ در نظر گرفته شد؛

﴿ در هر مرحله از قرائتها، مقدار Z (مقاومت الکتریکی نمایشگر دستگاه) با اعداد قبلی و آزمونهای مشابه کنترل شد؛

﴿ در صورتیکه دستگاه عدد نامرتب نشان می‌داد، مقادیر K و φ (زاویه مابین دو الکترود دستگاه حین اندازه گیری مقاومت الکتریکی) کنترل می‌شد. با توجه به اینکه پراب و کابل‌های دستگاه به دو پین مدفون در بتن نصب می‌شدند و موازی

مقاومت یا امپدانس الکتریکی (Z)، مقاومتی است که تحت یک اختلاف پتانسیل متناوب در برابر جریان الکتریکی متناوب ظاهر می‌شود و واحد SI آن اهم (Ω) است. عواملی همچون سطح مقطع رسانا، نحوه قرارگیری آنها، دما و مقاومت الکتریکی ویژه بر مقاومت الکتریکی موثرند. از این‌رو با موازی قرار دادن صفحات رسانا، φ (زاویه مابین دو الکترود دستگاه حین اندازه گیری مقاومت الکتریکی) ثبیت گردید، همواره از دو صفحه رسانای ثابت (با مقاومت الکتریکی ویژه مشخص) در دمای نسبتاً ثابت آزمایشگاهی بهره گیری شد. مقاومت ویژه بتن مشخصه ذاتی آن بوده که مستقل از شکل هندسی نمونه است و عموماً آن را با ρ نشان می‌دهند (رابطه ۱).

$$\rho = k \cdot R \quad (1)$$

در روش تعیین مقاومت الکتریکی حجمی بتن، آزمونه بتنی بین دو الکترود قرار می‌گیرد. برای اطمینان از اتصال مناسب نمونه و الکترود از دو اسفنج مرطوب استفاده شد. یک جریان متناوب به نمونه اعمال شده و اختلاف پتانسیل

نتایج آزمایشگاهی، بحث و تحلیل

یکدیگر بودند، مقدار φ باید صفر باشد تا مقدار Z صحت داشته

باشد؛

جدول ۳ آنالیز شیمیائی نمونه‌های کلینکر مورد استفاده در این

► در هر مرحله از قرائت‌ها، تکرارپذیری حداقل یک قرائت

کنترل شده است.

مطالعه را نشان می‌دهد. بر اساس نتایج حاصله که مقادیر $C3S$

► ضریب مقدار قرائت شده ۰/۱۴۵ به عنوان مقاومت

الکتریکی اعمال شد.

حدود $۶۱/۴$ - $۴۹/۶$ و $C3A$ حدود $۷/۴$ - $۳/۷$ % می‌باشند. بنابراین

کلینکرهای متنوعی برای سیمان‌سازی وجود دارند.

جدول ۳: آنالیز شیمیائی نمونه‌های کلینکر مورد استفاده در سیمان‌سازی آزمایشگاهی (به روش شیمی تر)

Free CaO	C4AF	C3A	C2S	C3S	AlM	SiM	LSF	CaO	Fe2O3	Al2O3	SiO2	Sample Code
0.70	14.0	6.0	25.8	49.6	1.13	2.25	89.7	63.5	4.6	5.2	22.02	5263
1.01	12.8	5.0	26.5	50.0	1.09	2.56	89.1	63.12	4.2	4.56	22.4	5159
0.84	11.7	4.5	21.6	56.3	1.08	2.79	91.2	63.72	3.84	4.16	22.32	5154
0.39	12.1	3.7	16.5	61.4	0.99	2.77	93.2	63.88	3.96	3.94	21.9	5155
0.48	13.6	5.8	28.0	48.1	1.13	2.35	88.8	63.54	4.48	5.04	22.4	5162
0.70	12.5	6.1	35.7	41.5	1.19	2.58	85.8	63.34	4.12	4.92	23.34	5156
0.56	11.9	6.1	25.1	51.2	1.23	2.54	90.0	63.36	3.92	4.82	22.2	5158
0.39	11.9	6.0	25.8	51.3	1.22	2.60	89.8	63.86	3.9	4.76	22.5	5157
0.42	12.3	7.4	23.5	51.9	1.33	2.32	91.0	63.84	4.04	5.38	21.84	5153
0.45	11.8	5.6	19.4	57.8	1.19	2.59	92.4	64.16	3.88	4.6	21.96	5160
0.42	12.2	5.7	26.3	50.4	1.18	2.57	89.4	63.48	4	4.72	22.44	5161

آنالیز گچ مصرفی برای سیمان‌سازی آزمایشگاهی به صورت جدول ۴ می‌باشد. این آنالیز شیمیائی نشان می‌دهد که گچ مصرفی کیفیت مرغوبی دارد.

جدول ۴: آنالیز شیمیائی گچ مورد استفاده در سیمان‌سازی آزمایشگاهی (به روش شیمی تر)

Molecular water	CaSO4	SO3	MgO	CaO	Fe2O3	Al2O3	SiO2
18.42	70.6	41.54	0.78	31.8	0.22	0.78	1.84

در جدول ۵ نتایج آنالیز فیزیکی و مکانیکی سیمان‌سازی‌های آزمایشگاهی آمده است. نتایج دانه‌بندی سیمان بیانگر شباهت در نرمی آنها بود.

جدول ۵: نتایج آنالیز فیزیکی و مکانیکی سیمان‌سازی‌های آزمایشگاهی

Code	Compressive Strength-Mortar (kg/cm ²)			Setting Time (min)		Normal Consistency (%)	Retained on sieve (%)		Blaine (cm ² /gr)
	2 Days	7 Days	28 Days	Initial	Final		90 μ	45 μ	
5153	180	316	472	230	310	23.5	1.34	12.04	2951
5154	176	291	430	230	300	23.5	1.32	11.36	3052
5155	172	303	343	240	315	24.0	1.30	11.46	3052
5156	132	286	466	230	310	23.5	1.18	12.26	2951
5157	206	335	492	215	290	24.0	1.78	13.64	2985
5158	163	321	493	240	315	23.5	1.24	12.84	2951
5159	146	286	466	215	295	23.5	1.34	15.42	2985
5160	222	307	514	190	265	23.5	0.88	10.22	2985
5161	167	308	494	240	315	23.5	1.24	12.34	3019
5162	150	311	534	240	320	24.0	1.20	12.22	2951
5163	169	296	446	250	325	23.5	2.08	14.20	3019

جدول ۶ خلاصه‌ای از نتایج بتن تازه و سخت شده را نشان می‌دهد.

جدول ۶: نتایج آزمایش‌های مخلوطهای بتنی ساخته شده با سیمان‌سازی‌های آزمایشگاهی

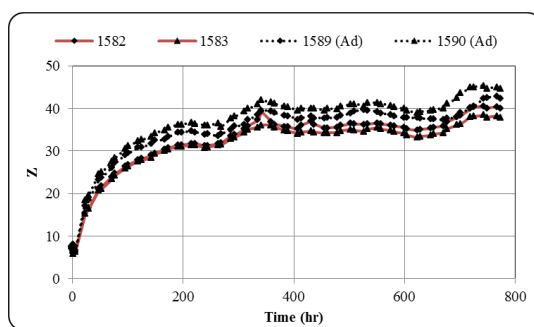
Code	Without Admixture (Normal)						With Admixture					
	Fresh Concrete		Compressive Strength-Concrete (kg/cm ²)			Fresh Concrete		Compressive Strength Concrete (kg/cm ²)				
	Slump (mm)	w/c	7 Days	28 Days	90 Days	Slump (mm)	w/c	7 Days	28 Days	90 Days		
5153	80	0.55	247	397	488	80	0.47	250	411	479		
5154	90	0.54	248	392	427	85	0.48	286	458	438		
5155	80	0.59	219	377	433	80	0.54	236	373	468		
5156	80	0.56	209	392	499	80	0.51	225	389	479		
5157	80	0.53	246	440	545	80	0.48	272	429	438		
5158	80	0.57	239	382	490	80	0.52	254	401	425		
5159	80	0.54	278	439	582	80	0.50	272	436	564		
5160	80	0.54	284	428	451	80	0.48	328	443	505		
5161	80	0.51	274	453	496	80	0.46	299	462	463		
5162	85	0.56	251	366	500	85	0.51	277	399	464		
5163	80	0.54	271	390	470	80	0.50	272	363	463		

نمودار نتایج مقاومت الکتریکی آزمونهای در شکل ۵ دیده می‌شود. - تقریباً سه پیک در همه آزمونهای مشاهده شد:

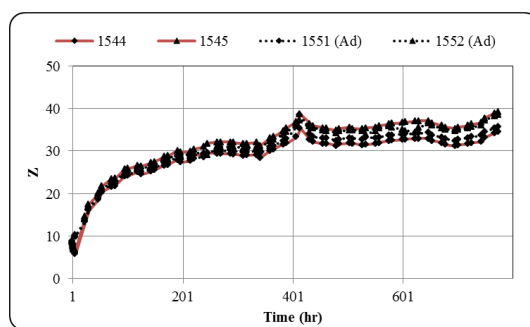
پیک اول حدود ۲۰۰ ساعت (۸ روز) ... ✓

پیک دوم حدود ۴۰۰ ساعت (۱۶ روز) ... ✓

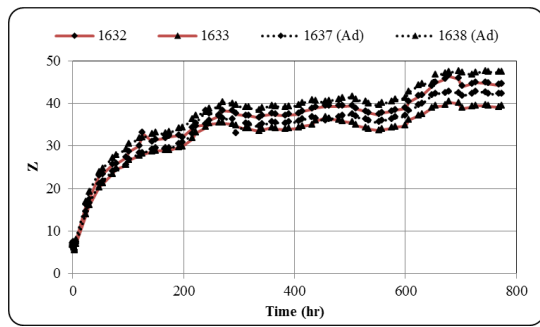
پیک سوم حدود ۵۶۰ ساعت (۲۳ روز) ... ✓



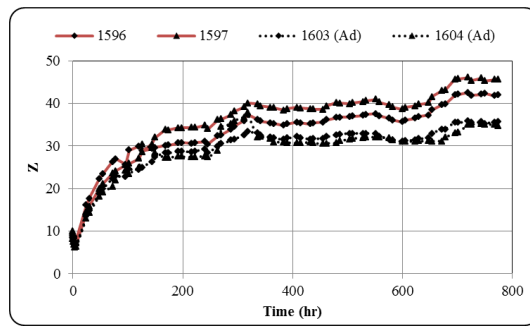
۵۱۵۴



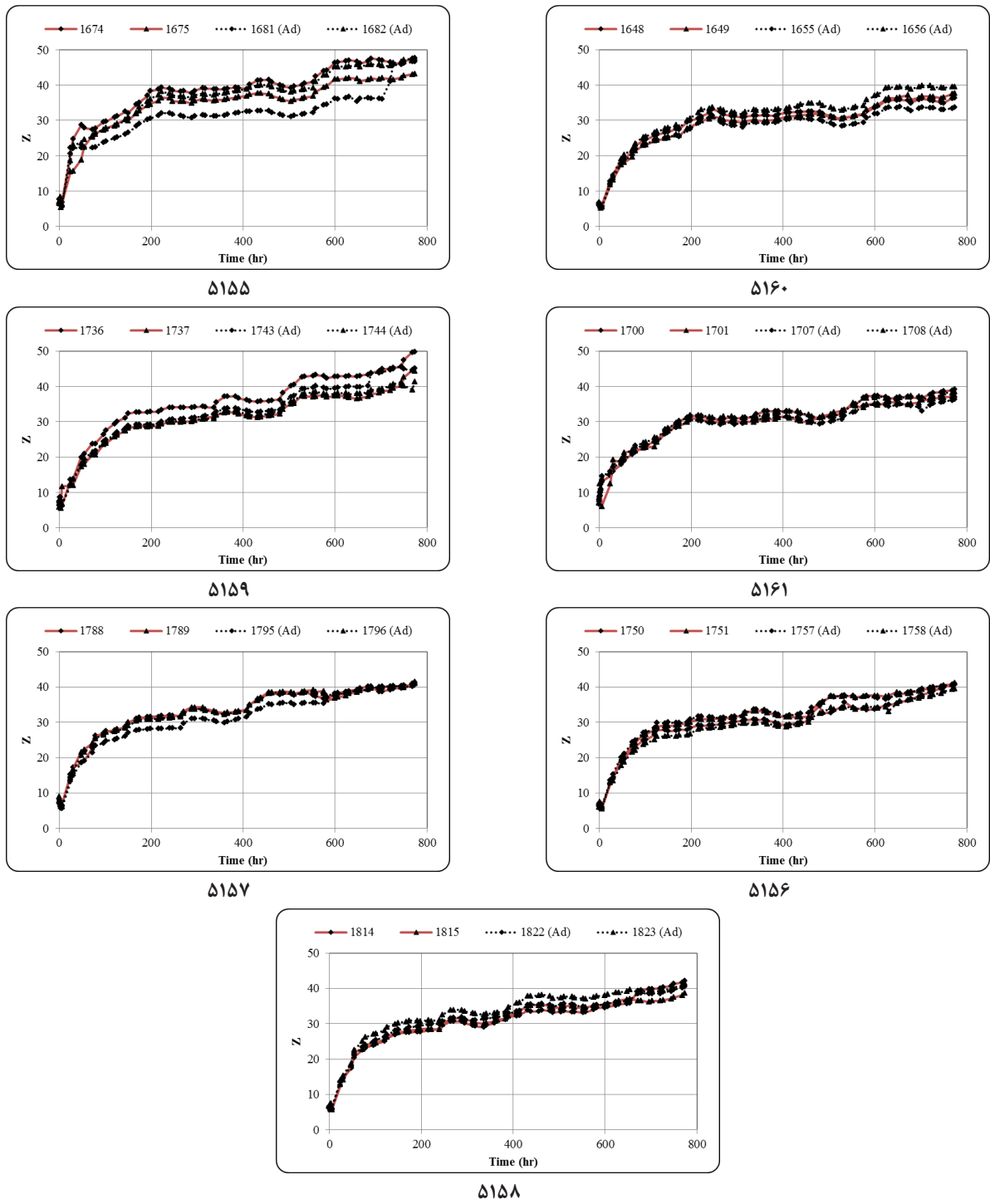
۵۱۶۲



۵۱۵۳

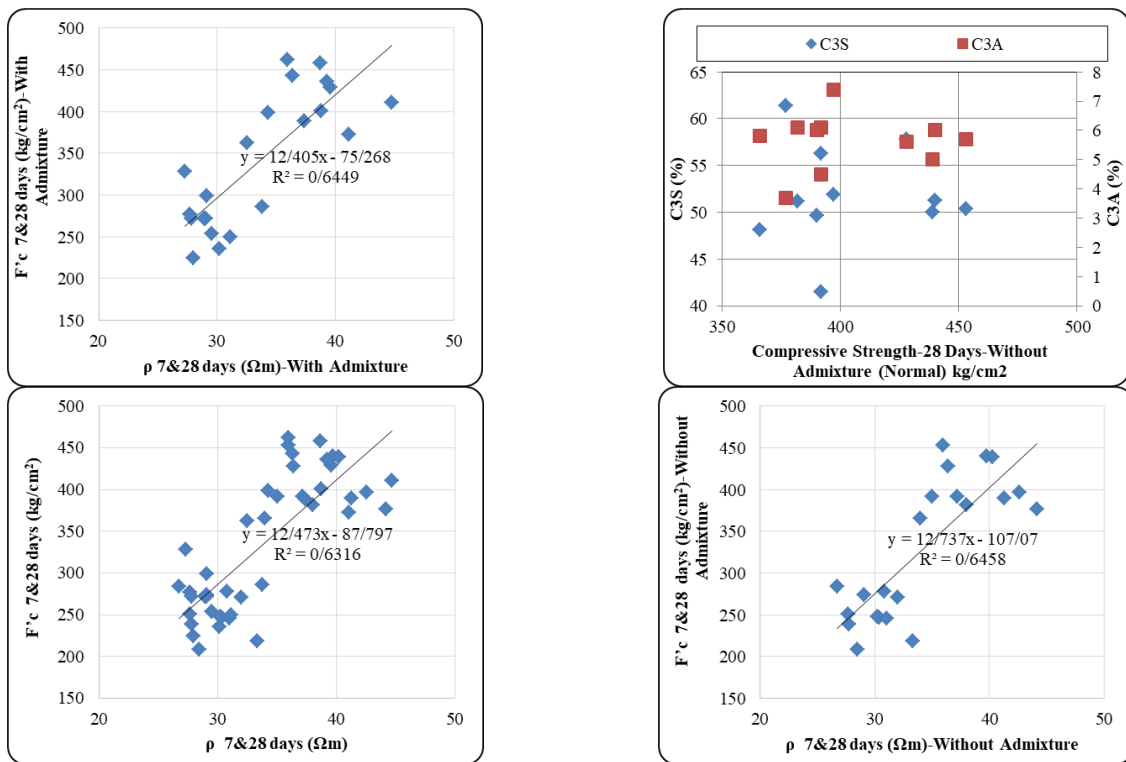


۵۱۶۳



شکل ۵: منحنی های مقاومت الکتریکی طی مرور زمان برای ۲۲ مخلوط بتونی (۴۴ آزمونه)

جهت بررسی ارتباط مقاومت فشاری، الکتریکی و فازهای سیمان نمودارهای شکل ۶ ترسیم شد.



شکل ۶ نمودارهای ارتباط مقاومت فشاری با فازهای سیمان و مقاومت الکتریکی و مقاومت فشاری (۷ و ۲۸ روزه) در مخلوطهای بتن آزمایشگاهی

می‌شود. در برخی پروژه‌ها، شرط اجرای مرحله بعدی، کسب حداقل مقاومت بتنی است. بطور مثال برای قالب‌برداری در یک پروژه، دستیابی به مقاومت حداقل ۱۰ مگاپاسکال و برای اعمال تنفس کششی بر روی کابل‌های پیش تینیده که با گروت محصور شده‌اند، حداقل مقاومت ۴۰ مگاپاسکال در نظر گرفته شده است. جهت این پایش‌ها نیاز است که آزمونهای تهیه شوند و در فواصل زمانی مختلف تعیین مقاومت گردند. اما با روش مقاومت الکتریکی و رابطه فوق براحتی می‌توان از کسب مقاومت مدنظر، اطمینان حاصل نمود.

با توجه به اینکه در این مطالعه خاص، روش پایش مقاومت الکتریکی با اغلب مطالعات کمی تفاوت داشت و فقط مشابه تحقیقات اوبرا و همکاران (۲۰۱۸) بود، لذا امکان مقایسه دقیق وجود ندارد. البته روند تغییرات مقاومت الکتریکی

از نتایج و نمودارهای اشکال ۵ و ۶ می‌توان نتیجه گرفت که:

- ✓ تقریباً در همه آزمونهای مقاومت الکتریکی تا ۳ ساعت کاهش دارد که بیانگر زمان گیرش بتن است؛
- ✓ بین W/C و ρ رابطه‌ای وجود ندارد؛
- ✓ رابطه واضحی بین C3S و C3A با مقاومت فشاری بتن وجود ندارد؛
- ✓ رابطه مقاومت الکتریکی با مقاومت فشاری بتن به صورت زیر است (با همبستگی: $R^2 = 0.63$):

$$F'c (\text{kg}/\text{cm}^2) = 12.5 \rho (\Omega\text{m}) - 88 \quad (1)$$

باید توجه نمود که هدف از این ارزیابی و ارائه رابطه، حصول اطمینان از دستیابی به مقاومت فشاری به کمک روش مقاومت الکتریکی است و تخمین مقاومت فشاری در سنین مختلف نمی‌باشد. جهت تبیین بهتر مثالی ارائه

۲- می‌توان گفت که سه قله در همه آزمونهای مقاومت الکتریکی مشاهده می‌شود: ۲۰۰ ساعت (۸ روز) با مقاومت الکتریکی حدود $\Omega_m \approx 30$; حدود ۴۰۰ ساعت (۱۶ روز) با مقاومت الکتریکی حدود $\Omega_m \approx 36$; حدود ۵۶۰ ساعت (۲۳ روز) با مقاومت الکتریکی حدود $\Omega_m \approx 39$; ۳ بین W/C و r رابطه‌ای دیده نشد؛ ۴- رابطه واضحی بین C_3S و C_3A با مقاومت فشاری بتن وجود ندارد؛ ۵- بر اساس نتایج این مطالعه، رابطه مقاومت الکتریکی و مقاومت فشاری به صورت زیر است:

$$F'c (\text{kg/cm}^2) = 12.5 r (\Omega_m) - 88$$

قدرتانی

از مدیران، کارشناسان و تکنسین‌های محترم شرکت سیمان تهران بابت همکاری‌های صورت گرفته بسیار سپاسگزاریم. از شرکت‌های البرز شیمی و نوین رضی آباد بابت تامین مواد اولیه این پروژه متشرکریم.

طی زمان در این مطالعه مشابه مطالعات نیلی و تدین (۱۳۹۰) و لی و همکاران (۲۰۰۷) بود. این محققان به کمک آزمایش مقاومت الکتریکی، روند گیرش بتن را پایش نمودند و در این تحقیق روند سخت شدن و کسب مقاومت فشاری به کمک آزمایش مقاومت الکتریکی ارزیابی گردید. در این مطالعه مشابه تحقیقات سنگول و جرو (۲۰۰۷) و هیز و همکاران (۲۰۱۵) نتیجه‌گیری می‌شود که روش اندازه‌گیری مقاومت الکتریکی، پایشی مناسب و قابل اطمینان برای کنترل کیفیت بر اساس عملکرد و در نتیجه دوام بتن است.

جمع‌بندی و نتیجه‌گیری

در این مطالعه، روابط معناداری مابین نتایج آزمایش‌های مقاومت الکتریکی و برخی پارامترهای بتن مشاهده گردید که بر روی برخی مطالعات مشابه صحه‌گذاری شد. بر اساس نتایج این پژوهش:

- ۱- تقریباً در همه آزمونهای مقاومت الکتریکی تا ۳ ساعت کاهش یافته است که زمان گیرش را نمایش می‌دهد؛

مراجع

- [1] Stackelberg D, Wilge B, Boiko S, Martauz P, Strigac J (2011) "Monitoring the strength properties of cement clinker on the basis of measurements of electrical resistivity. XIII". International Congress on the Chemistry of Cement. Madrid 7: 8.
- [2] Goldman FA, Shtakelberg DI, Gadaev NR, Steinbuk G (2015) "Monitoring of hardening of aerated concrete as measured by electrical resistance." Jour/Concrete Technology 3-4: 32-35.
- [3] Schimizu Y (1928) "The science reports of the Tohoku Imperial University", 1st Series, Shendai, Japan 17(1): 423-429.
- [4] Brameshuber W, Raupach M, Schröder P, Dauberschmidt C (2003) "Non-destructive determination of the water-content in the concrete cover using the multiring-electrode. Part. I: Aspects of concrete technology". International Symposium NDT-CE, Stuttgart 2: 41.
- [5] Mancio M, Moore JR, Brooks Z, Monteiro PJM, Glaser SD (2010) "Instantaneous in-situ determination of water-cement ratio of fresh concrete." ACI Materials Journal 107(6): 586-592.
- [6] Wei X, Li Z (2006) "Early hydration process of Portland cement paste by electrical measurement." Journal of Materials in Civil Engineering 18(1): 99-105.
- [7] Li Z, Wei X, Li W (2003) "Preliminary interpretation of Portland cement hydration process using resistivity measurement." ACI Materials Journal 100(3): 253-257.

- [8] Obla K, Hong R, Sherman S, Bentz DP, Jones SZ (2018) "Relating the electrical resistance of fresh concrete to mixture proportions". *NIST, Advance Civil Engineer Materials* 7(1): 71-86.
- [9] Xiao L, Li Z (2008) "Early-age hydration of fresh concrete monitored by non-contact electrical resistivity measurement." *Cement and Concrete Research* 38: 312-319.
- [10]Li Z, Xiao L, Wei X (2007) "Determination of concrete setting time using electrical resistivity measurement. *Journal of Materials in Civil Engineering* 19(5): 423-427.
- [11]Andrade C, Rebolledo N (2011) "Setting and hydration evolution by resistivity and ultrasonic velocity." *13 Interns. Congress on the Chemistry of Cement, Abstracts and Proceedings, Madrid* 7:8.
- [12]Bentz DP (2014) "Activation energies of high-volume fly ash ternary blends: hydration and setting". *Cement and Concrete Composites* 53: 214-223.
- [13]Bentz DP, Snyder KA, Ahmed A (2015) "Anticipating the setting time of high-volume fly ash concretes using electrical measurements: feasibility studies using pastes." *J Mater Civ Eng* 27(3): 1-6.
- [14]McCarter WJ, Curran PN (1984) "The electrical response characteristics of setting cement paste." *Magazine of Concrete Research* 36(126): 42.
- [15]Hope BB, Ip AK, Manning, DG (1985) "Corrosion and electrical impedance in concrete." *Cement and Concrete Research* 15(3): 525-534.
- [16]Xinying Lu (1997) "Application of the Nernst-Einstein equation to concrete." *Cement and concrete research* 27(2): 293-302.
- [17]Sengul O, Gjørv OE (2008) "Electrical resistivity measurements for quality control during concrete construction." *ACI Materials Journal* 105(6): 541-547.
- [18]Monfore GE (1968) "The electrical resistivity of Concrete." *Journal of PCA*, pp. 35-48.
- [19]Lio Y, Presuel Moreno FJ (2014) "Normalization of temperature effect on concrete resistivity by method using arrenius law." *ACI Materials Journal* 3(4): 433-442.
- [20]Trimbak PV, Jolicoeur C, Khayat KH (2002) "Multi-probe conductivity method for monitoring time-depended processes in fresh cementations and other slurry systems." *Canada Patent: CA 2322931*.
- [21]Lubeck A, Gastaldini ALG, Barin DS, Siqueira HC (2012) "Compressive strength and electrical properties of concrete with white Portland cement and blast-furnace slag." *Cement & Concrete Composites* 34(3): 392-399.
- [22]Wei X, Xiao L (2012) "Effect of temperature on the electrical resistivity of Portland cement pastes." *Advances in Cement Research* 24(2): 69-76.
- [23]Backe KR, Lile OB, Lomov SK (2001) "Characterizing curing cements slurries by electrical conductivity." *SPE Drilling & Completion*, pp. 201-207.
- [24]Monfore, G E (1970). "THE ELECTRICAL RESISTIVITY OF CONCRETE". *PCA, Portland Cement Assoc R & D Lab Bull*
- [25]ASTM C1202 (2019). "Standard Test Method for Electrical Indication of Concrete's Ability to Resist Chloride Ion Penetration".
- [26]Michelle R. Nokken & R. Doug Hooton (2006). "Electrical Conductivity Testing". *PCA R&D Serial No. 3002*.
- [27]ASTM C403 (2016). "Standard Test Method for Time of Setting of Concrete Mixtures by Penetration Resistance".
- [28]Li, Z., Xiao, L., and Wei, X. (2007), "Determination of Concrete Setting Time Using Electrical Resistivity Measurement", *Journal of Materials in Civil Engineering*, Vol. 19, pp. 423-427.
- [29]Andrade C, Rebolledo N (2011) "Setting and hydration evolution by resistivity and ultrasonic velocity." *13 Interns. Congress on the Chemistry of Cement, Abstracts and Proceedings, Madrid* 7:8.

- [30] Ozkan Sengul & O.E. Gjørv (2007). "Electrical Resistivity Measurements for Quality Control during Concrete Construction". November 2008 ACI Materials Journal 105(6):541-547.
- [31] Robert Spragg & Chiara Villani & Ken Snyder & Dale Bentz & Jeffrey W. Bullard & Jason Weiss. (2012). "Electrical Resistivity Measurements in Cementitious Systems: Observations of Factors that Influence the Measurements". TRB 2013 Annual Meeting.
- [32] Hamed Layssi & Pouria Ghods & Aali R. Alizadeh, & Mustafa Salehi (2015). "Electrical Resistivity of Concrete". Concrete international, MAY 2015, 37(5), page 41-46.
- [33] B. P. Hughes & A. K. O. Soleit & R. W. Brierley (2015). "New technique for determining the electrical resistivity of concrete". Magazine of Concrete Research, Volume 37, Issue 133, December 1985, pp. 243-248
- [34] Ozyildirim, C., "Effects of Temperature on the Development of Low Permeability in Concretes," VTRC R98-14, Virginia Transportation Research Council, Charlottesville, VA 1998.
- [35] Qiao, C., Moradlo, M.K., Hall, H., Ley, M.T., and Weiss, J.W., (2019), "Electrical Resistivity and Formation Factor of Air-Entrained Concrete". ACI Materials Journal, V. 116, No. 3, May, pp. 85-93.
- [36] Pejman Azarsa & Rishi Gupta. (2017). "Electrical Resistivity of Concrete for Durability Evaluation: A Review". Advances in Materials Science and Engineering, May 2017
- [37] Spragg, R., Villani, C., Snyder, K., Bentz, D. P., Bullard, J. W., and Weiss, J., "Factors that Influence Electrical Resistivity Measurements in Cementitious Systems," Transp. Res. Rec. J. Transp. Res. Board, Vol. 2342, 2013, pp. 90-98.
- [38] Spragg, R., Villani, C., and Weiss, J., "Electrical Properties of Cementitious Systems: Formation Factor Determination and the Influence of Conditioning Procedures," Advances in Civil Engineering Materials, Vol. 5, No. 1, 2016, pp. 124–148.
- [39] Hiroshi Minagawa, Shintaro Miyamoto, Makoto Hisada. (2017). "Relationship of Apparent Electrical Resistivity Measured by Four-Probe Method with Water Content Distribution in Concrete". Journal of Advanced Concrete Technology, Volume 15 (2017), Issue 6.
- [40] Obla, K. H.; Hong, R., Sherman, S., Bentz, D.P., and Jones, S.Z., 2018, "Relating the Electrical Resistance of Fresh Concrete to Mixture Proportions," Advances in Civil Engineering Materials, Vol. 7, No. 1, 2018, pp. 71–86.
- [41] McCarter WJ, Chrisp TM, Staars G, Basheer M, Blewett J (2005) "Field monitoring of electrical conductivity of cover-zone concrete." Cement and Concrete Composites 27(7-8): 809-817.
- [42] Stackelberg DI & Vilge BI & Boiko SV (2018). "Technological Monitoring for Hardening and Strengthening of Cement-concrete Compositions". Advancements in Civil Engineering & Technology, Volume2 Issue5.
- [43] Karthik Obla & Colin L. Lobo & Rongjin Hong & Stuart Sherman. (August 2020). "Improving the Reliability of Resistivity Tests of Concrete". National Ready Mixed Concrete Association.
- [44] Gloria Cosoli & Alessandra Mobili & Francesca Tittarelli & Gian Marco Revel & Paolo Chiariotti. (2020). "Electrical Resistivity and Electrical Impedance Measurement in Mortar and Concrete Elements: A Systematic Review". Appl. Sci. 2020, 10, 9152.

حقیقی

انجمن بتن ایران

معرفی تعدادی از اعضای

در این بخش اسامی تعدادی از اعضای جدید حقیقی
که به عضویت انجمن بتن رسیده‌اند، درج می‌گردد.



مهدی علیائی
شماره عضویت: ۸۲۶۴



علی صابری وزنه
شماره عضویت: ۸۲۶۳



رسول شادنیا
شماره عضویت: ۸۲۶۲



مرتضی نخچی پور خلیل آباد
شماره عضویت: ۸۲۵۱



محمود خالقی
شماره عضویت: ۸۲۶۸



ناصر فراهانی
شماره عضویت: ۸۲۶۷



مهدی رازه نگروودی
شماره عضویت: ۸۲۶۶



علی بارزگانی
شماره عضویت: ۸۲۶۵



علیرضا عاملی
شماره عضویت: ۸۲۷۲



عبدالله علیمردانی
شماره عضویت: ۸۲۷۱



ابوالفضل نخچی
شماره عضویت: ۸۲۷۰



مهدی درزی
شماره عضویت: ۸۲۶۹



پیمان صفراei
شماره عضویت: ۸۲۸۰



مهران درویشی
شماره عضویت: ۸۲۷۹



امیرحسین مولوی وردنجانی
شماره عضویت: ۸۲۷۸



مجید فاضلی کبریا
شماره عضویت: ۸۲۷۴



عبدالله عبدالزید زرین‌کلائی
شماره عضویت: ۸۲۸۴



شهبیش شمس ناتری
شماره عضویت: ۸۲۸۳



سید کاظم مومنی
شماره عضویت: ۸۲۸۲



رضا سپیدکار
شماره عضویت: ۸۲۸۱



امیرعباس فخر پور
شماره عضویت: ۸۲۸۸



محمد احسان کوه برفورد
شماره عضویت: ۸۲۸۷



علی اصغر مختارزاده
شماره عضویت: ۸۲۸۶



فاطمه تیرگرفاخی
شماره عضویت: ۸۲۸۵



سعید شاهواروچی
شماره عضویت: ۸۲۹۲



سیبا نایج
شماره عضویت: ۸۲۹۱



محمد ابراهیم چرماسازی
شماره عضویت: ۸۲۹۰



سارا نادی
شماره عضویت: ۸۲۸۹



حسین فریدی
شماره عضویت: ۸۲۹۶



محمدعلی محمدی بادیه
شماره عضویت: ۸۲۹۵



امین زمانیان
شماره عضویت: ۸۲۹۴



ساویز سربازی
شماره عضویت: ۸۲۹۳



کیا چهری بهفرزنا
شماره عضویت: ۸۲۹۹



حامد حضرتی
شماره عضویت: ۸۲۹۷